

# La physique des particules

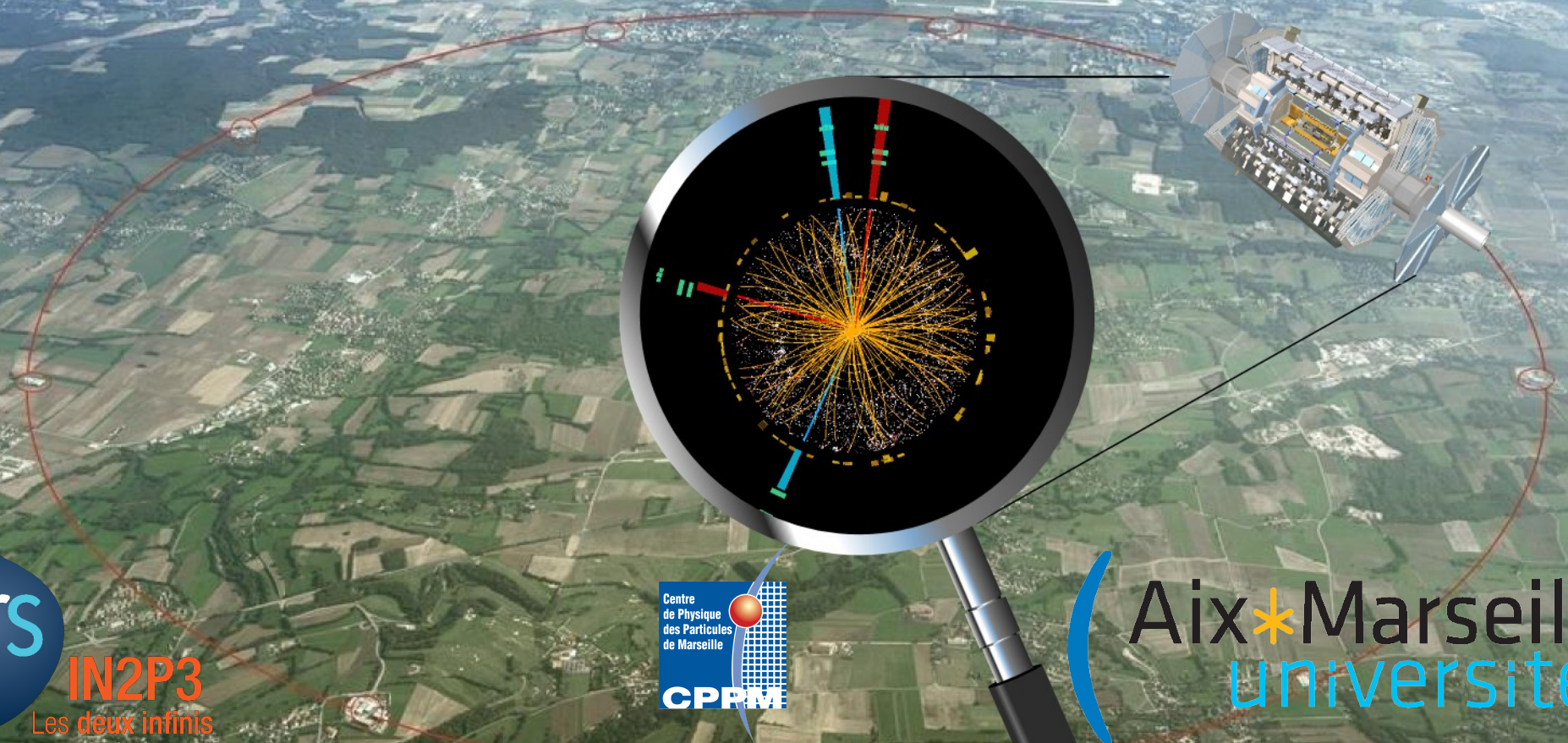
Yann Coadou

Centre de physique des particules de Marseille

Merci à Julien Cogan

Formation « Déceler les particules de l'Univers »

3 mai 2013

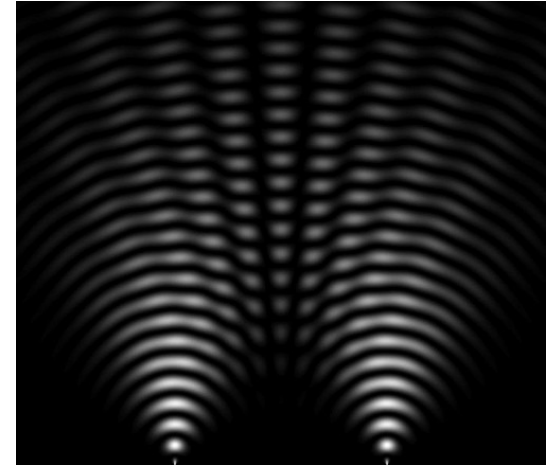


# De l'infiniment grand vers l'infiniment petit



# État des lieux à la fin du XIX<sup>ème</sup> siècle

- Mécanique newtonienne [Newton (1643-1727)]
  - ▶ principe d'inertie
  - ▶ loi de la dynamique
  - ▶ gravitation universelle
- Mécanique analytique [Lagrange (1736-1813)]
  - ▶ principe de moindre action
- Optique ondulatoire [Fresnel (1788-1827) – Young (1773-1829)]
  - ▶ nature ondulatoire de la lumière
- Électromagnétisme [Maxwell (1831-1879)]
  - ▶ unification électricité - magnétisme
- Existence des atomes : pas prouvée – en débat
- Lumière : onde électromagnétique se propageant dans un *éther*



# Révolutions conceptuelles

- D'après Lord Kelvin en 1900 (British Association for the advancement of Science) :
  - «There is nothing new to be discovered in physics now. All that remains is more and more precise measurement.»
- Pourtant, deux théories fondamentales voient le jour au début du XX<sup>ème</sup> siècle
  - ▶ La relativité restreinte
  - ▶ La mécanique quantique

# Relativité restreinte : espace-temps

- Contraction des longueurs et dilatation du temps

- ▶ L'écoulement du temps dépend du référentiel

- temps propre ( $t_0$ ): temps mesuré dans le référentiel lié à l'objet considéré
- temps mesuré par un observateur (fixe) pour qui l'objet se déplace à une vitesse  $v$  :

$$t = \gamma t_0 \text{ où } \gamma = 1/(1-v^2/c^2) > 1 \text{ (d'autant plus grand que } v \text{ est grand)}$$

- ▶ Exemple : bombe programmée pour exploser après 1 s



|          |                            |                   |                            |
|----------|----------------------------|-------------------|----------------------------|
| 1) $v =$ | 300 km/s (0,1 % $c$ )      | $\rightarrow L =$ | 300 km ( $t = 1s$ )        |
| 2) $v =$ | 29 979 km/s (10 % $c$ )    | $\rightarrow L =$ | 30 130 km ( $t = 1s$ )     |
| 3) $v =$ | 269 813 km/s (90 % $c$ )   | $\rightarrow L =$ | 618 994 km ( $t = 2s$ )    |
| 4) $v =$ | 296 794 km/s (99 % $c$ )   | $\rightarrow L =$ | 2 103 921 km ( $t = 7s$ )  |
| 5) $v =$ | 299 493 km/s (99,9 % $c$ ) | $\rightarrow L =$ | 6 698 534 km ( $t = 22s$ ) |

A prendre en compte quand les vitesses considérées s'approchent de la vitesse limite ( $c$ , la vitesse de la lumière dans le vide)

# Relativité restreinte : masse et énergie

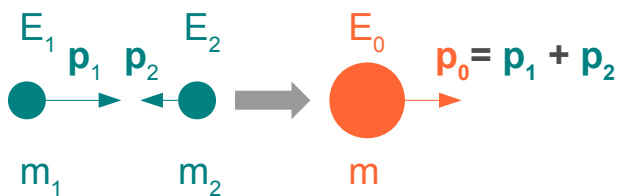
- Équivalence masse-énergie

- ▶ La masse est une forme d'énergie

- Si un corps perd une quantité d'énergie  $E$ , sa masse diminue de  $\Delta m = E/c^2$
    - $E_0 = m c^2$  : énergie au repos (dans le référentiel où le corps est immobile)

- ▶ Énergie totale d'un système :  $E^2 = m^2 c^4 + p^2 c^2$  ( $p$  : quantité de mouvement)

- ▶ Transformation de l'énergie cinétique en masse

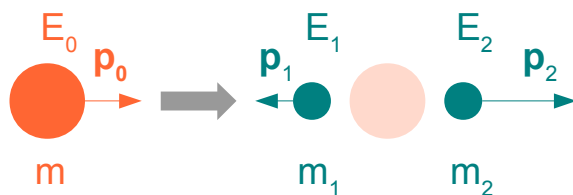


$$E_0 = E_1 + E_2 = \sqrt{(m_1^2 + p_1^2)} + \sqrt{(m_2^2 + p_2^2)} = \sqrt{(m^2 + p_0^2)}$$

exemple : collision de protons avec  $E = 7$  TeV  
 → énergie disponible :  $E_0 = 14$  TeV

Lors de collision, on peut créer des objets plus lourds que ceux initialement présents !

- ▶ Transformation de la masse en énergie cinétique



$$m^2 = E_0^2 - p_0^2 = [\sqrt{(m_1^2 + p_1^2)} + \sqrt{(m_2^2 + p_2^2)}]^2 - [p_1 + p_2]^2$$

exemple : désintégration de particules instables

En identifiant la nature des produits de désintégration, on connaît leur masse.

En mesurant en plus leur impulsion, on peut remonter à la masse et donc à la nature de la particule initiale

# Les unités

- Unités usuelles souvent inadaptées à la physique des particules
- On utilisera :
  - ▶ Energie : eV (*électron-volt*)
    - $1 \text{ eV} = 1.6 \cdot 10^{-19} \text{ J}$
    - énergie acquise par un électron dans un champ électrique de 1V
- Et, en vertu de l'équivalence masse-énergie ( $E^2 = m^2c^4 + p^2c^2$ ) :
  - ▶ Impulsion : eV/c
  - ▶ Masse : eV/c<sup>2</sup>
    - $1 \text{ eV}/c^2 = 1.8 \cdot 10^{-36} \text{ kg}$
    - Souvent, utilisation des unités « naturelles » :
      - $c = 1$
      - énergie, impulsion et masse en eV
- Multiples usuels : keV ( $10^3$ ), MeV( $10^6$ ), GeV( $10^9$ ), TeV ( $10^{12}$ )

# Mécanique quantique : dualité onde-corpuscule

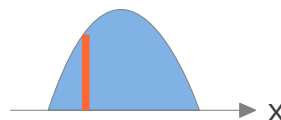
- Aux échelles microscopiques, les objets ont une nature à la fois *corpusculaire* et *ondulatoire*

$$E = h\nu \quad p = h/\lambda$$

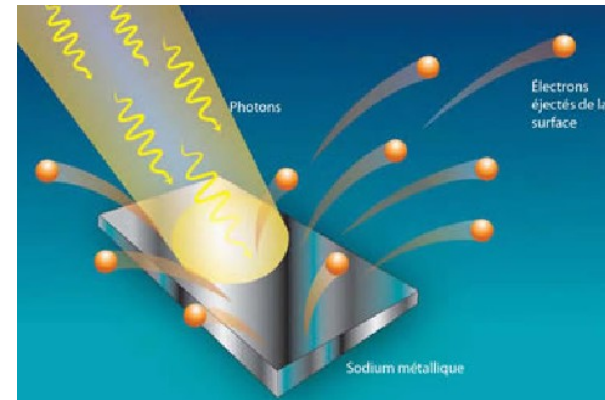
constante de Planck :  $h = 6,63 \cdot 10^{-34}$  J.s

- ▶ pas d'équivalent dans le monde macroscopique → non intuitif !
- Deux descriptions antagonistes !
  - **corpuscule** : objet ponctuel avec une position et une impulsion bien définies
  - **onde** : objet étendu pouvant interférer
  - **objet quantique** : caractéristiques corpusculaires suivent les lois de probabilité dictées par les caractéristiques de l'onde associée.

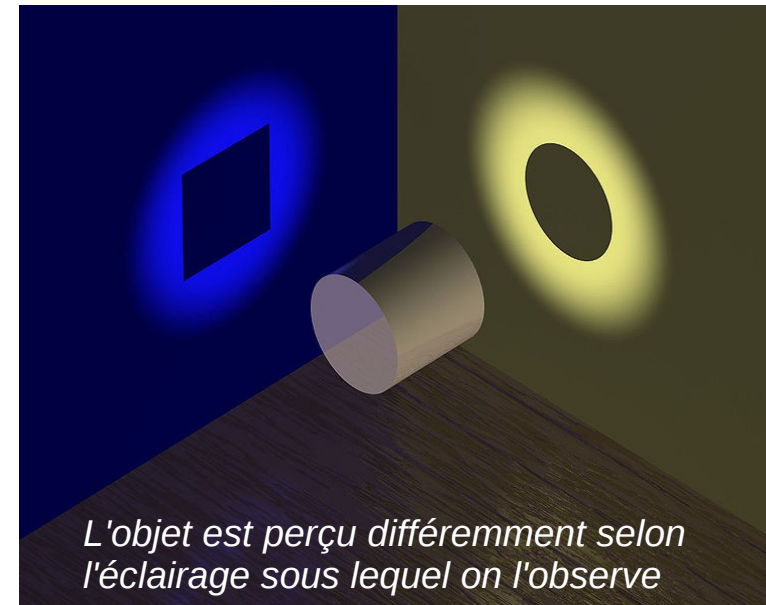
ex : la position d'une particule



Effet photo-électrique, Einstein, 1905



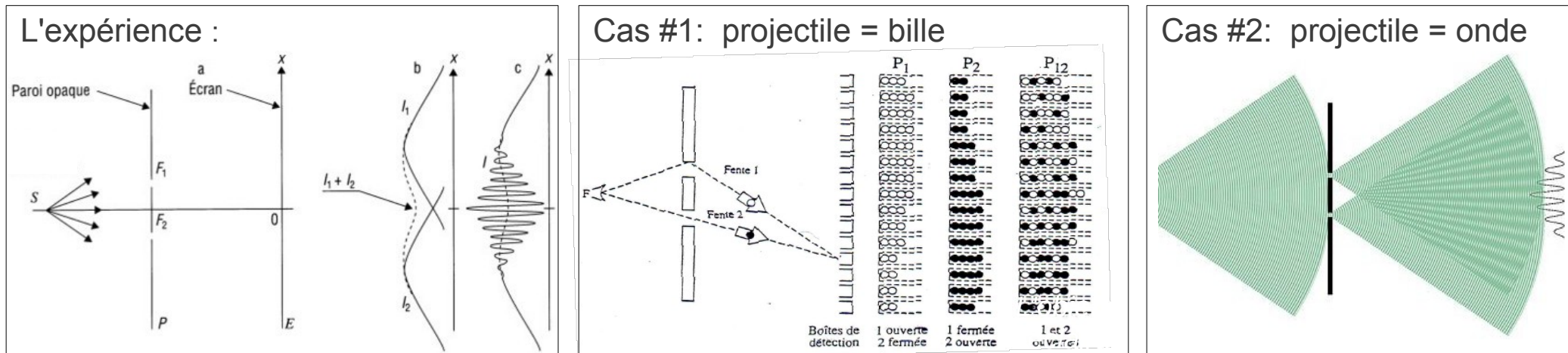
L'énergie de l'onde électromagnétique est portée par le photon



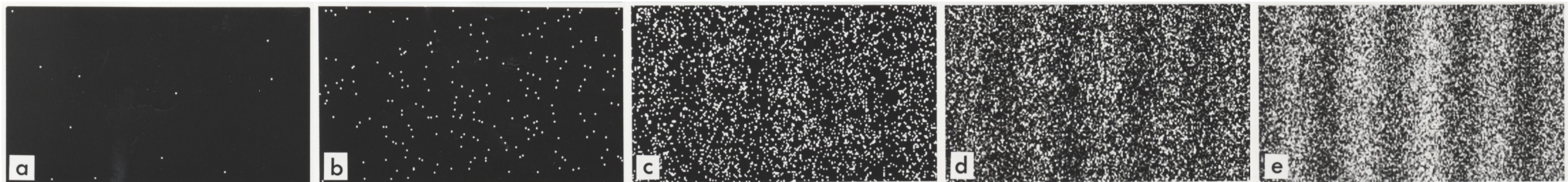


# Mécanique quantique : illustration

## L'expérience des fentes d'Young

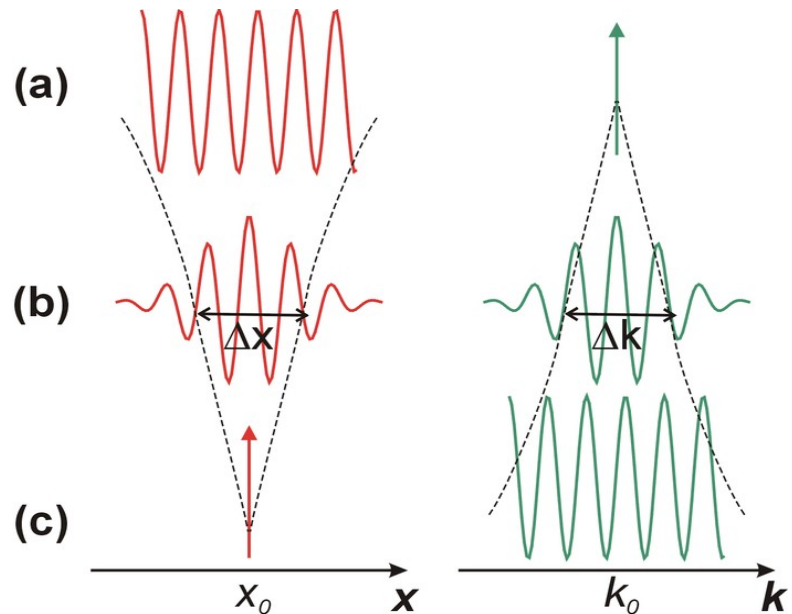


## Cas #3: projectile = objet quantique (électron, photon)



- On peut observer les impacts individuels et les franges d'interférences !
- Remarque : si on détecte par quelle fente la particule passe, l'interférence disparaît

# Mécanique quantique : les relations d'incertitude



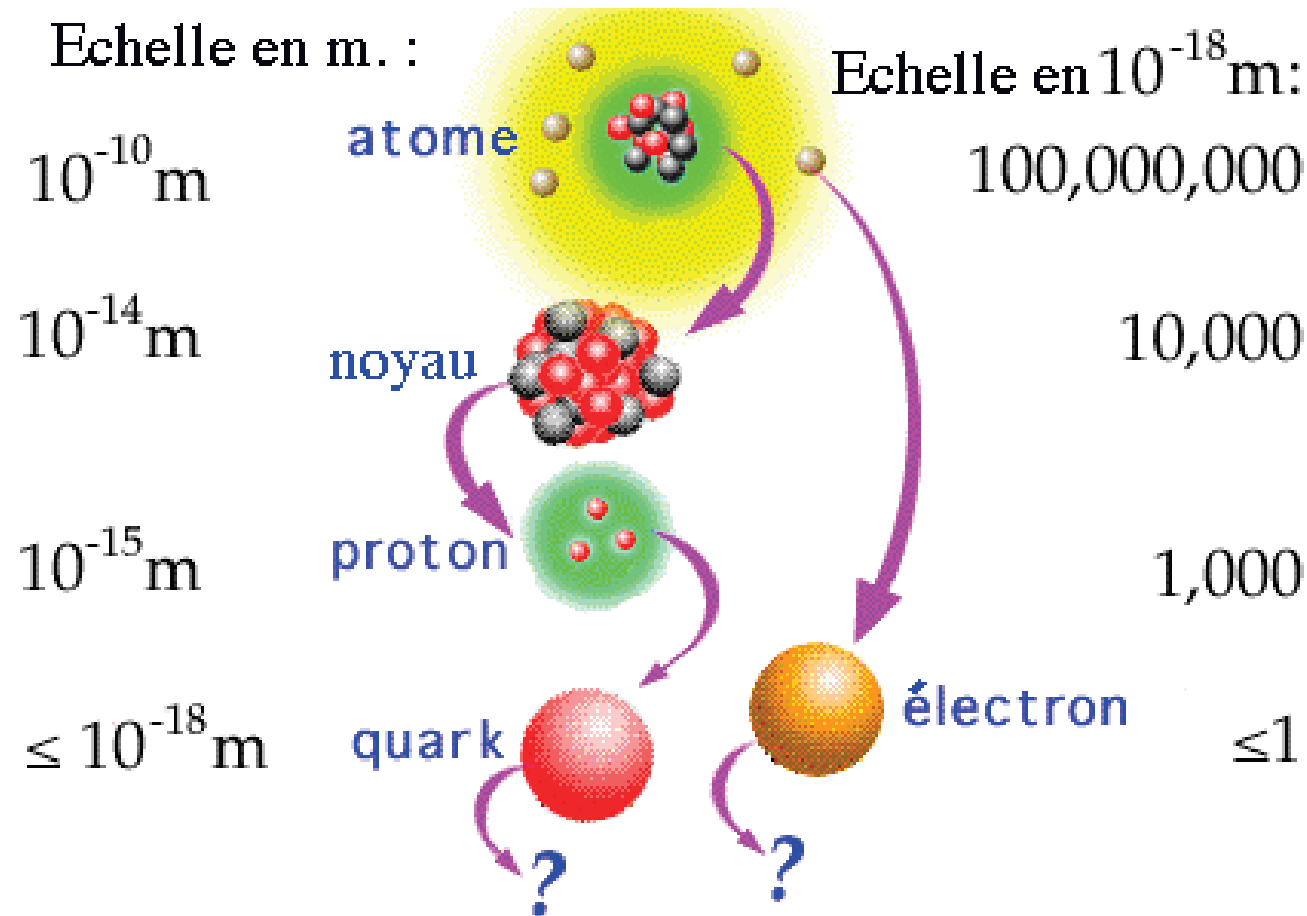
- (a) **onde** :  $A = \cos(k.x)$   
 - extension spatiale infinie  
 - fréquence pure
- (b) **paquet d'onde** :  $A = \sum_k \cos(k.x)$   
 - extension spatiale limitée  
 - distribué en fréquence
- (c) **corpuscule** :  $A = 1$  si  $x=x_0$  sinon 0 ( $\forall k$ )  
 - localisé spatialement  
 - pas de fréquence déterminée

- Relations d'Heisenberg (1927)
  - ▶ si la précision sur la position d'une particule est  $\Delta x$ , son impulsion a une précision  $\Delta p$  telle que :  $\Delta p.\Delta x > \hbar/2$
  - ▶ si la précision sur le temps (de passage) d'une particule est  $\Delta t$ , son énergie a une précision  $\Delta E$  telle que :  $\Delta E.\Delta t > \hbar/2$
- Avantage du flou quantique
  - ▶ une énergie ( $\Delta E$ ) peut être « empruntée » au vide pendant un laps de temps ( $\Delta t$ ) suffisamment court pour que  $\Delta E.\Delta t > \hbar/2$
  - ▶ ... et comme  $E=mc^2$ , des particules (virtuelles) peuvent être créées et « vivre » pendant un temps d'autant plus court que la particule est lourde !

# Mécanique quantique : interprétation

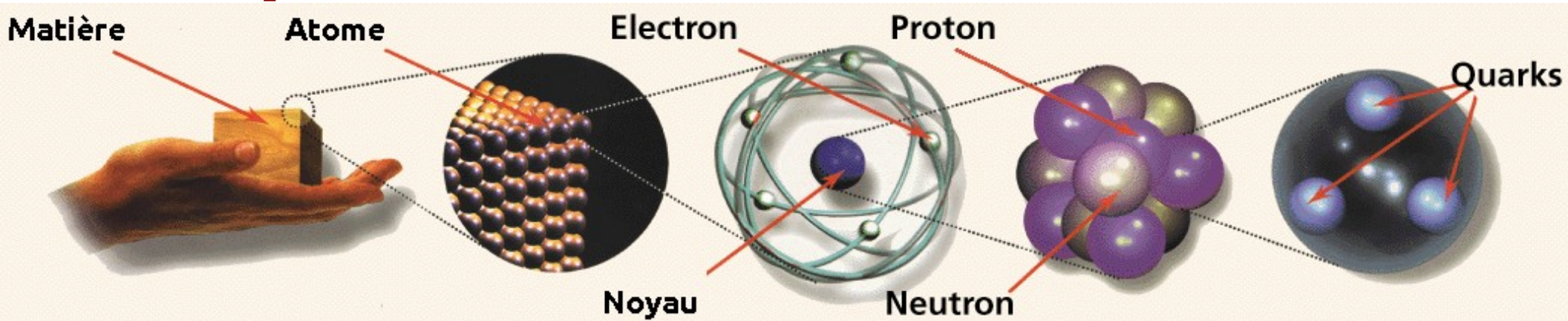
- La mécanique quantique : artifice mathématique ou réalité ?
  - ▶ aspects probabilistes heurtent les partisans du déterminisme
    - « Dieu ne joue pas aux dés avec l'Univers », Einstein (1927)
  - ▶ dualité onde-corpuscule
    - difficile à interpréter
    - a fait longtemps débat
    - fait toujours l'objet d'études actives [S. Haroche, prix Nobel 2012]
- Malgré les réticences et les aspects non-intuitifs, toutes les expériences confirment les prédictions de la mécanique quantique

# Échelle des distances en physique des particules

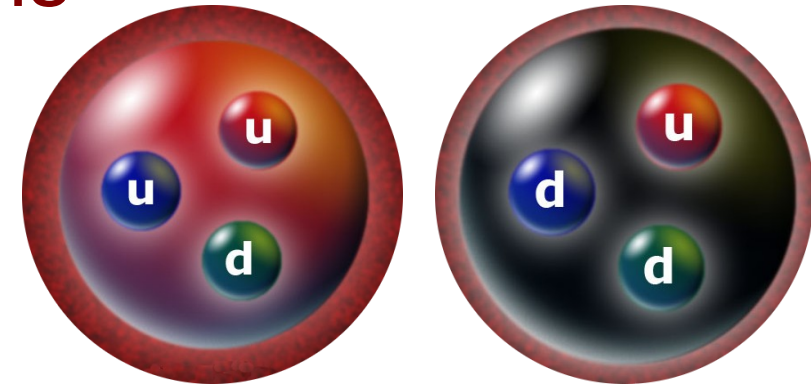


Si protons et neutrons étaient à **10 cm** l'un de l'autre, un quark ou un électron mesurerait **moins de 0,1 mm** et un atome environ **10 km**

# De quoi est fait l'Univers visible ?



- Toute la matière visible, des galaxies aux virus en passant par les êtres humains, est faite de **quarks up** (*u*) et **down** (*d*) et d'**électrons**
- Protons et neutrons sont faits de 3 quarks
- Ils composent les noyaux
- Les électrons gravitent autour des noyaux
- Des **neutrinos** sont émis dans les réactions nucléaires au cœur des étoiles



# Le positron

- Équation du mouvement d'un électron

[1928, Dirac]

- ▶ mécanique quantique
- ▶ cas relativiste
- ▶ Équation de Dirac avec 2 solutions
  - électron
  - positron

- Observation :

[1932, Anderson]

- enregistre dans une chambre de Wilson, une particule avec les même caractéristiques que l'électron mais une charge opposée

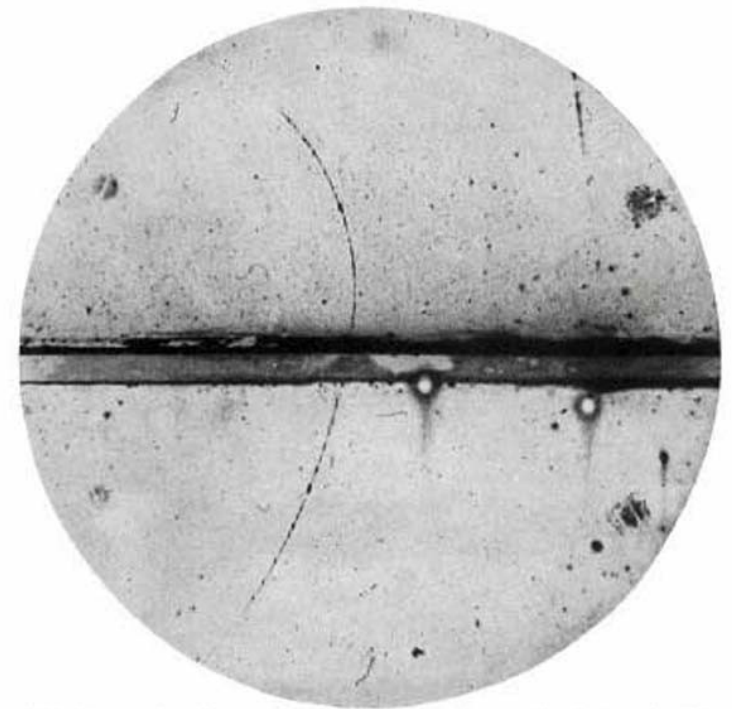
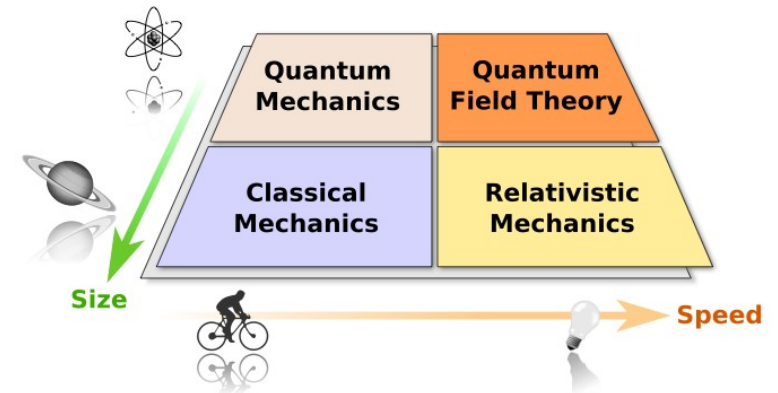
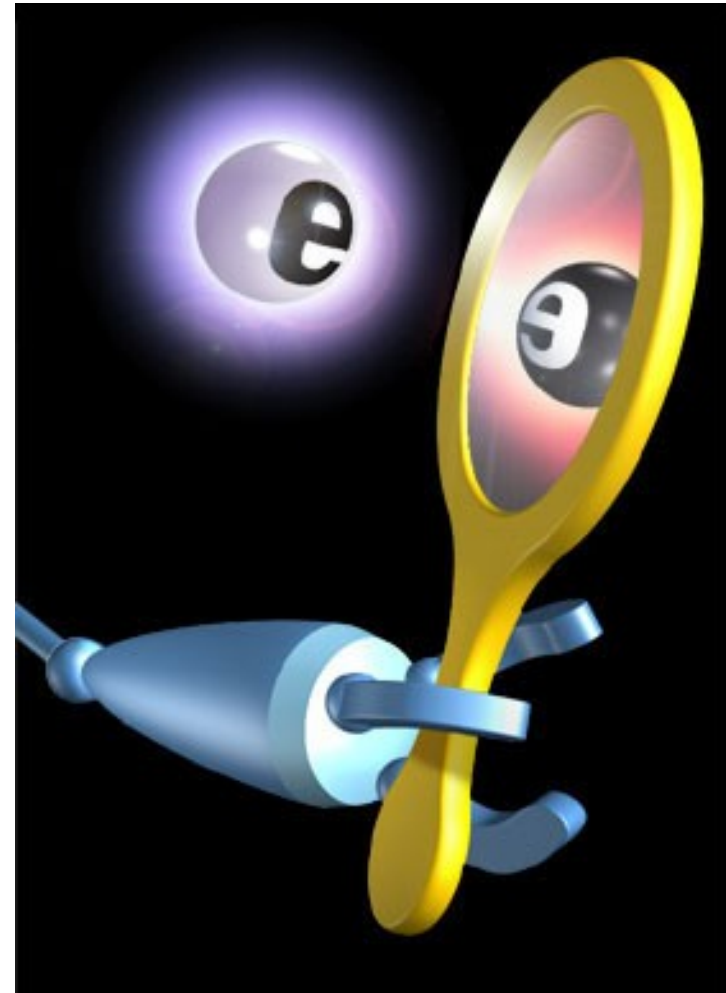


FIG. 1. A 65 million volt positron ( $H_p = 2.1 \times 10^6$  gauss-cm) passing through a 6 mm lead plate and emerging as a 23 million volt positron ( $H_p = 1.5 \times 10^6$  gauss-cm). The length of this latter path is at least ten times greater than the possible length of a proton path of this curvature.

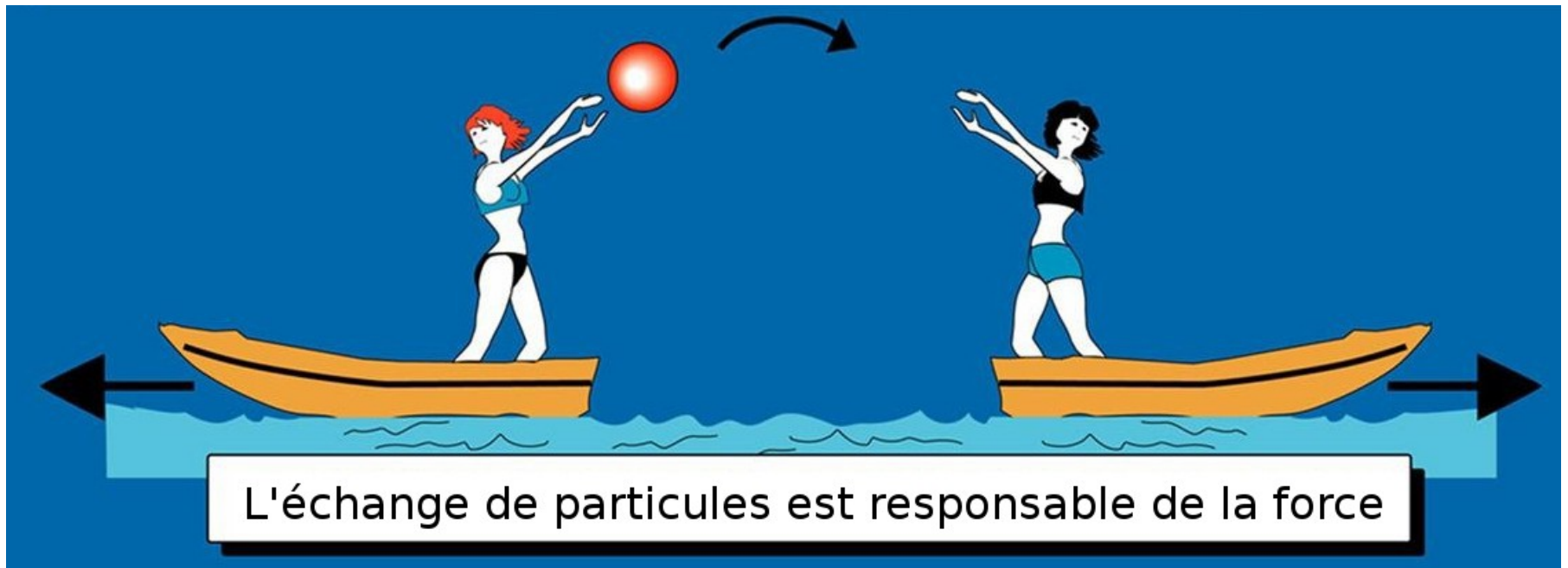
# L'anti-matière

- La découverte de l'anti-électron marque la naissance de l'anti-matière
  - positron = anti-électron
- Généralisation : à chaque particule correspond une anti-particule :
  - de même masse
  - de même *spin* (moment angulaire interne)
  - de charge(s) opposée(s)
- L'anti-matière se comporte comme la matière (vue dans un miroir)
  - mais pas exactement
    - il existe une petite asymétrie
    - sujet d'étude très actif
- Par convention : l'anti-particule de  $x$  est notée :  $\bar{x}$



# Interaction fondamentale

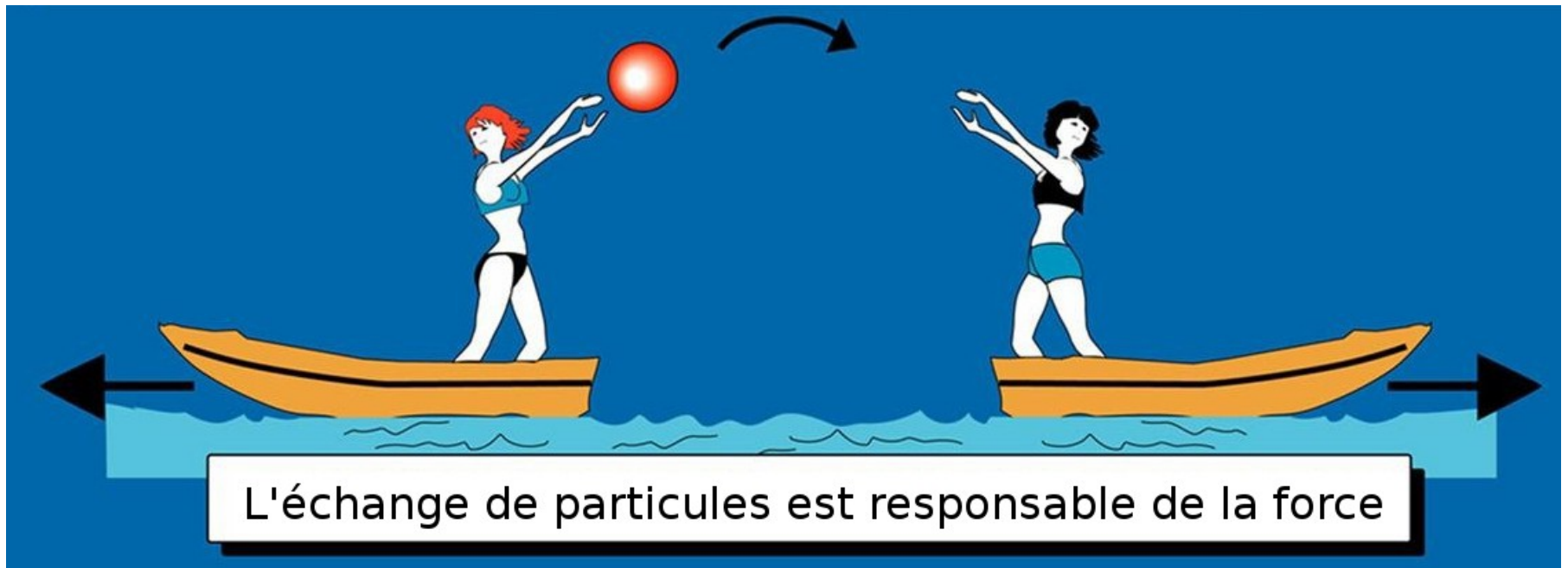
Échange de particules (bosons) entre particules de matière (fermions, comme les quarks ou les électrons)



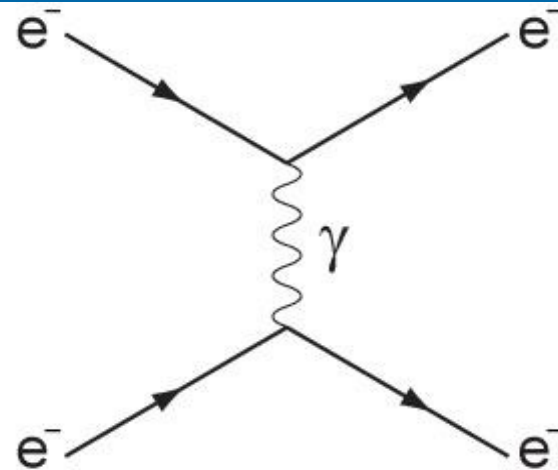


# Interaction fondamentale

Échange de particules (bosons) entre particules de matière (fermions, comme les quarks ou les électrons)



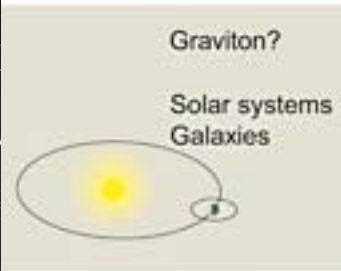
En physique des particules :



# Les forces

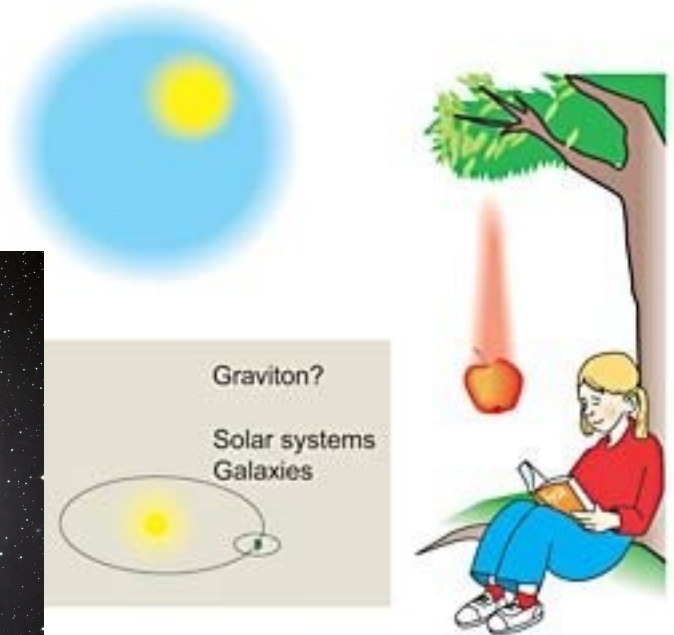


# Les forces

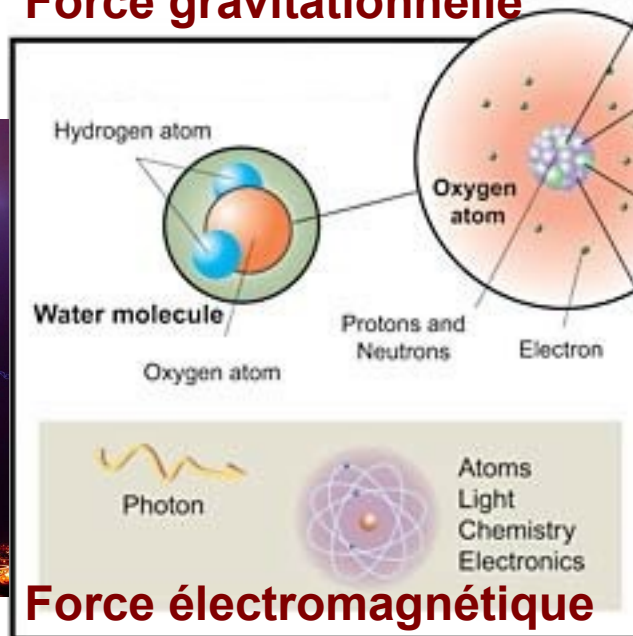


**Force gravitationnelle**

# Les forces



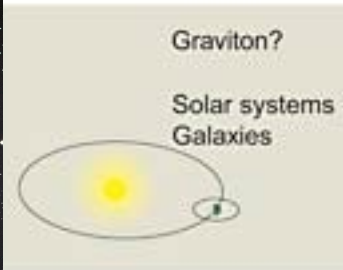
**Force gravitationnelle**



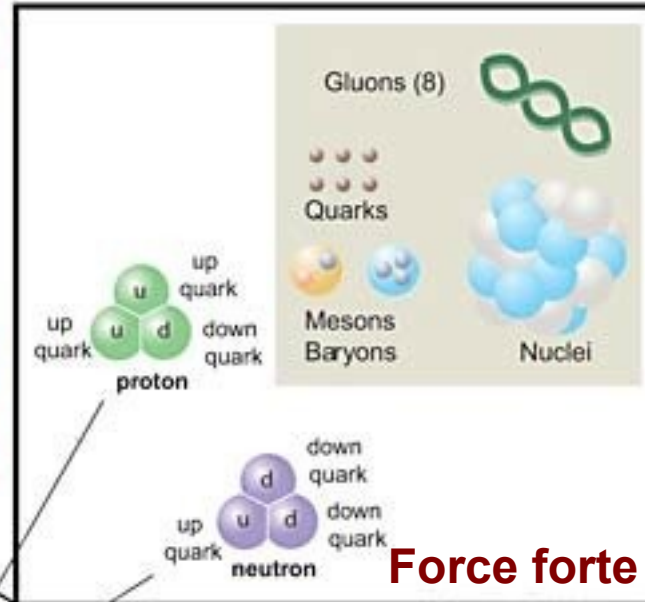
**Force électromagnétique**



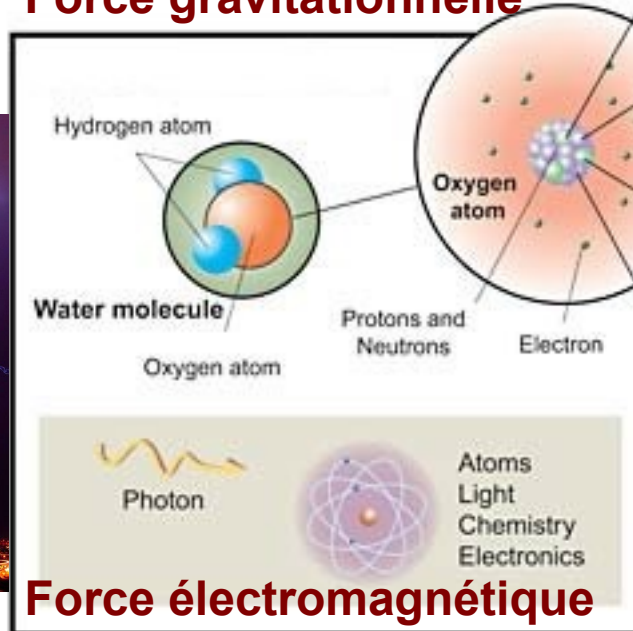
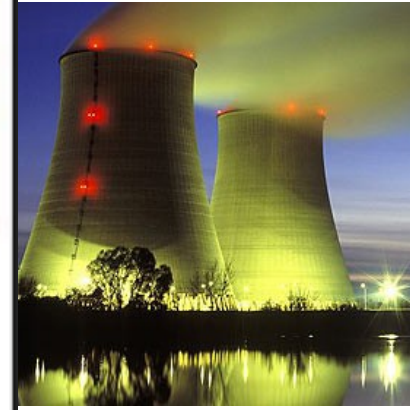
# Les forces



**Force gravitationnelle**

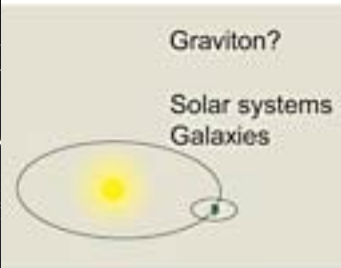
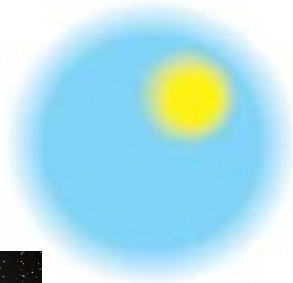


**Force forte**

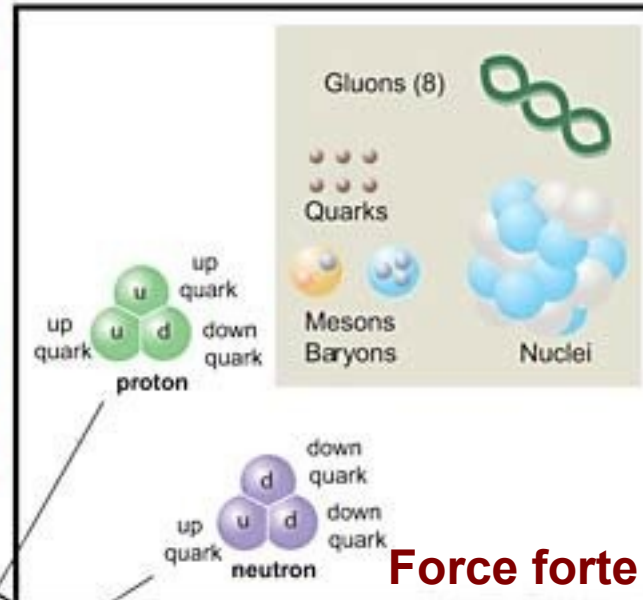


**Force électromagnétique**

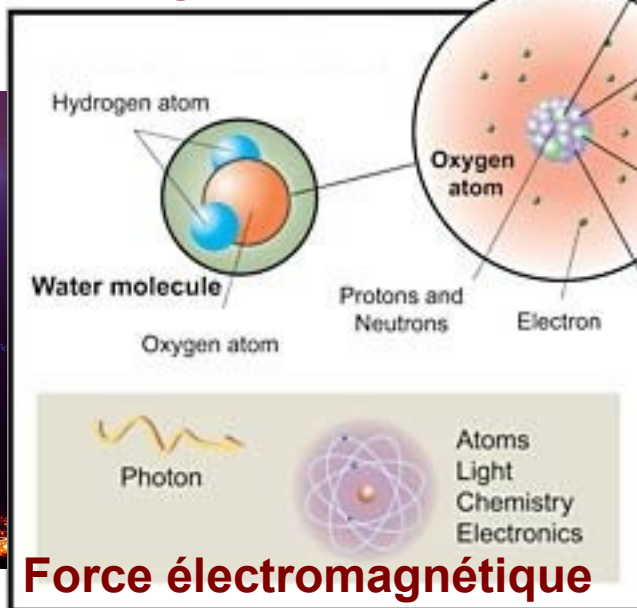
# Les forces



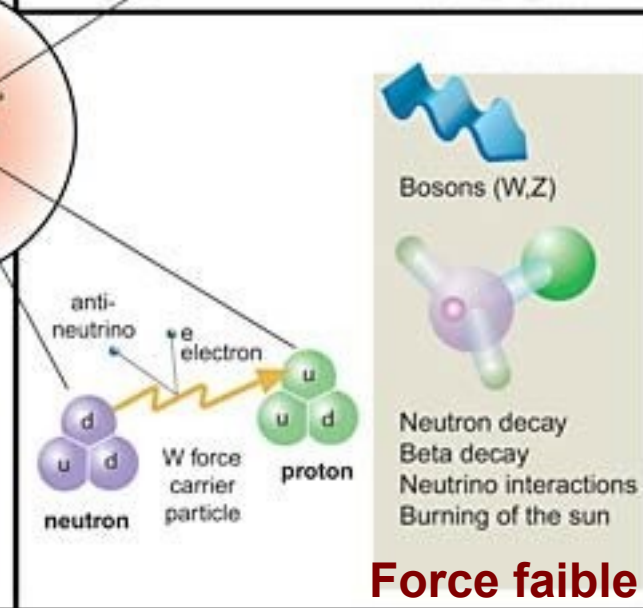
**Force gravitationnelle**



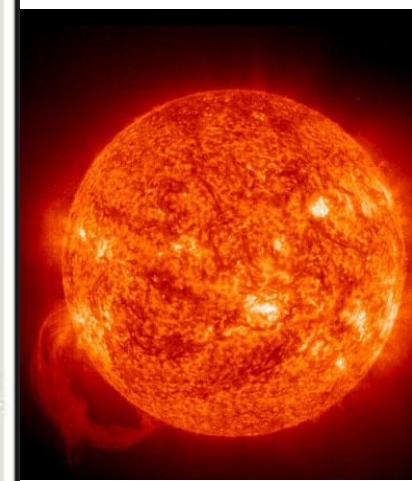
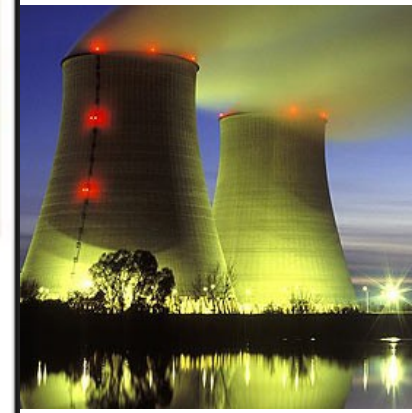
**Force forte**



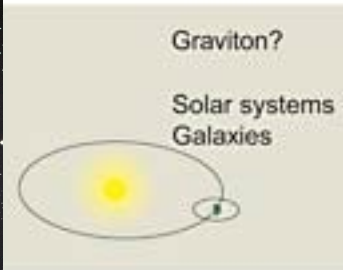
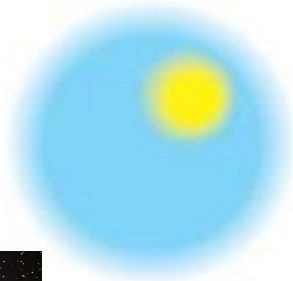
**Force électromagnétique**



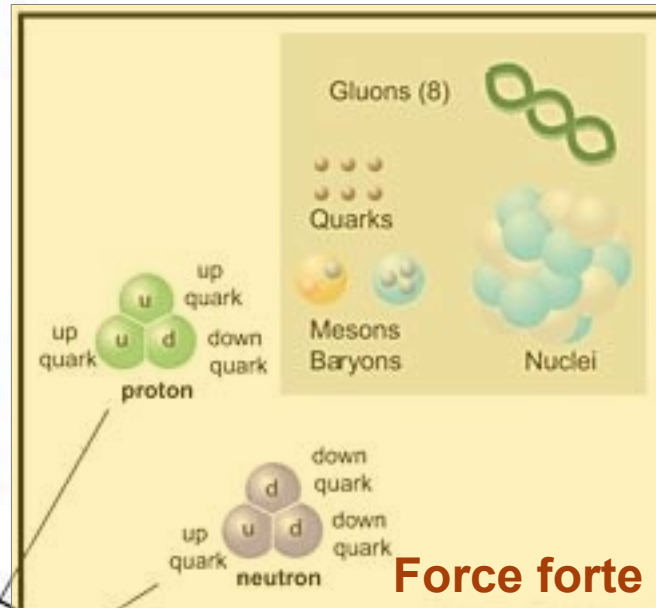
**Force faible**



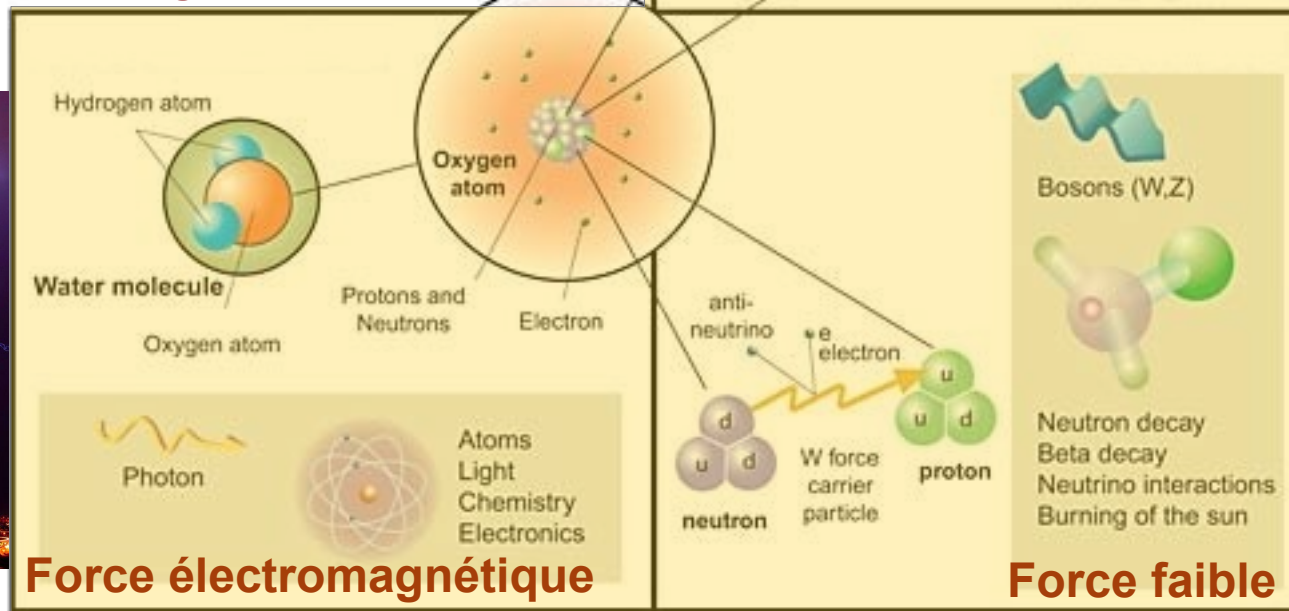
# Les forces



**Force gravitationnelle**

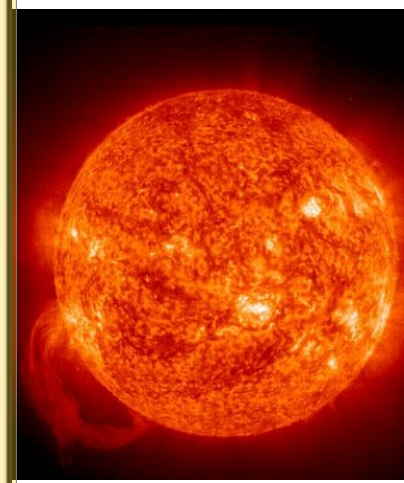


**Force forte**



**Force électromagnétique**

**Force faible**



# Quarks



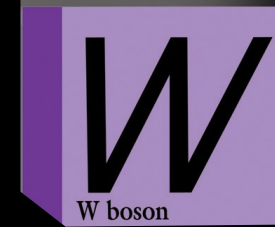
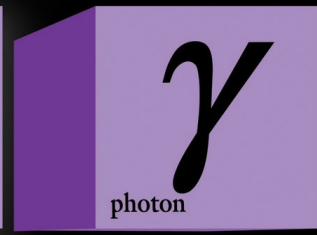
+ anti-matière



# Leptons

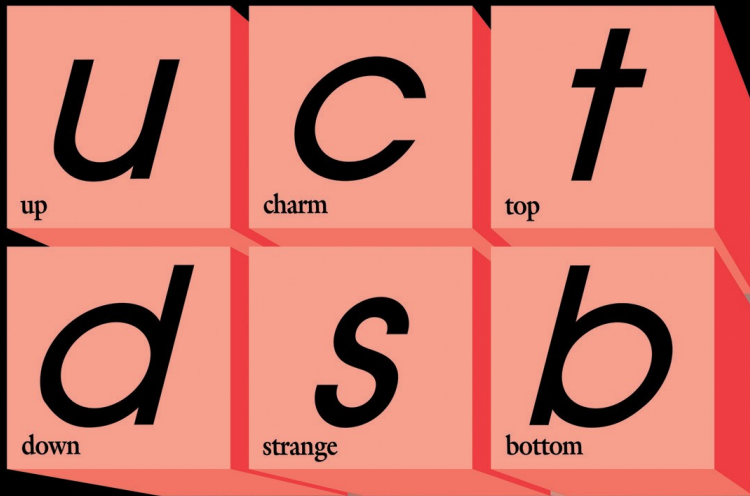
# Le modèle standard

## Forces

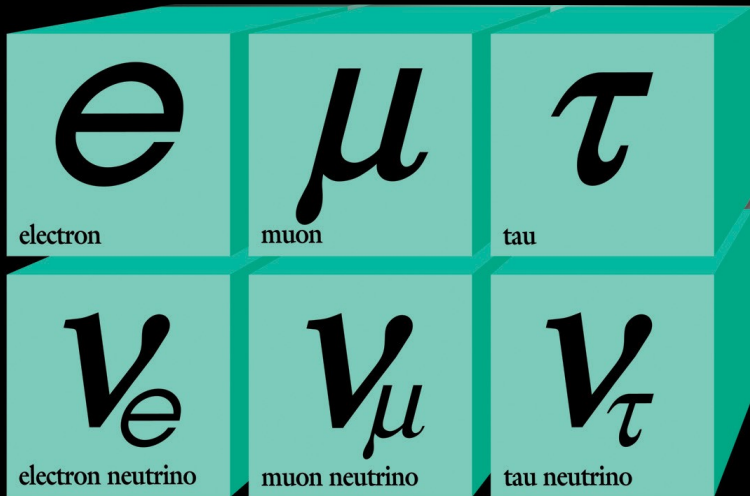




# Quarks



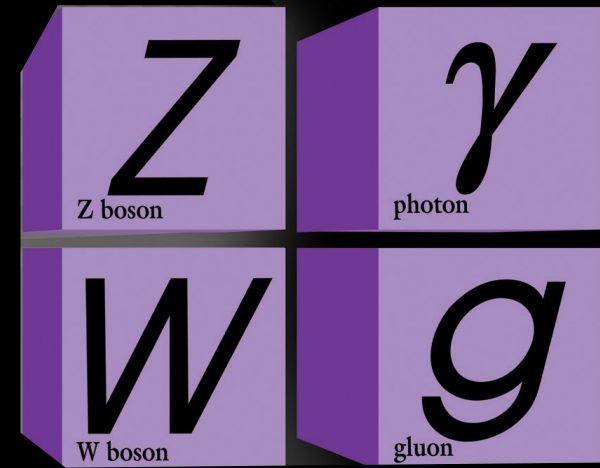
+ anti-matière



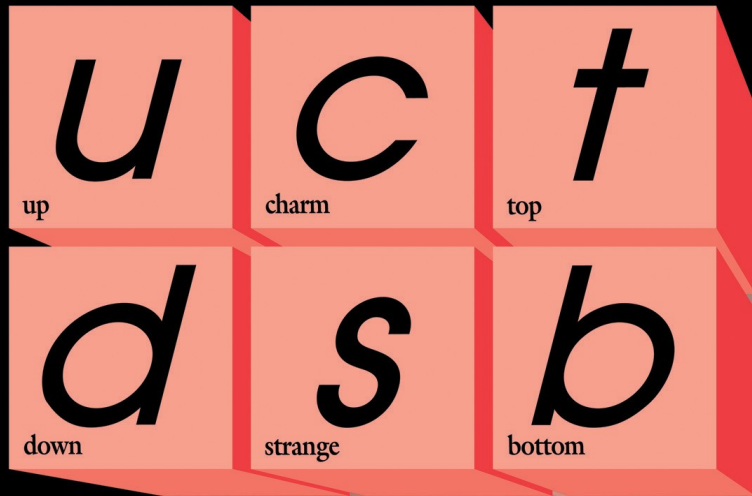
# Leptons

# Le modèle standard

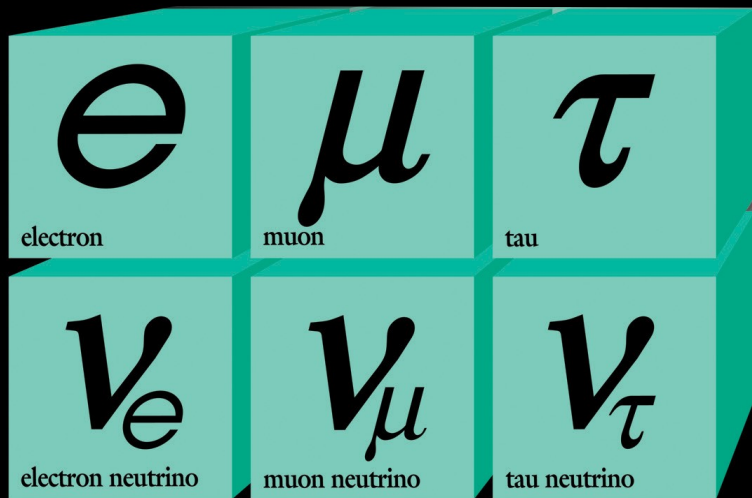
# Forces



# Quarks



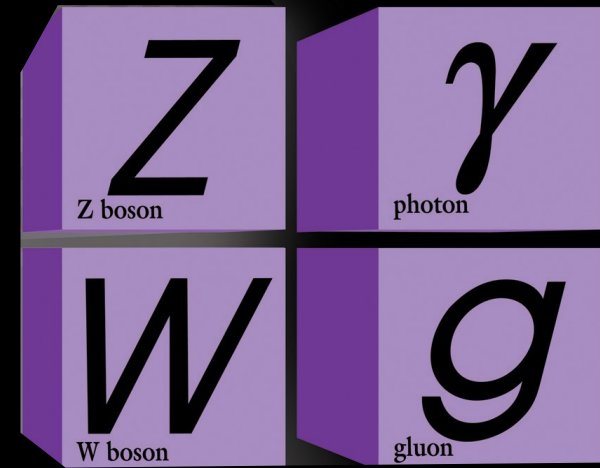
+ anti-matière



# Leptons

# Le modèle standard

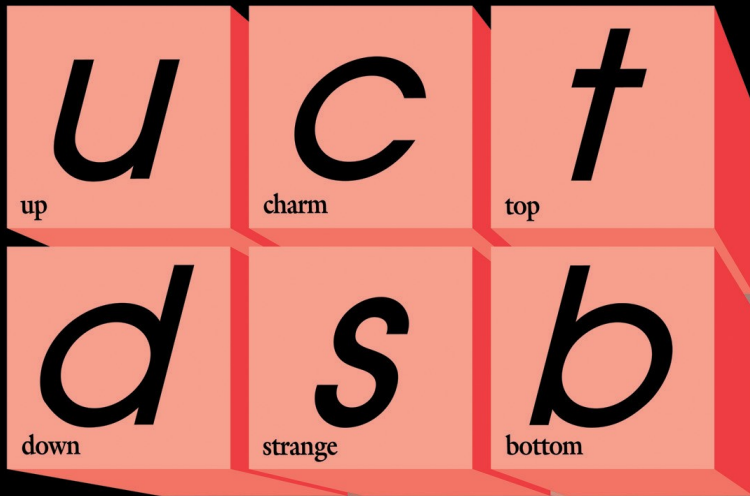
# Forces



Toutes ces particules ont une masse nulle, c'est contraire à l'expérience...

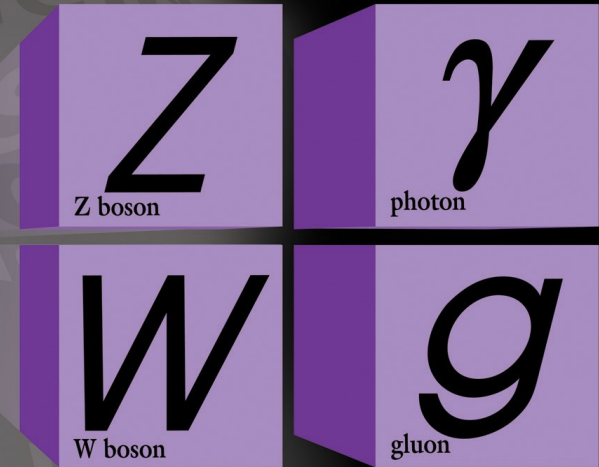
# Quarks

# Le modèle standard



+ anti-matière

# Forces

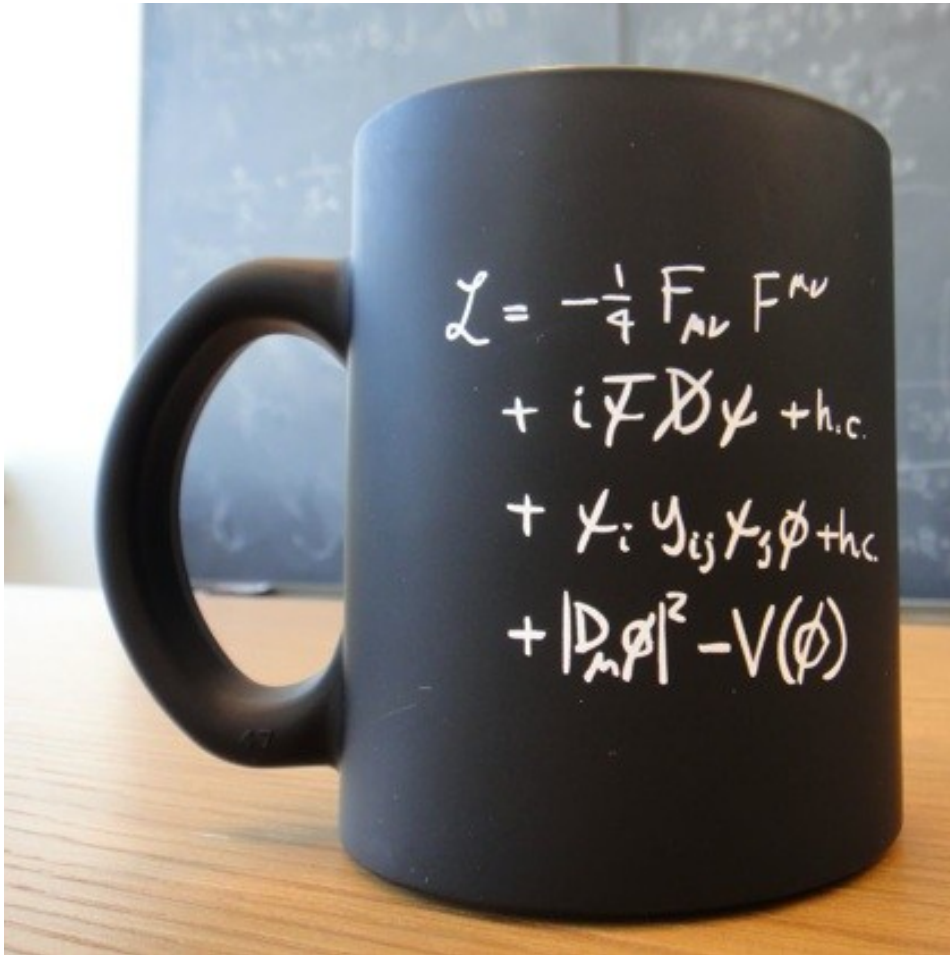


# Leptons

Solution : rajouter un champ de Higgs

# Le Modèle standard

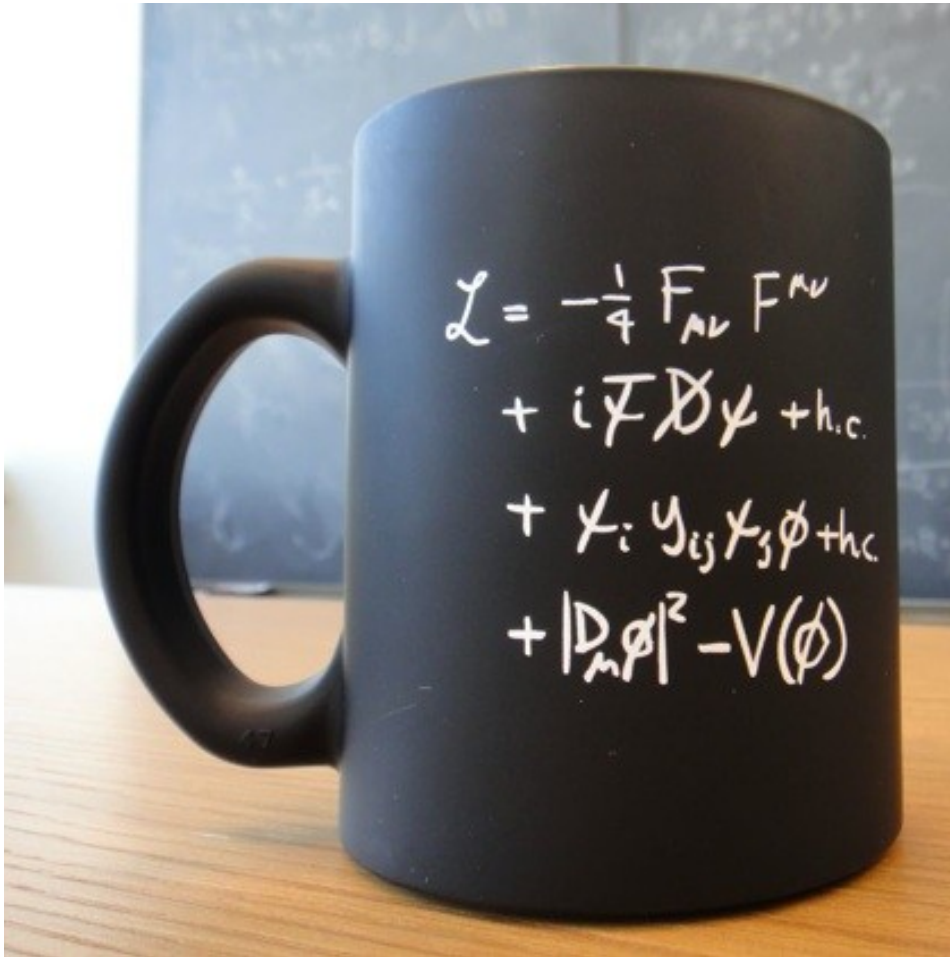
- Version synthétique



# Le Modèle standard

- Version synthétique

- Version développée...



$$\begin{aligned}
 & -\frac{1}{2} \partial_\nu g_\mu^\alpha \partial_\nu g_\mu^\alpha - g_s f^{abc} \partial_\mu g_\nu^a g_\mu^b g_\nu^c - \frac{1}{4} g_s^2 f^{abc} f^{ade} g_\mu^b g_\nu^c g_\mu^d g_\nu^e + \\
 & \frac{1}{2} i g_s^2 (\bar{q}_i^\mu \gamma^\mu q_j^\mu) g_\mu^a + G^a \partial^2 G^a + g_s f^{abc} \partial_\mu G^a G^b g_\mu^c - \partial_\nu W_\mu^+ \partial_\nu W_\mu^- - \\
 & M^2 W_\mu^+ W_\mu^- - \frac{1}{2} \partial_\nu Z_\mu^0 \partial_\nu Z_\mu^0 - \frac{1}{2c_w^2} M^2 Z_\mu^0 Z_\mu^0 - \frac{1}{2} \partial_\mu A_\nu \partial_\mu A_\nu - \frac{1}{2} \partial_\mu H \partial_\mu H - \\
 & \frac{1}{2} m_h^2 H^2 - \partial_\mu \phi^+ \partial_\mu \phi^- - M^2 \phi^+ \phi^- - \frac{1}{2} \partial_\mu \phi^0 \partial_\mu \phi^0 - \frac{1}{2c_w^2} M \phi^0 \phi^0 - \beta_h [\frac{2M^2}{g^2} + \\
 & \frac{2M}{g} H + \frac{1}{2} (H^2 + \phi^0 \phi^0 + 2\phi^+ \phi^-)] + \frac{2M^4}{g^2} \alpha_h - i g_{c_w} [\partial_\nu Z_\mu^0 (W_\mu^+ W_\nu^- - \\
 & W_\nu^+ W_\mu^-) - Z_\nu^0 (W_\mu^+ \partial_\nu W_\mu^- - W_\mu^- \partial_\nu W_\mu^+) + Z_\mu^0 (W_\nu^+ \partial_\nu W_\mu^- - \\
 & W_\nu^- \partial_\nu W_\mu^+)] - i g_{s_w} [\partial_\nu A_\mu (W_\mu^+ W_\nu^- - W_\nu^+ W_\mu^-) - A_\nu (W_\mu^+ \partial_\nu W_\mu^- - \\
 & W_\mu^- \partial_\nu W_\mu^+) + A_\mu (W_\nu^+ \partial_\nu W_\mu^- - W_\nu^- \partial_\nu W_\mu^+)] - \frac{1}{2} g^2 W_\mu^+ W_\mu^- W_\nu^+ W_\nu^- + \\
 & \frac{1}{2} g^2 W_\mu^+ W_\nu^- W_\mu^+ W_\nu^- + g^2 c_w^2 (Z_\mu^0 W_\mu^+ Z_\nu^0 W_\nu^- - Z_\mu^0 Z_\nu^0 W_\mu^+ W_\nu^-) + \\
 & g^2 s_w^2 (A_\mu W_\mu^+ A_\nu W_\nu^- - A_\mu A_\nu W_\mu^+ W_\nu^-) + g^2 s_w c_w [A_\mu Z_\nu^0 (W_\mu^+ W_\nu^- - \\
 & W_\nu^+ W_\mu^-) - 2A_\mu Z_\mu^0 W_\nu^+ W_\nu^-] - g\alpha [H^3 + H\phi^0 \phi^0 + 2H\phi^+ \phi^-] - \\
 & \frac{1}{8} g^2 \alpha_h [H^4 + (\phi^0)^4 + 4(\phi^+ \phi^-)^2 + 4(\phi^0)^2 \phi^+ \phi^- + 4H^2 \phi^+ \phi^- + 2(\phi^0)^2 H^2] - \\
 & g M W_\mu^+ W_\mu^- H - \frac{1}{2} g \frac{M}{c_w^2} Z_\mu^0 Z_\mu^0 H - \frac{1}{2} i g [W_\mu^+ (\phi^0 \partial_\mu \phi^- - \phi^- \partial_\mu \phi^0) - \\
 & W_\mu^- (\phi^0 \partial_\mu \phi^+ - \phi^+ \partial_\mu \phi^0)] + \frac{1}{2} g [W_\mu^+ (H \partial_\mu \phi^- - \phi^- \partial_\mu H) - W_\mu^- (H \partial_\mu \phi^+ - \\
 & \phi^+ \partial_\mu H)] + \frac{1}{2} g \frac{1}{c_w} (Z_\mu^0 (H \partial_\mu \phi^0 - \phi^0 \partial_\mu H) - i g \frac{s_w^2}{c_w} M Z_\mu^0 (W_\mu^+ \phi^- - W_\mu^- \phi^+) + \\
 & i g s_w M A_\mu (W_\mu^+ \phi^- - W_\mu^- \phi^+) - i g \frac{1-2c_w^2}{2c_w} Z_\mu^0 (\phi^+ \partial_\mu \phi^- - \phi^- \partial_\mu \phi^+) + \\
 & i g s_w A_\mu (\phi^+ \partial_\mu \phi^- - \phi^- \partial_\mu \phi^+) - \frac{1}{4} g^2 W_\mu^+ W_\mu^- [H^2 + (\phi^0)^2 + 2\phi^+ \phi^-] - \\
 & \frac{1}{4} g^2 \frac{1}{c_w^2} Z_\mu^0 Z_\mu^0 [H^2 + (\phi^0)^2 + 2(2s_w^2 - 1)^2 \phi^+ \phi^-] - \frac{1}{2} g^2 \frac{s_w^2}{c_w^2} Z_\mu^0 \phi^0 (W_\mu^+ \phi^- + \\
 & W_\mu^- \phi^+) - \frac{1}{2} i g^2 \frac{s_w^2}{c_w} Z_\mu^0 H (W_\mu^+ \phi^- - W_\mu^- \phi^+) + \frac{1}{2} g^2 s_w A_\mu \phi^0 (W_\mu^+ \phi^- + \\
 & W_\mu^- \phi^+) + \frac{1}{2} i g^2 s_w A_\mu H (W_\mu^+ \phi^- - W_\mu^- \phi^+) - g^2 \frac{s_w}{c_w} (2c_w^2 - 1) Z_\mu^0 A_\mu \phi^+ \phi^- - \\
 & g^1 s_w^2 A_\mu A_\nu \phi^+ \phi^- - \bar{e}^\lambda (\gamma \partial + m_e^\lambda) e^\lambda - \bar{\nu}^\lambda \gamma \partial \nu^\lambda - \bar{u}_j^\lambda (\gamma \partial + m_u^\lambda) u_j^\lambda - \\
 & \bar{d}_j^\lambda (\gamma \partial + m_d^\lambda) d_j^\lambda + i g s_w A_\mu [-(\bar{e}^\lambda \gamma^\mu e^\lambda) + \frac{2}{3} (\bar{u}_j^\lambda \gamma^\mu u_j^\lambda) - \frac{1}{3} (\bar{d}_j^\lambda \gamma^\mu d_j^\lambda)] + \\
 & \frac{i g}{4c_w} Z_\mu^0 [(\bar{\nu}^\lambda \gamma^\mu (1 + \gamma^5) \nu^\lambda) + (\bar{e}^\lambda \gamma^\mu (4s_w^2 - 1 - \gamma^5) e^\lambda) + (\bar{u}_j^\lambda \gamma^\mu (\frac{4}{3}s_w^2 - \\
 & 1 - \gamma^5) u_j^\lambda) + (\bar{d}_j^\lambda \gamma^\mu (1 - \frac{2}{3}s_w^2 - \gamma^5) d_j^\lambda)] + \frac{i g}{2\sqrt{2}} W_\mu^+ [(\bar{e}^\lambda \gamma^\mu (1 + \gamma^5) e^\lambda) + \\
 & (\bar{u}_j^\lambda \gamma^\mu (1 + \gamma^5) C_{\lambda\kappa} d_\kappa^\lambda)] + \frac{i g}{2\sqrt{2}} W_\mu^- [(\bar{e}^\lambda \gamma^\mu (1 + \gamma^5) \nu^\lambda) + (\bar{d}_j^\lambda C_{\lambda\kappa}^\dagger \gamma^\mu (1 + \\
 & \gamma^5) u_j^\lambda)] + \frac{i g}{2\sqrt{2}} \frac{m_\lambda^2}{M} [-\phi^+ (\bar{\nu}^\lambda (1 - \gamma^5) e^\lambda) + \phi^- (\bar{e}^\lambda (1 + \gamma^5) \nu^\lambda)] - \\
 & \frac{g}{2} \frac{m_\lambda^2}{M} [H (\bar{e}^\lambda e^\lambda) + i \phi^0 (\bar{e}^\lambda \gamma^5 e^\lambda)] + \frac{i g}{2M\sqrt{2}} \phi^+ [-m_\lambda^\kappa (\bar{u}_j^\lambda C_{\lambda\kappa} (1 - \gamma^5) d_\kappa^\lambda) + \\
 & m_\lambda^\lambda (\bar{u}_j^\lambda C_{\lambda\kappa} (1 + \gamma^5) d_\kappa^\lambda) + \frac{i g}{2M\sqrt{2}} \phi^- [m_\lambda^\lambda (\bar{d}_j^\lambda C_{\lambda\kappa}^\dagger (1 + \gamma^5) u_j^\lambda) - m_\lambda^\kappa (\bar{d}_j^\lambda C_{\lambda\kappa}^\dagger (1 - \\
 & \gamma^5) u_j^\lambda)] - \frac{g}{2} \frac{m_\lambda^2}{M} H (\bar{u}_j^\lambda u_j^\lambda) - \frac{g}{2} \frac{m_\lambda^2}{M} H (\bar{d}_j^\lambda d_j^\lambda) + \frac{i g}{2} \frac{m_\lambda^2}{M} \phi^0 (\bar{u}_j^\lambda \gamma^5 u_j^\lambda) - \\
 & \frac{i g}{2} \frac{m_\lambda^2}{M} \phi^0 (\bar{d}_j^\lambda \gamma^5 d_j^\lambda) + \bar{X}^+ (\partial^2 - M^2) X^+ + \bar{X}^- (\partial^2 - M^2) X^- + \bar{X}^0 (\partial^2 - \\
 & \frac{M^2}{c_w^2}) X^0 + \bar{Y} \partial^2 Y + i g_{c_w} W_\mu^+ (\partial_\mu \bar{X}^0 X^- - \partial_\mu \bar{X}^+ X^0) + i g_{s_w} W_\mu^+ (\partial_\mu \bar{Y} X^- - \\
 & \partial_\mu \bar{X}^+ Y) + i g_{c_w} W_\mu^- (\partial_\mu \bar{X}^- X^0 - \partial_\mu \bar{X}^0 X^+) + i g_{s_w} W_\mu^- (\partial_\mu \bar{X}^- Y - \\
 & \partial_\mu \bar{Y} X^+) + i g_{c_w} Z_\mu^0 (\partial_\mu \bar{X}^+ X^+ - \partial_\mu \bar{X}^- X^-) + i g_{s_w} A_\mu (\partial_\mu \bar{X}^+ X^+ - \\
 & \partial_\mu \bar{X}^- X^-) - \frac{1}{2} g M [\bar{X}^+ X^+ H + \bar{X}^- X^- H + \frac{1}{c_w} \bar{X}^0 X^0 H] + \\
 & \frac{1-2c_w^2}{2c_w} i g M [\bar{X}^+ X^0 \phi^+ - \bar{X}^- X^0 \phi^-] + \frac{1}{2c_w} i g M [\bar{X}^0 X^- \phi^+ - \bar{X}^0 X^+ \phi^-] + \\
 & i g M s_w [\bar{X}^0 X^- \phi^+ - \bar{X}^0 X^+ \phi^-] + \frac{1}{2} i g M [\bar{V}^+ V^+ + \bar{V}^0 V^0 - \bar{V}^- V^- + \bar{V}^0 V^0]
 \end{aligned}$$

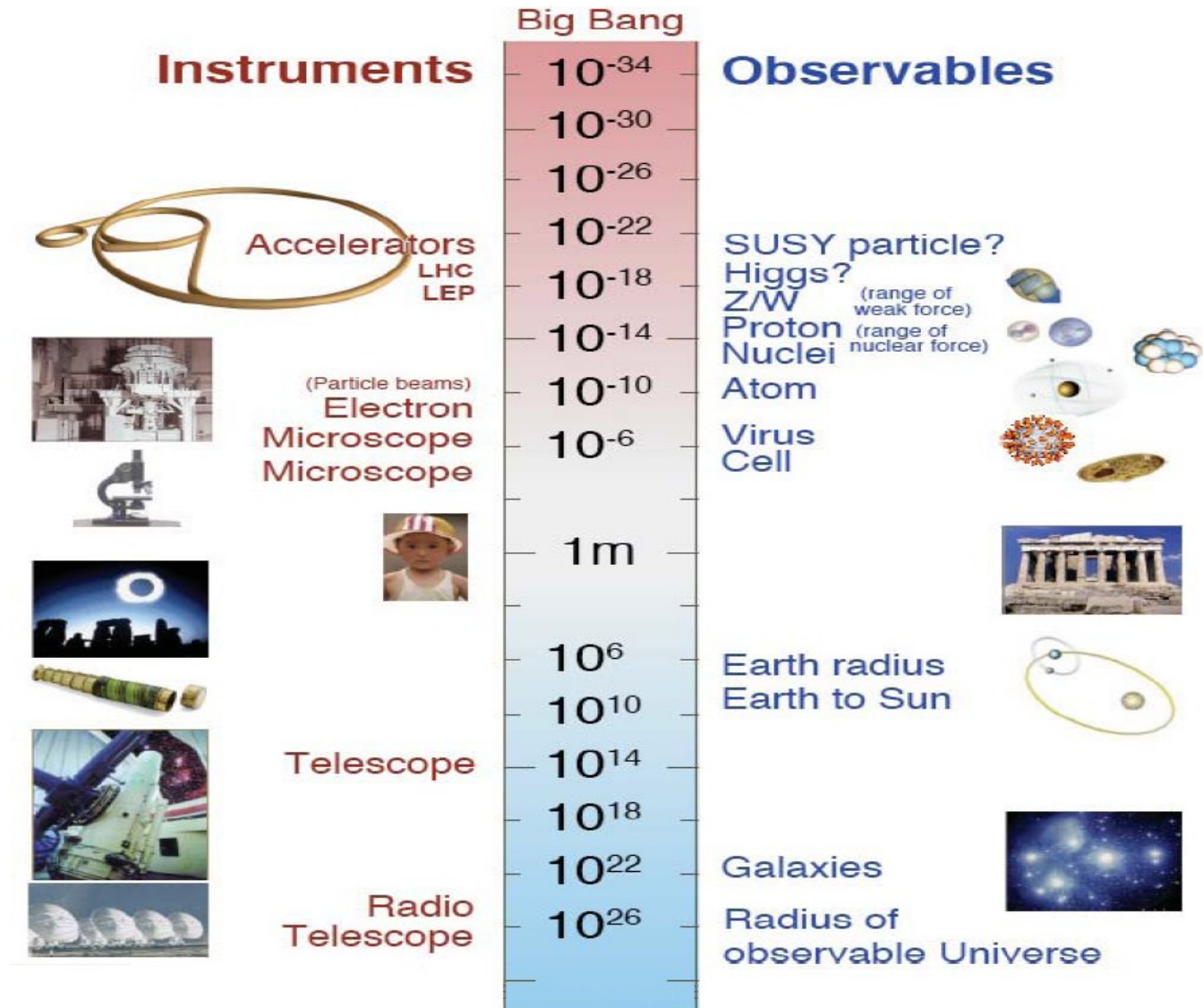
# Pourquoi des accélérateurs de particules ?

- Pour voir des objets plus petits, il faut une énergie plus élevée :

- ◆ longueur d'onde associée  $\lambda = h/p$

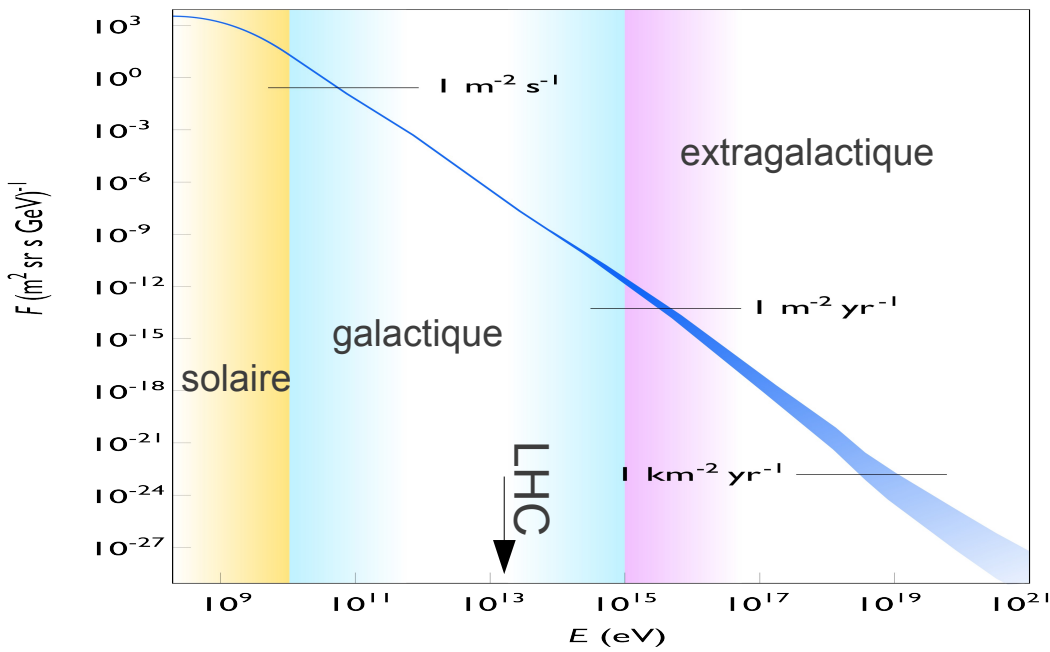
- Pour créer des particules plus lourdes

- ◆  $E = mc^2$

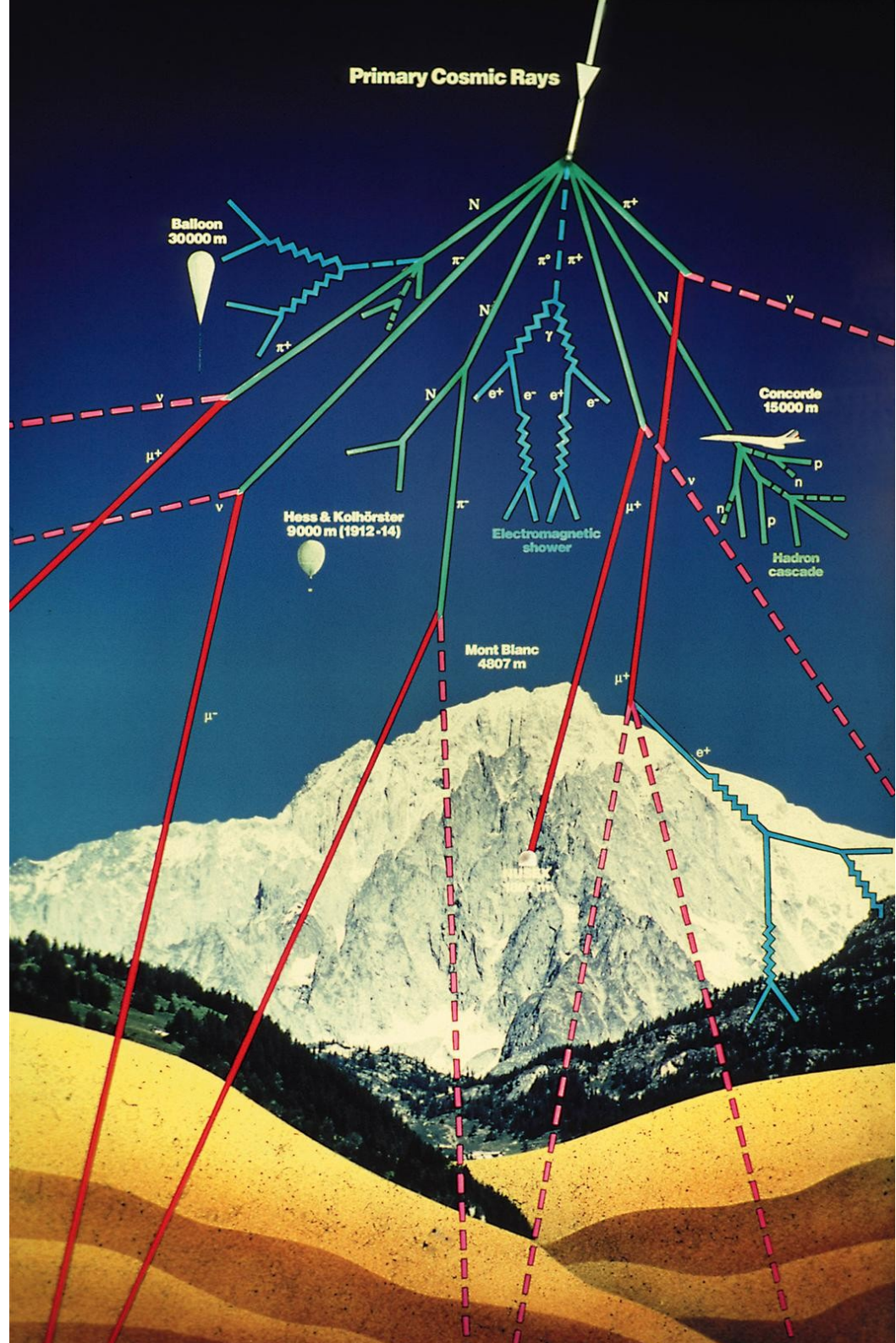


# Accélérateur naturel

- Rayons cosmiques de très haute énergie
- Découverts par Hess en 1912
- Avantage : énergies faramineuses
- Problème : hasard



- Détails avec José



# Quelques accélérateurs récents

- Le LEP

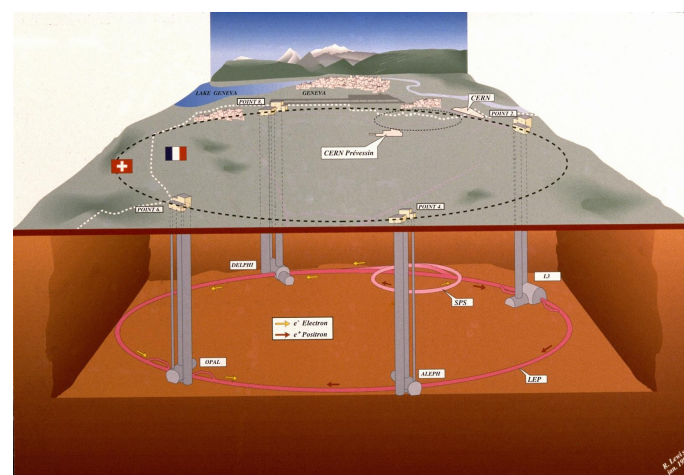
- ▶ Au CERN, Genève
- ▶ Collisions  $e^+e^-$
- ▶ 1989-2000

- Le Tevatron

- ▶ Fermilab, Chicago
- ▶ Collisions proton-antiproton
- ▶ 1983-2011

- Le LHC

- ▶ Au CERN
- ▶ Collisions proton-proton
- ▶ Depuis 2009



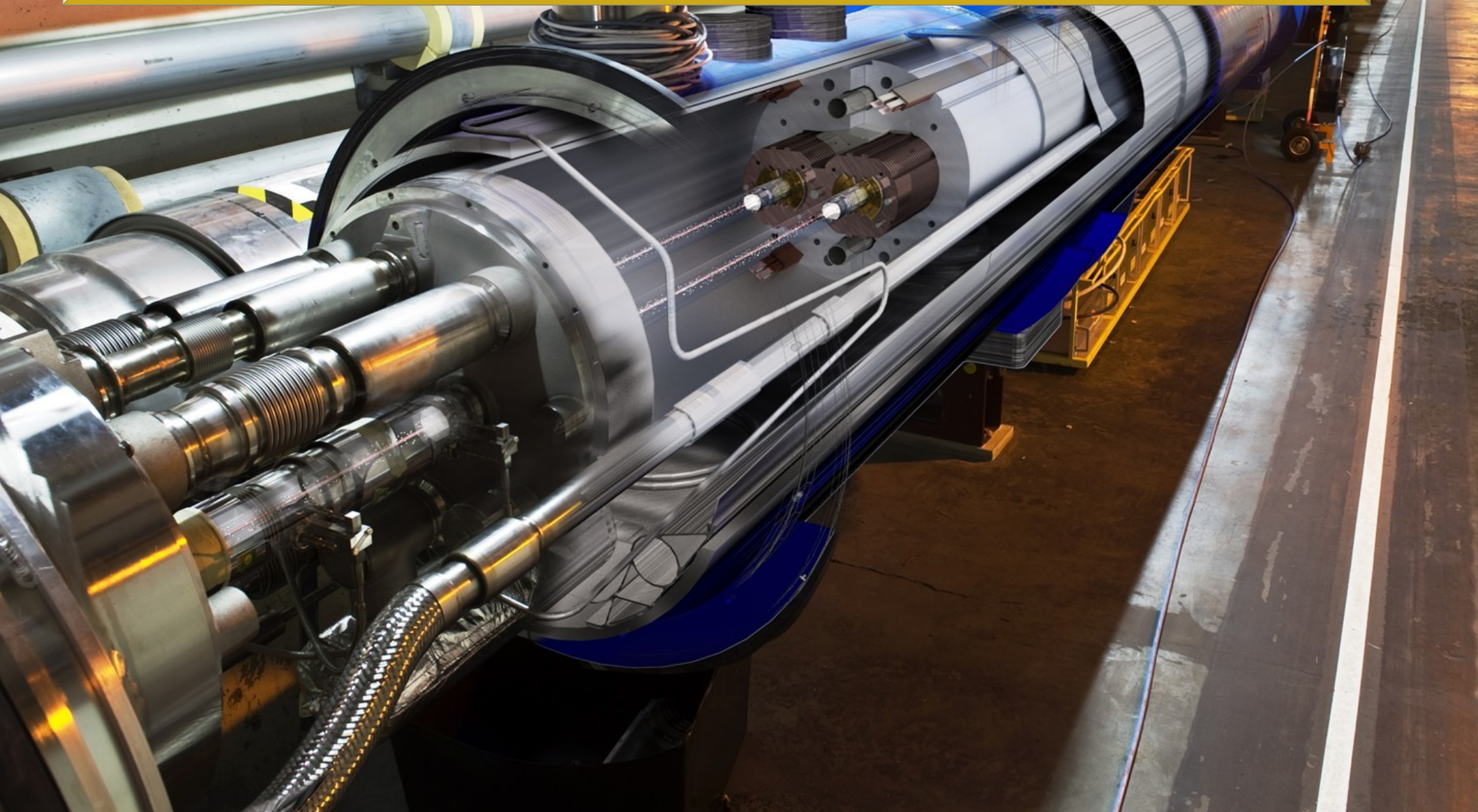


# Le LHC : la machine à superlatifs



# Le LHC : la machine à superlatifs

La plus grande et la plus complexe machine scientifique jamais construite



# Le LHC : la machine à superlatifs



27 km de circonférence  
100 m sous terre

# Le LHC : la machine à superlatifs



Protons voyageant à  
99,9999991%  
de la vitesse de la lumière,  
soit 11000 tours  
par seconde

# Le LHC : la machine à superlatifs



Le plus grand congélateur : 1,9 K (-271 °C), plus froid que l'espace intersidéral (2,7 K), avec de l'hélium superfluide pour rendre les câbles supraconducteurs et générer un champ magnétique de 8,3 T (200000 fois le champ magnétique terrestre)

# Le LHC : la machine à superlatifs

1232 dipôles.  
Un dipôle :  
15 m de long  
35 tonnes



# Le LHC : la machine à superlatifs

Longueur des câbles supraconducteurs :  
assez pour 5 aller-retours Terre-soleil



# Le LHC : la machine à superlatifs

Vide presque parfait ( $10^{-13}$  atm) :  
pression 10 fois plus faible  
que sur la Lune





# Le LHC : la machine à superlatifs



Énergie du faisceau : TGV à 150 km/h.  
Chaque proton a l'énergie d'un moustique en vol,  
mais il y en a 2800 paquets de 100 milliards !

# Large Hadron Collider : un projet de longue haleine

|                |  |
|----------------|--|
| 1984           | Études préliminaires                       |
| 1992           | Création de la collaboration ATLAS         |
| 1994           | Approbation par le conseil du CERN         |
| 1996-1998      | Approbation des quatre grandes expériences |
| 1998-2008      | Construction du LHC et des détecteurs      |
| Septembre 2008 | Mise en service, panne cryogénique         |
| Octobre 2009   | Redémarrage                                |
| Mars 2010      | Premières collisions à 7 TeV               |
| Fin 2012       | Fin des collisions à 8 TeV                 |
| Fin 2014       | Redémarrage à 13-14 TeV                    |
| 2018-2020      | Fin des collisions à luminosité nominale ? |
| 2020-2030      | Phase à haute luminosité ?                 |

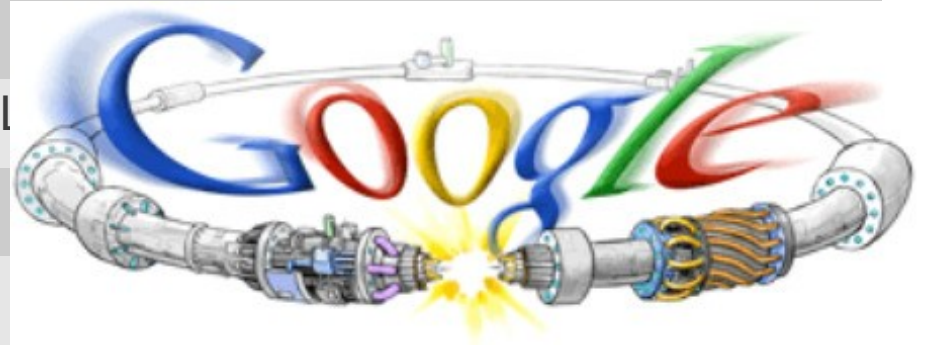
# Large Hadron Collider : un projet de longue haleine



|                |   |
|----------------|---|
| 1984           | Études préliminaires                        |
| 1992           | Création de la collaboration ATLAS          |
| 1994           | Approbation par le conseil du CERN          |
| 1996-1998      | Approbation des quatre grands accélérateurs |
| 1998-2008      | Construction du LHC et des détecteurs       |
| Septembre 2008 | Mise en service, panne cryogénique          |
| Octobre 2009   | Redémarrage                                 |
| Mars 2010      | Premières collisions à 7 TeV                |
| Fin 2012       | Fin des collisions à 8 TeV                  |
| Fin 2014       | Redémarrage à 13-14 TeV                     |
| 2018-2020      | Fin des collisions à luminosité nominale ?  |
| 2020-2030      | Phase à haute luminosité ?                  |

# Large Hadron Collider : un projet de longue haleine

|                |  |
|----------------|--|
| 1984           | Études préliminaires                       |
| 1992           | Création de la collaboration ATLAS         |
| 1994           | Approbation par le conseil du CERN         |
| 1996-1998      | Approbation des                            |
| 1998-2008      | Construction du L                          |
| Septembre 2008 | Mise en service,                           |
| Octobre 2009   | Redémarrage                                |
| Mars 2010      | Premières collisions à 7 TeV               |
| Fin 2012       | Fin des collisions à 8 TeV                 |
| Fin 2014       | Redémarrage à 13-14 TeV                    |
| 2018-2020      | Fin des collisions à luminosité nominale ? |
| 2020-2030      | Phase à haute luminosité ?                 |



# Large Hadron Collider : un projet de longue haleine

|                |  |
|----------------|--|
| 1984           | Études préliminaires                       |
| 1992           | Création de la collaboration ATLAS         |
| 1994           | Approbation par le conseil du CERN         |
| 1996-1998      | Approbation des quatre grandes expériences |
| 1998-2008      | Construction du LHC et des détecteurs      |
| Septembre 2008 | Mise en service, panne cryogénique         |
| Octobre 2009   | Redémarrage                                |
| Mars 2010      | Premières collisions à 7 TeV               |
| Fin 2012       | Fin des collisions à 8 TeV                 |
| Fin 2014       | Redémarrage à 13-14 TeV                    |
| 2018-2020      | Fin des collisions à luminosité nominale ? |
| 2020-2030      | Phase à haute luminosité ?                 |



# Large Hadron Collider : un projet de longue haleine

|                |  |
|----------------|--|
| 1984           | Études préliminaires                       |
| 1992           | Création de la collaboration ATLAS         |
| 1994           | Approbation par le conseil du CERN         |
| 1996-1998      | Approbation des quatre grandes expériences |
| 1998-2008      | Construction du LHC et des détecteurs      |
| Septembre 2008 | Mise en service, panne cryogénique         |
| Octobre 2009   | Redémarrage                                |
| Mars 2010      | Premières collisions à 7 TeV               |
| Fin 2012       | Fin des collisions à 8 TeV                 |
| Fin 2014       | Redémarrage à 13-14 TeV                    |
| 2018-2020      | Fin des collisions à luminosité nominale ? |
| 2020-2030      | Phase à haute luminosité ?                 |



# Le CERN

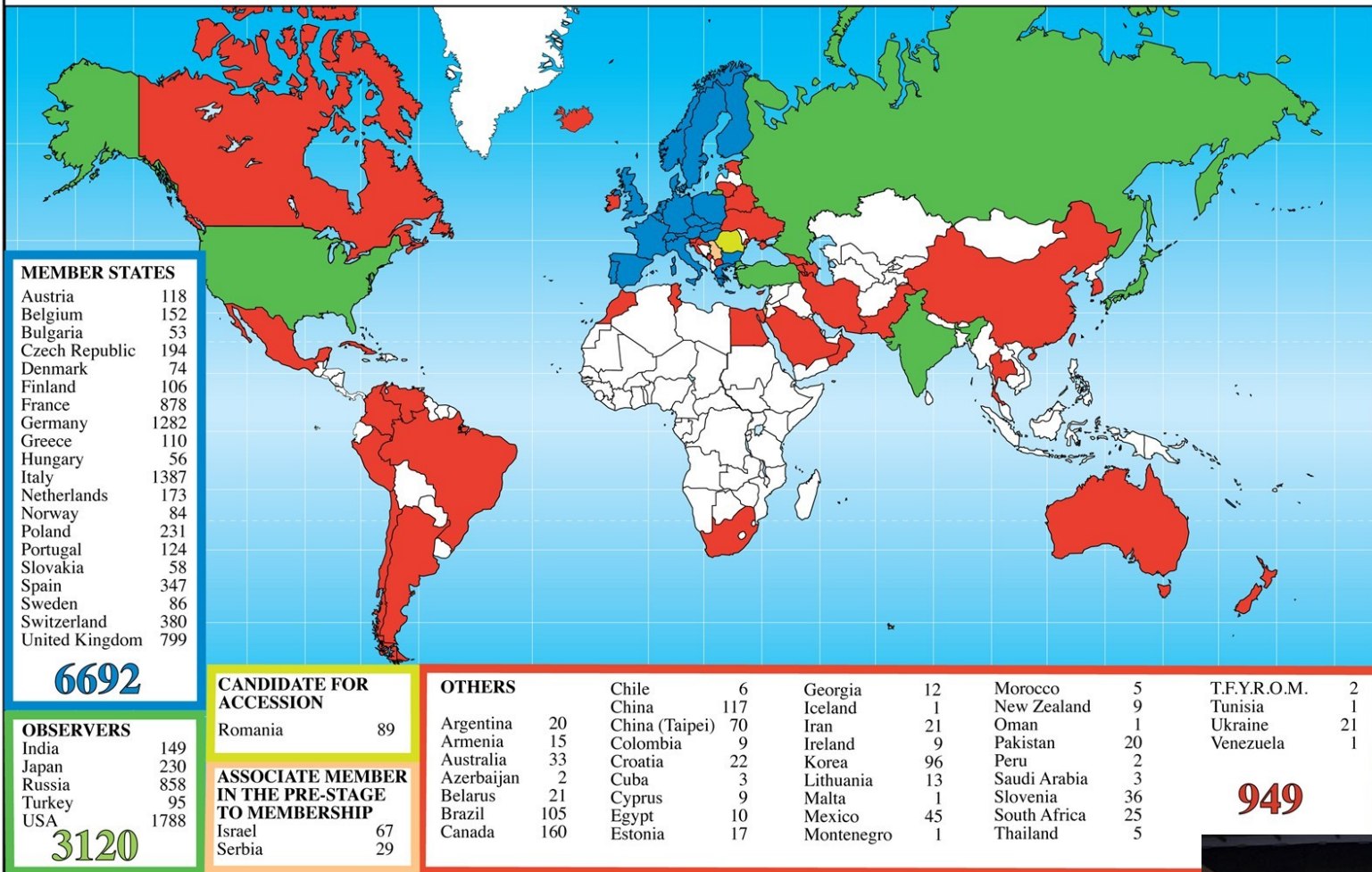


- Organisation européenne pour la recherche nucléaire
- Fondé en 1954
- Basé à Genève (Suisse), sites également en France
- Organisation internationale (les employés sont fonctionnaires internationaux)
- Nombreuses découvertes scientifiques et techniques
- Plusieurs prix Nobel
- Programme d'étudiant d'été



# Le CERN : laboratoire mondial

Distribution of All CERN Users by Nation of Institute on 3 September 2012



- 20 États membres
- Une centaine de nationalités, tout le monde coopère
- 10000 scientifiques





# A quoi sert la recherche fondamentale du CERN ?

- Raison d'être : curiosité humaine pour comprendre le monde qui nous entoure

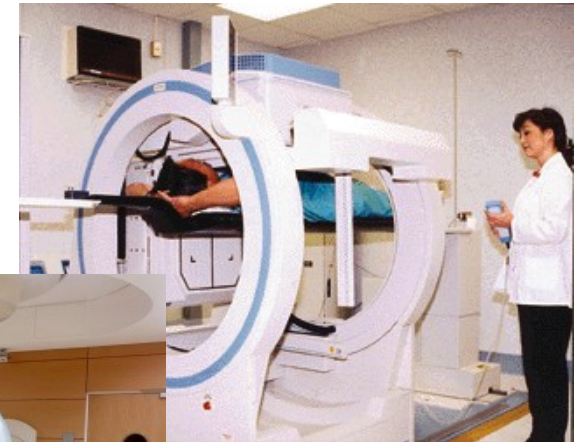
# A quoi sert la recherche fondamentale du CERN ?

- Raison d'être : curiosité humaine pour comprendre le monde qui nous entoure
- Applications :
  - ▶ Concepts théoriques comme l'antimatière utilisés dans les scanners TEP
  - ▶ Technologie des détecteurs utilisée en médecine
  - ▶ Faisceaux utilisés en hadronthérapie



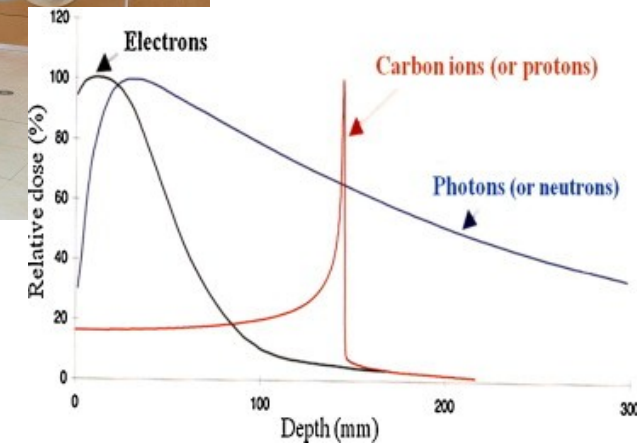
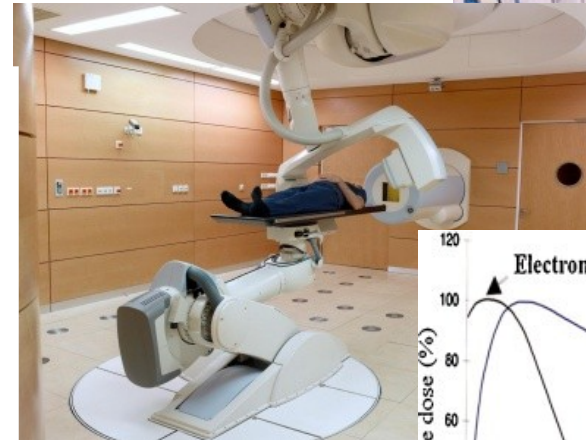
# A quoi sert la recherche fondamentale du CERN ?

- Raison d'être : curiosité humaine pour comprendre le monde qui nous entoure
- Applications :
  - ▶ Concepts théoriques comme l'antimatière utilisés dans les scanners TEP
  - ▶ Technologie des détecteurs utilisée en médecine
  - ▶ Faisceaux utilisés en hadronthérapie



# A quoi sert la recherche fondamentale du CERN ?

- Raison d'être : curiosité humaine pour comprendre le monde qui nous entoure
- Applications :
  - ▶ Concepts théoriques comme l'antimatière utilisés dans les scanners TEP
  - ▶ Technologie des détecteurs utilisée en médecine
  - ▶ Faisceaux utilisés en hadronthérapie



# A quoi sert la recherche fondamentale du CERN ?

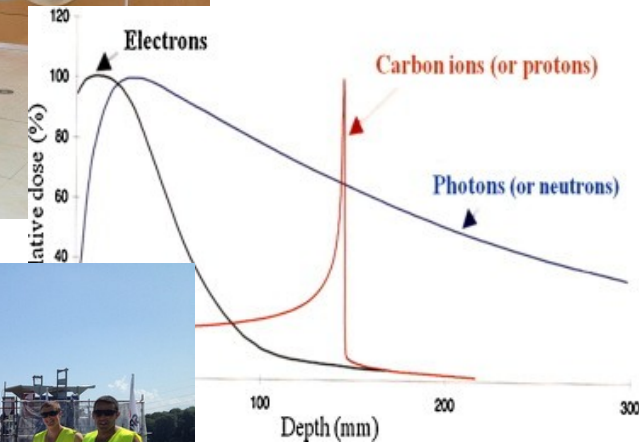
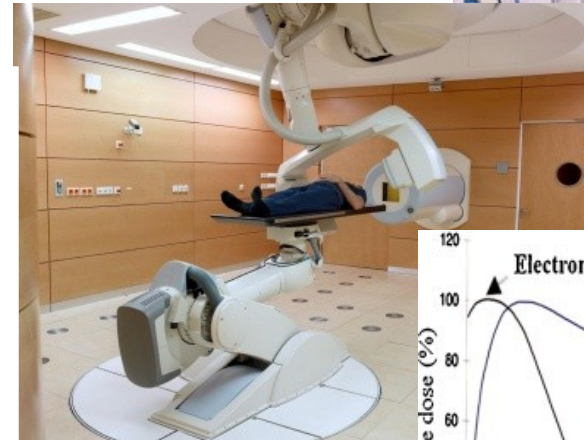
- Raison d'être : curiosité humaine pour comprendre le monde qui nous entoure

- Applications :

- ▶ Concepts théoriques comme l'antimatière utilisés dans les scanners TEP
- ▶ Technologie des détecteurs utilisée en médecine
- ▶ Faisceaux utilisés en hadronthérapie

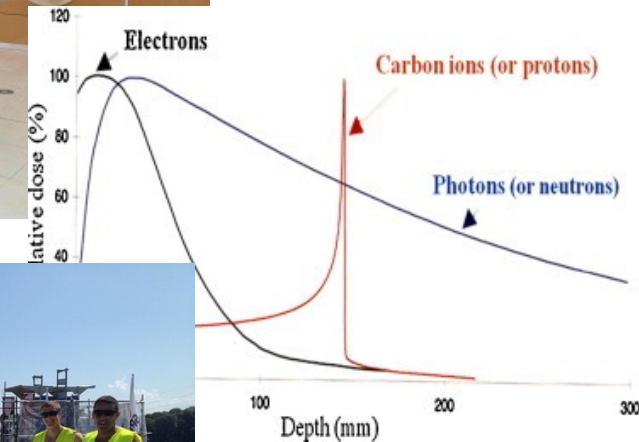
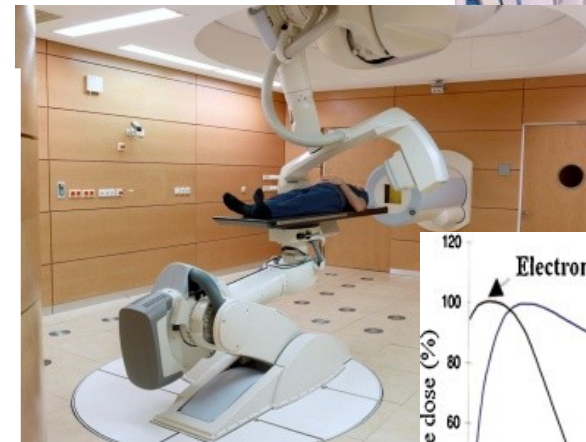
- Plus inattendu :

- ▶ Grille de calcul
- ▶ Isolation des panneaux solaires de l'aéroport de Genève
- ▶ Le Web a été inventé au CERN

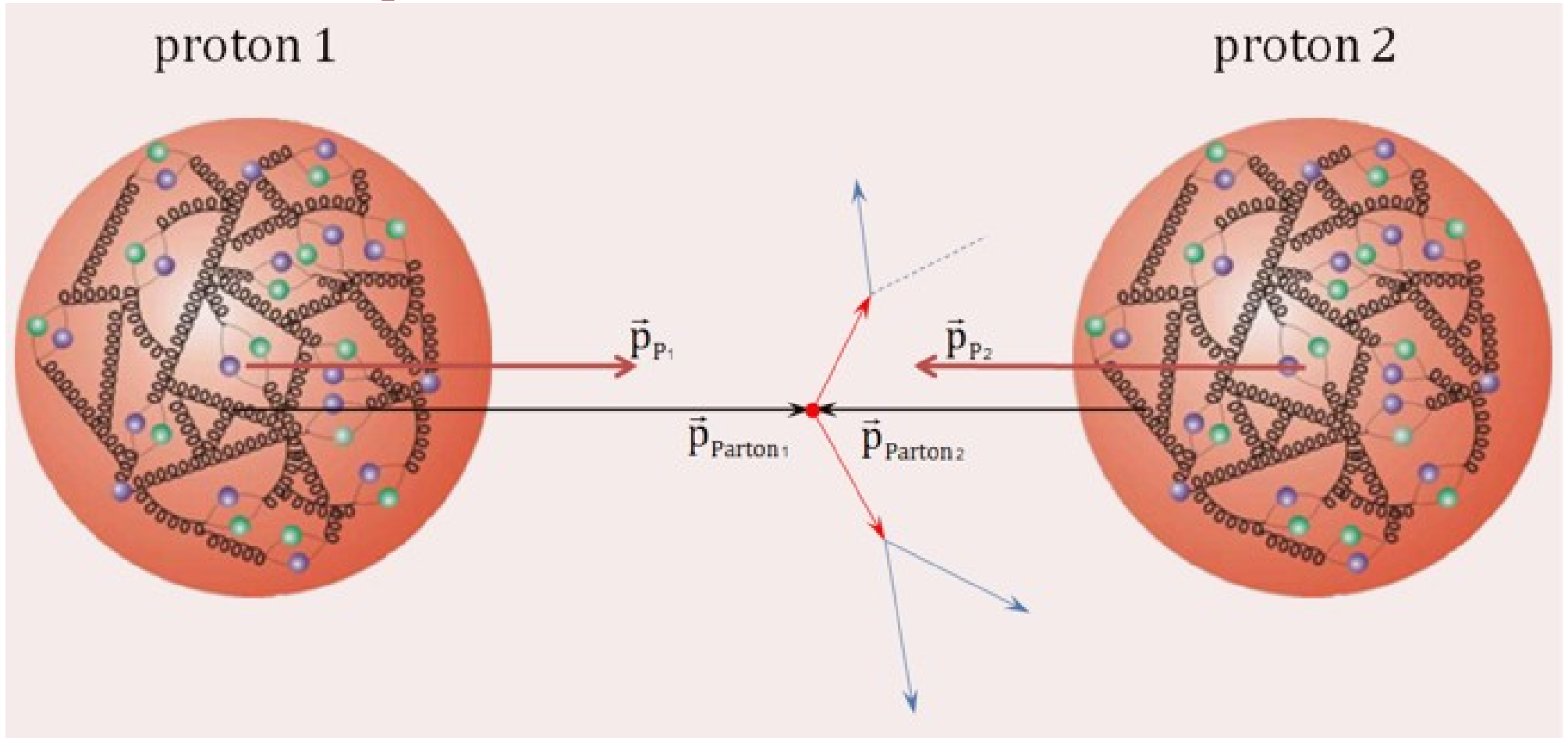


# A quoi sert la recherche fondamentale du CERN ?

- Raison d'être : curiosité humaine pour comprendre le monde qui nous entoure
- Applications :
  - ▶ Concepts théoriques comme l'antimatière utilisés dans les scanners TEP
  - ▶ Technologie des détecteurs utilisée en médecine
  - ▶ Faisceaux utilisés en hadronthérapie
- Plus inattendu :
  - ▶ Grille de calcul
  - ▶ Isolation des panneaux solaires de l'aéroport de Genève
  - ▶ Le Web a été inventé au CERN



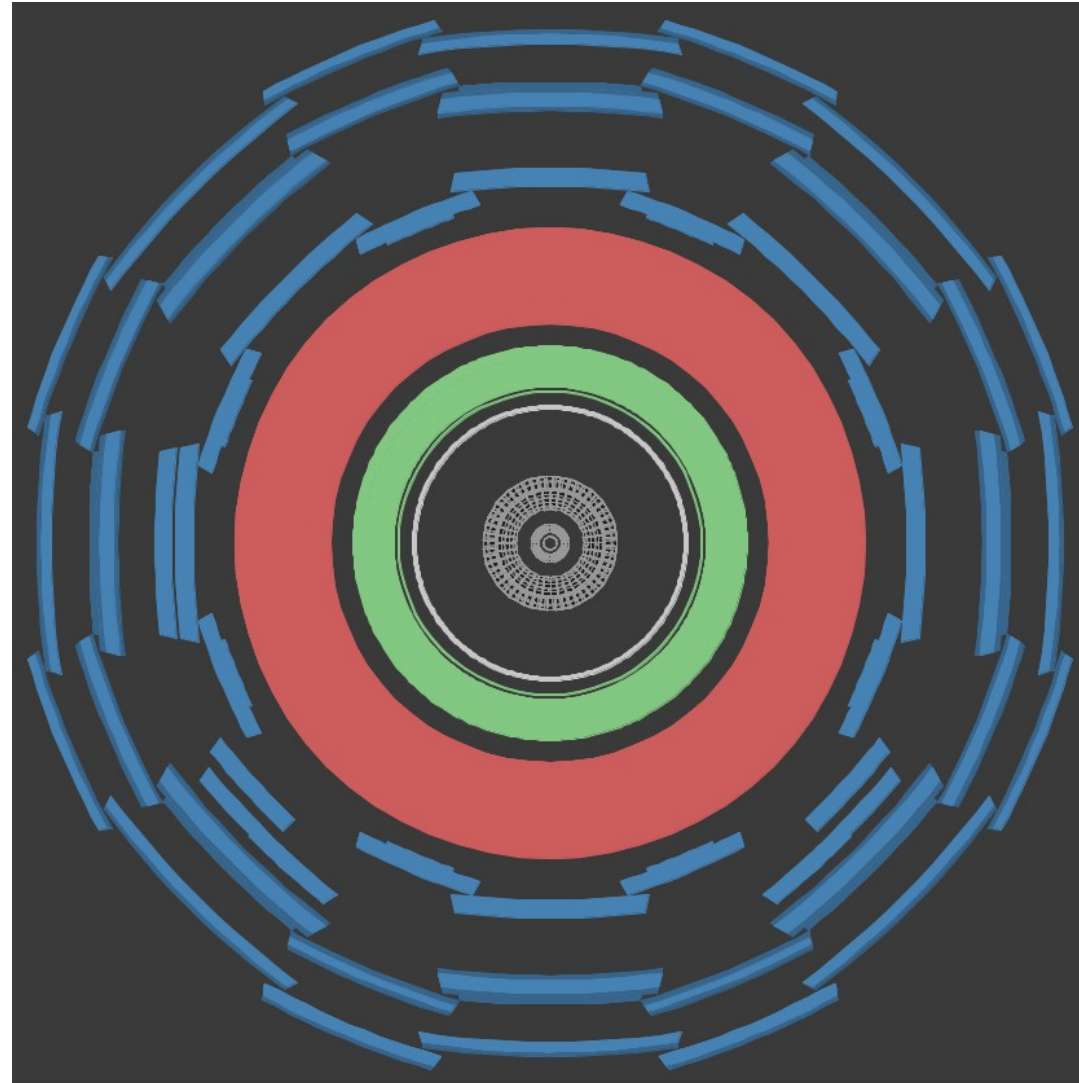
# Deux protons se rencontrent...



- Collision proton-proton = collision entre constituants (quarks et/ou gluons)
- Jamais deux fois la même collision → mesures statistiques
- Traces de la collision mesurées dans des détecteurs autour du point d'interaction

# Un détecteur, qu'est-ce que c'est ?

- Détecteur interne (trajectographe)
  - ▶ Mesure charge et impulsion des particules chargées, dans un champ magnétique
- Calorimètre électromagnétique
  - ▶ Mesure l'énergie des électrons, positrons et photons
- Calorimètre hadronique
  - ▶ Mesure l'énergie des hadrons (particules contenant des quarks), comme les protons, neutrons, pions, etc.
- Détecteur à muons
  - ▶ Mesure la charge et l'impulsion des muons

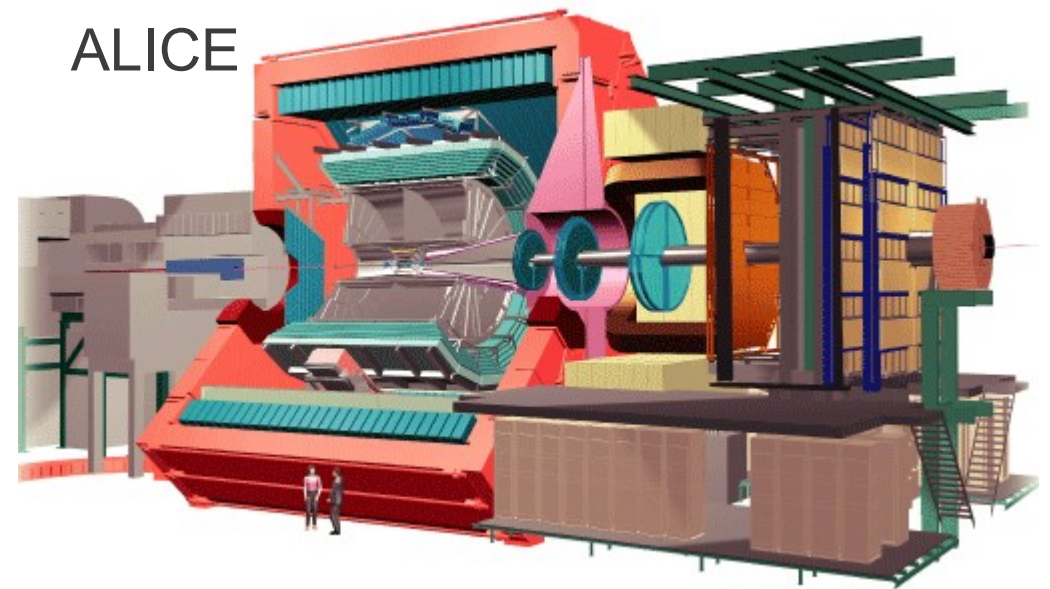
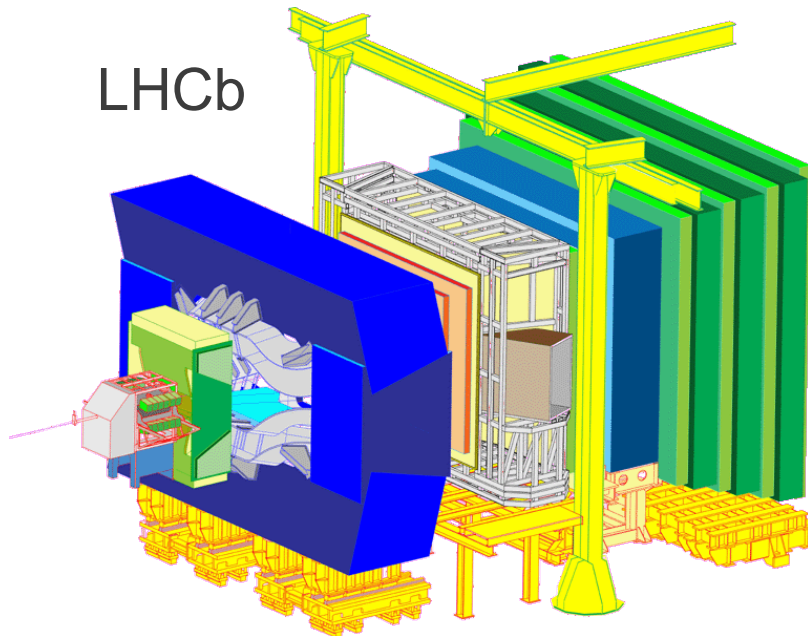
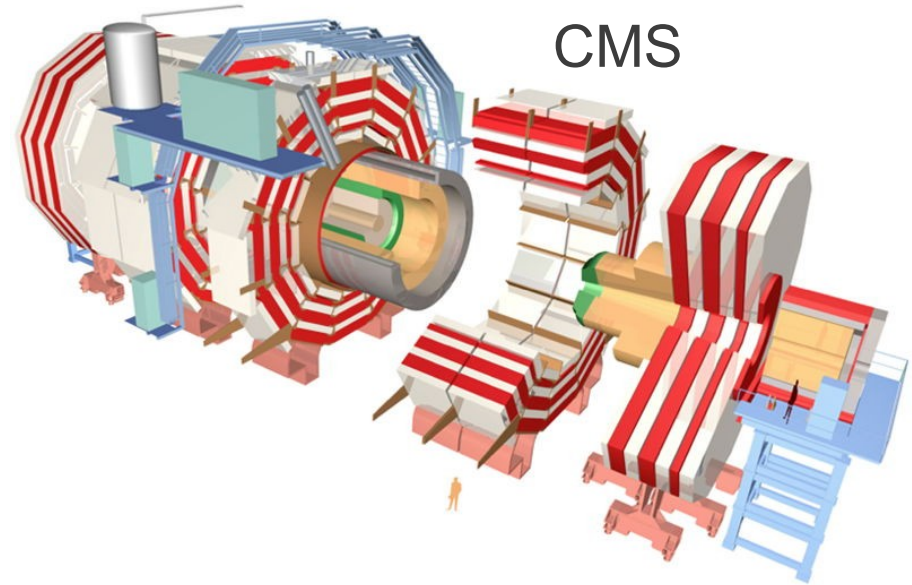
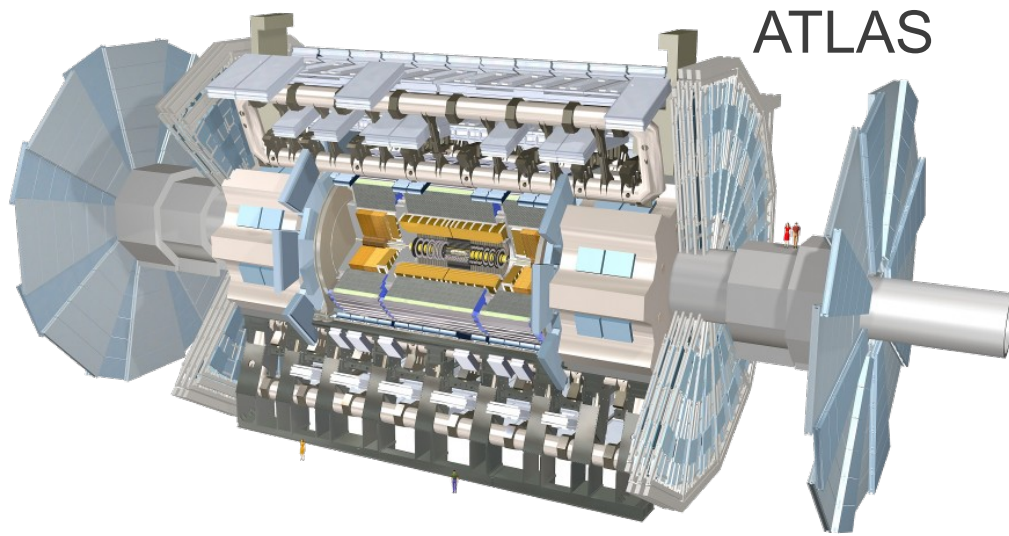




# Interaction des particules avec le détecteur



# Les détecteurs géants du LHC



# La collaboration ATLAS

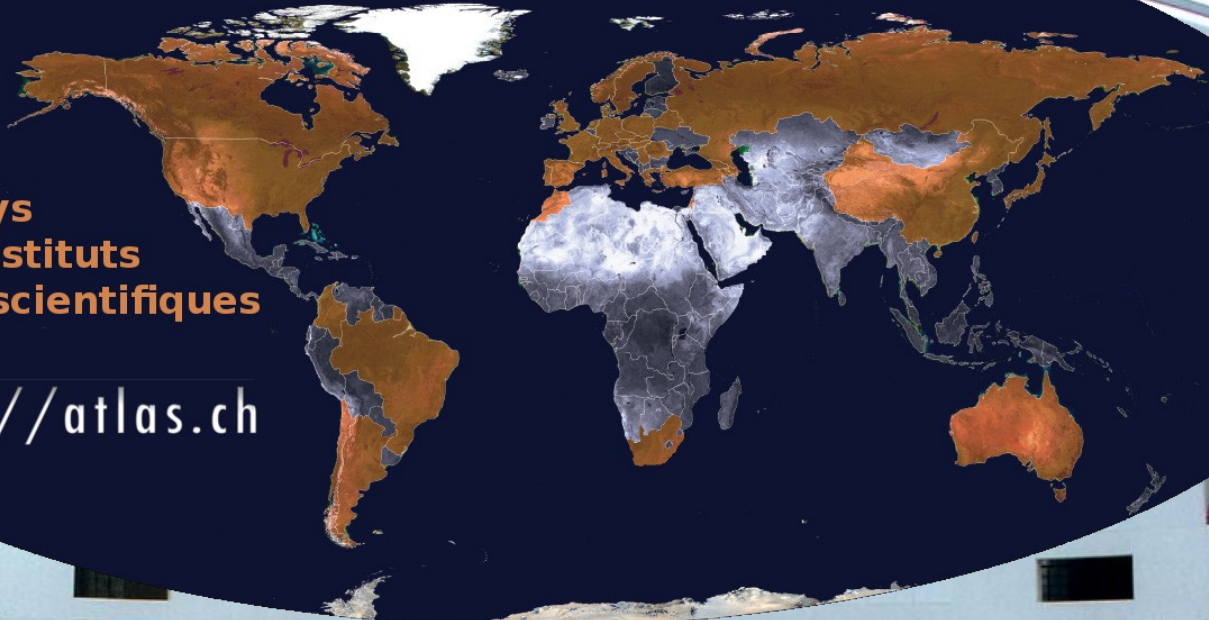


ATLAS  
EXPERIMENT

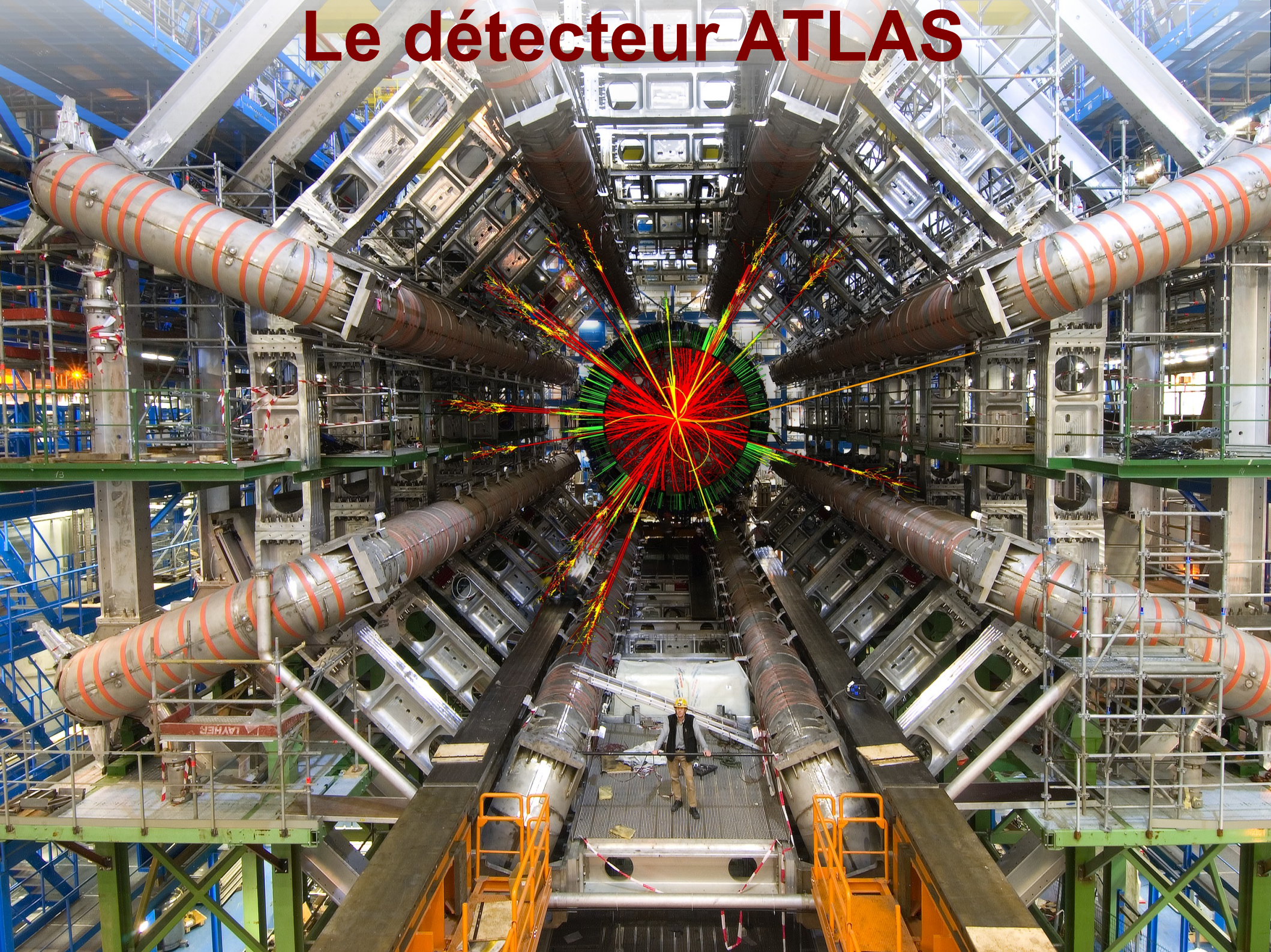
# La collaboration ATLAS

38 pays  
174 instituts  
3000 scientifiques

<http://atlas.ch>

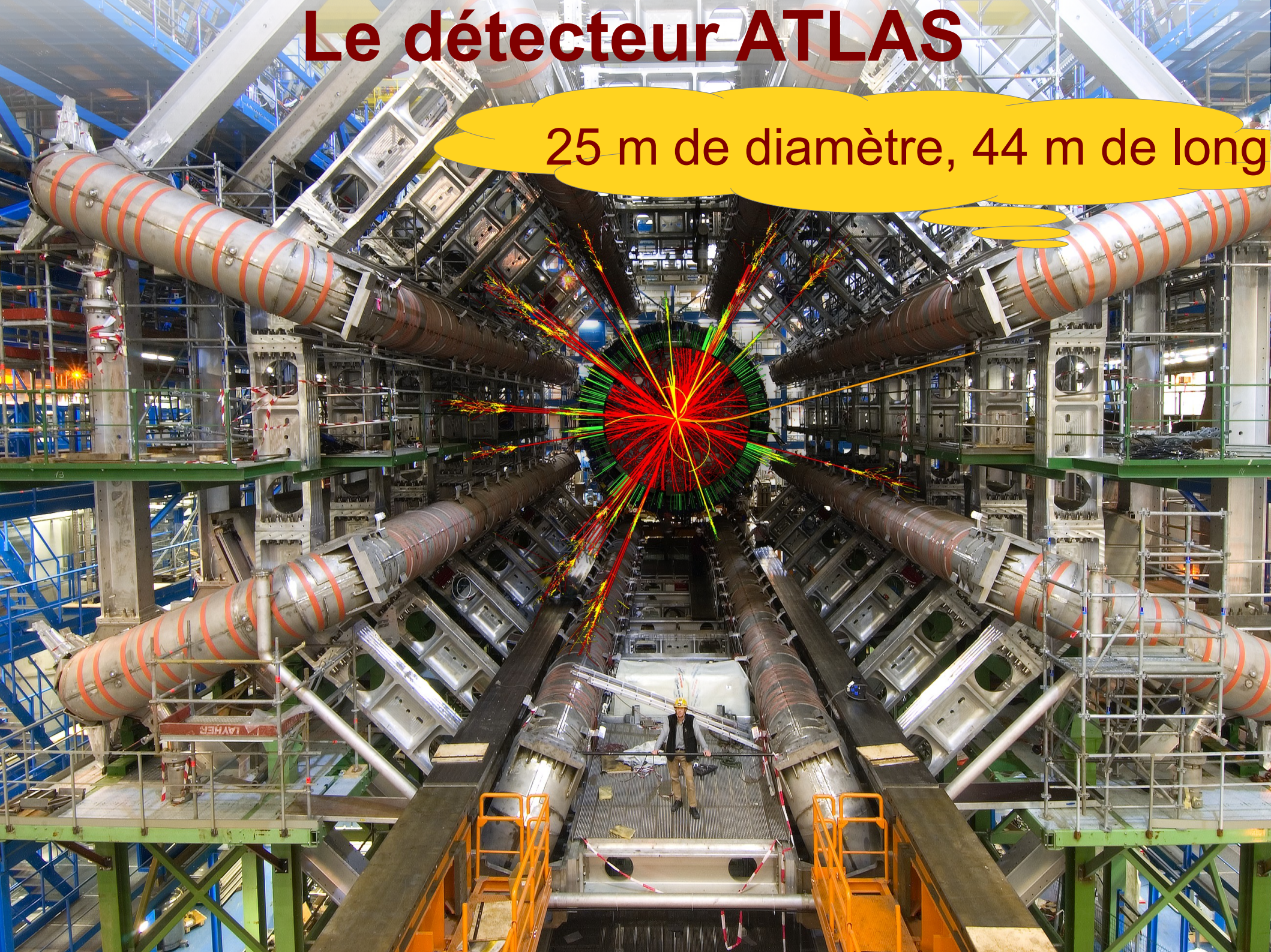


# Le détecteur ATLAS



# Le détecteur ATLAS

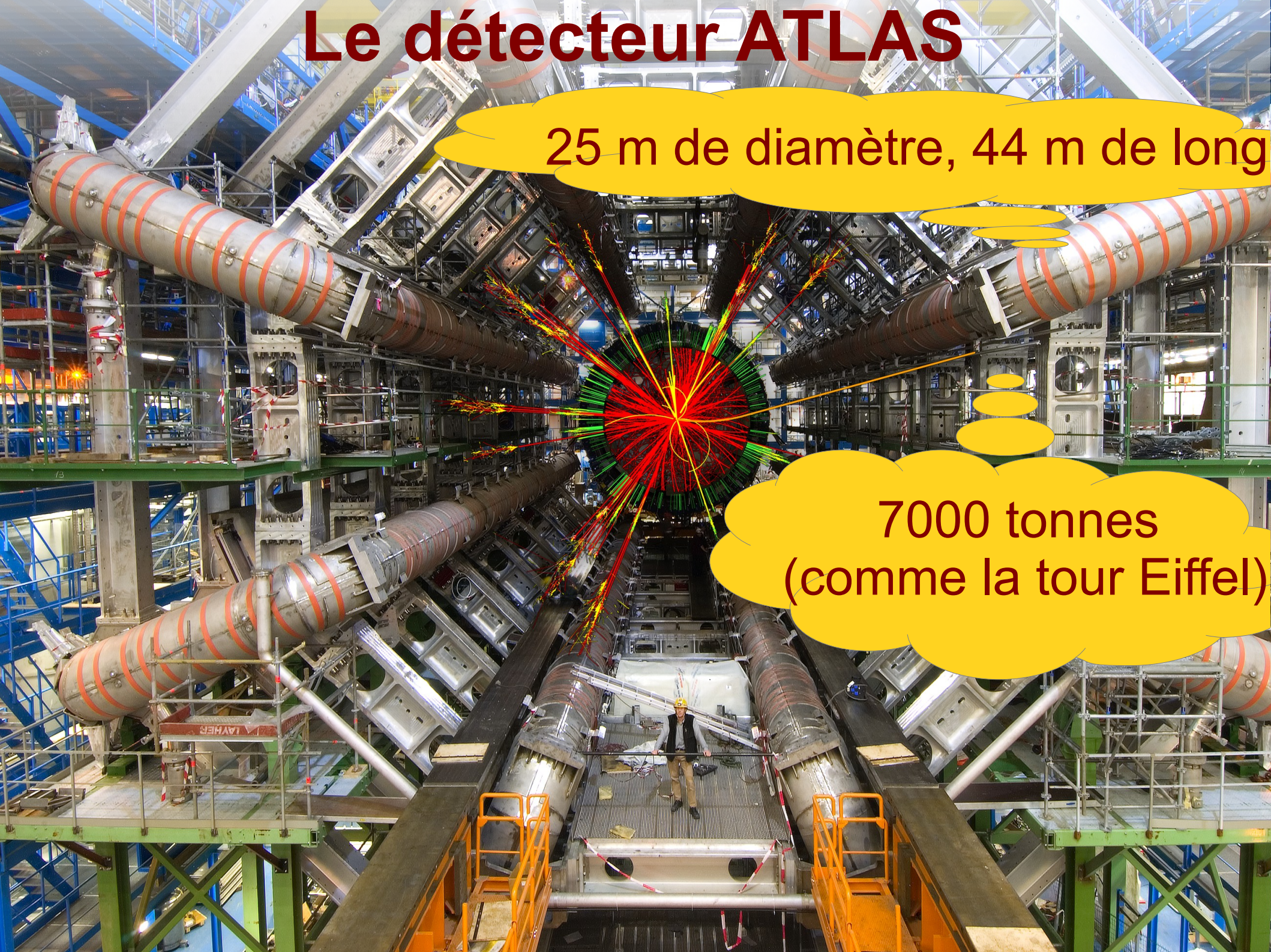
25 m de diamètre, 44 m de long



# Le détecteur ATLAS

25 m de diamètre, 44 m de long

7000 tonnes  
(comme la tour Eiffel)

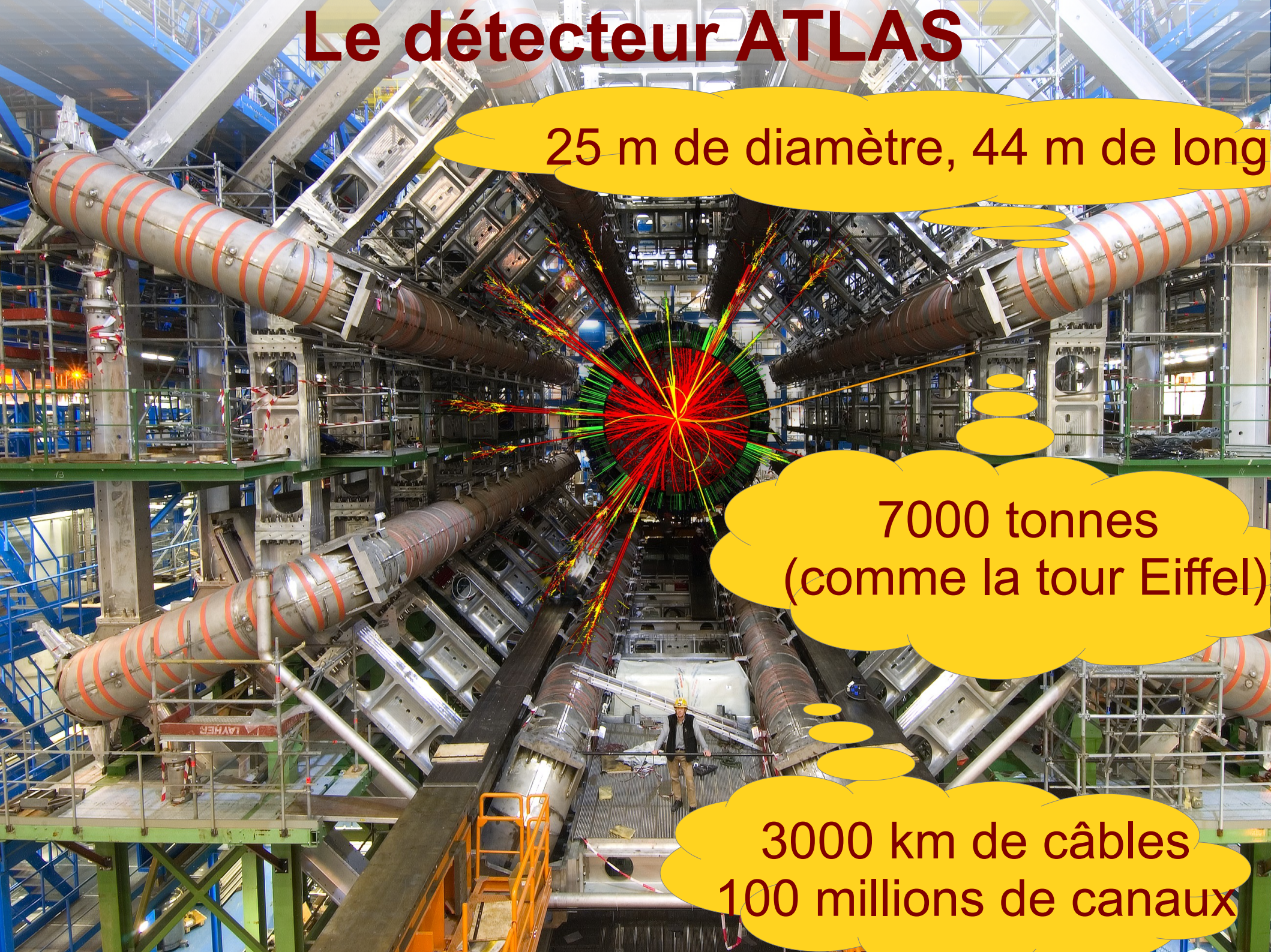


# Le détecteur ATLAS

25 m de diamètre, 44 m de long

7000 tonnes  
(comme la tour Eiffel)

3000 km de câbles  
100 millions de canaux





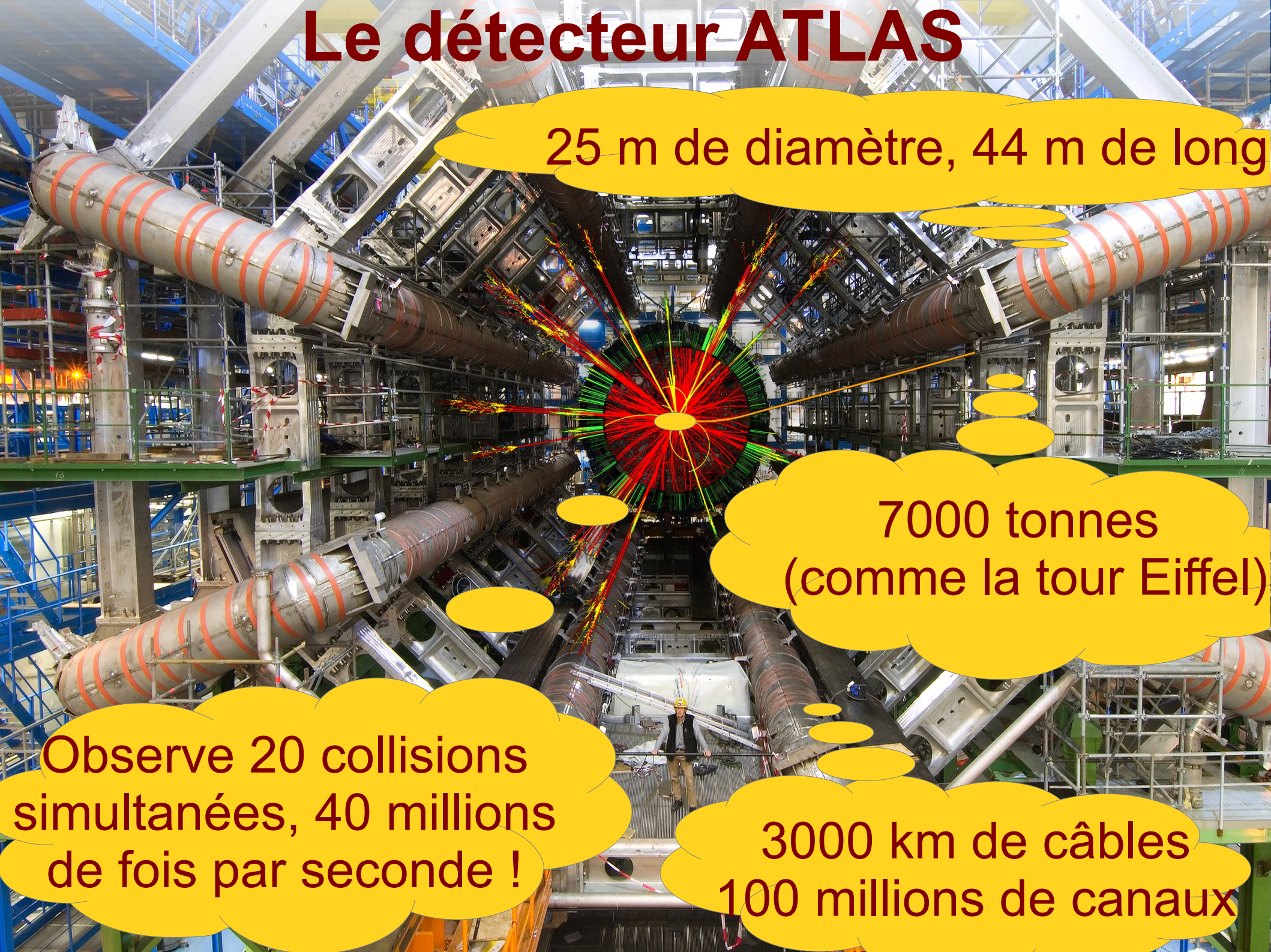
# Le détecteur ATLAS

25 m de diamètre, 44 m de long

7000 tonnes  
(comme la tour Eiffel)

Observe 20 collisions  
simultanées, 40 millions  
de fois par seconde !

3000 km de câbles  
100 millions de canaux



# Le détecteur ATLAS



25 m de diamètre, 44 m de long

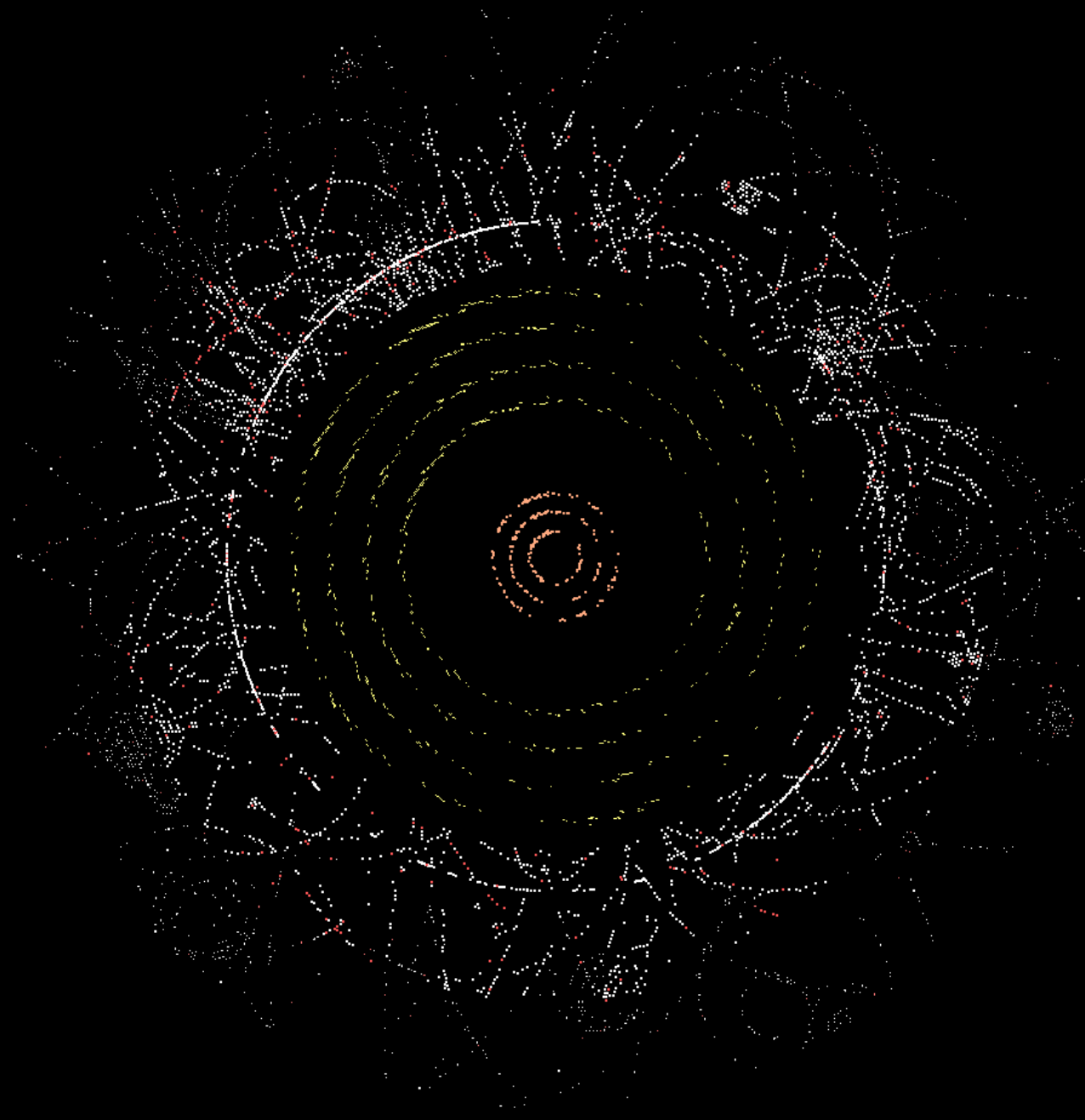
En France :  
6 laboratoires CNRS,  
1 CEA, 400 personnes  
(physiciens, ingénieurs,  
étudiants)

7000 tonnes  
(comme la tour Eiffel)

Observe 20 collisions  
simultanées, 40 millions  
de fois par seconde !

3000 km de câbles  
100 millions de canaux

# Passage des particules



# Reconstruction des trajectoires

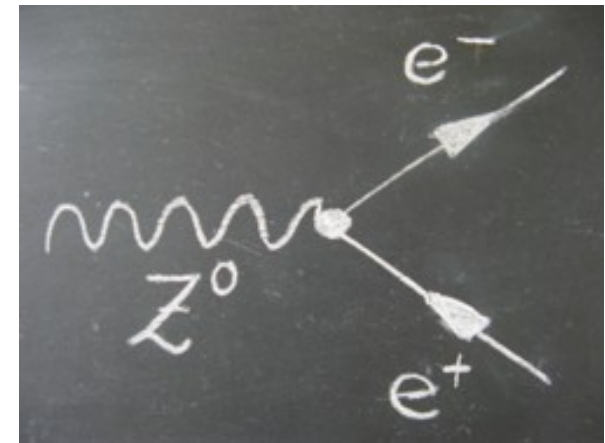
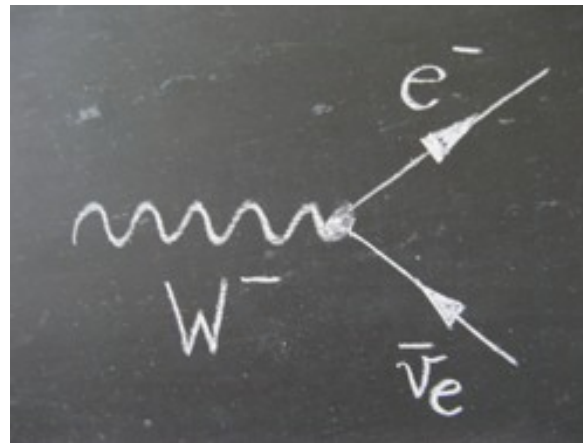
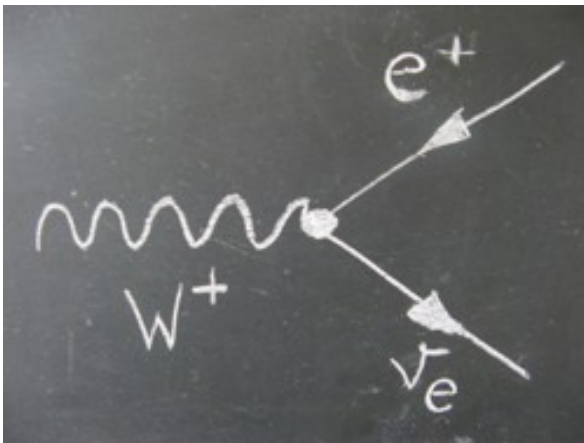


# Difficulté : le bruit de fond

- Signature similaire à ce que l'on cherche, mais venant d'une source différente
- Peut être un vrai processus qui fournit le même état final
- Ou bien dû au fait qu'une particule n'est pas vue dans le détecteur
  - par exemple s'échappe le long du faisceau
- Ou bien à une mauvaise reconstruction dans le détecteur
  - il y a un jet et je crois que c'est un électron
- Ou encore à la présence d'autres particules dans l'événement
  - chaque événement contient plusieurs collisions

# Exemple de signal et bruit de fond

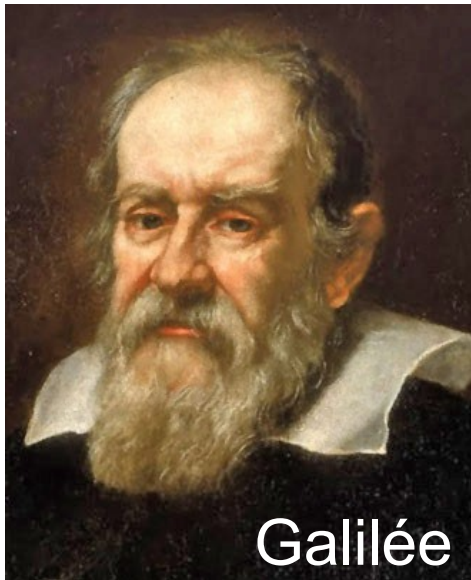
- Signal : désintégration de bosons  $W \rightarrow e\nu$
- Bruit de fond :  $Z \rightarrow ee$
- Un des  $e$  n'est pas reconstruit



- Si on cherche des événements  $Z$ , alors les  $W$  peuvent être un bruit de fond !



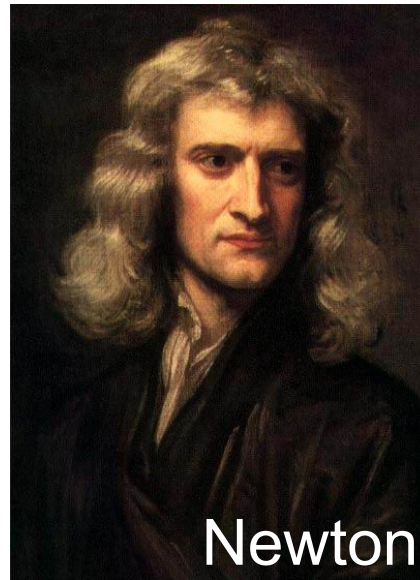
# La masse



Galilée

- Masse gravitationnelle

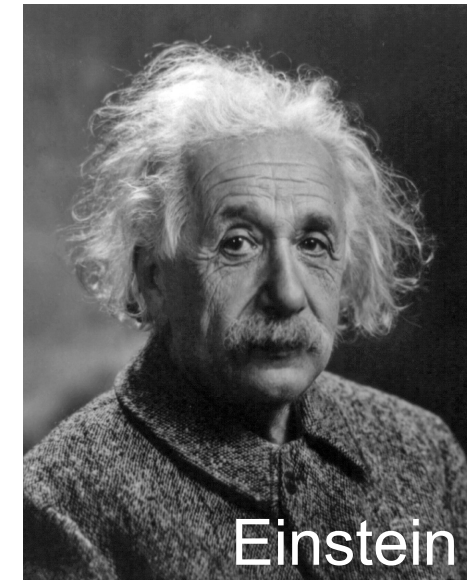
$$P = mg$$



Newton

- Masse inertielle

$$\Sigma F = ma$$



Einstein

- Équivalence masse/énergie

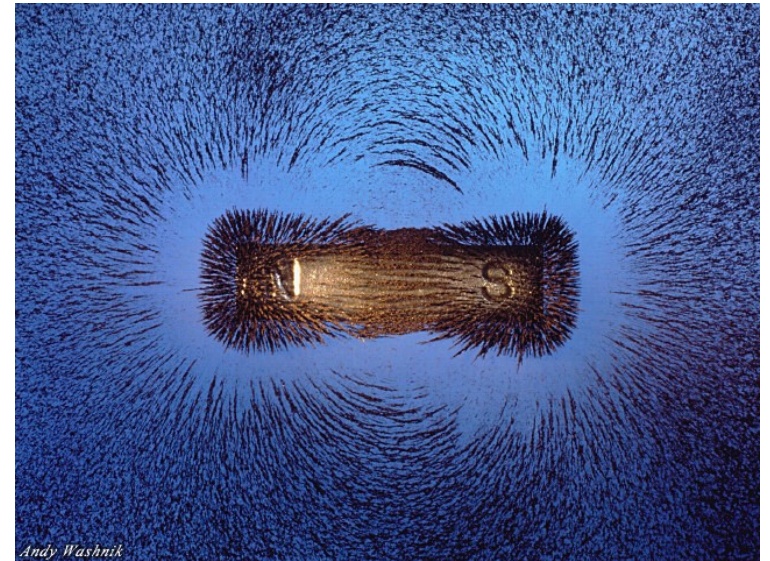
$$E = mc^2$$

- Diverses interprétations de la notion de masse, toutes équivalentes
- D'après la théorie les particules élémentaires ont une masse nulle
  - L'Univers tel que nous le connaissons n'existe pas...
  - Contraire à l'expérience, introduction d'un mécanisme pour générer la masse



# Notion de champ

- Ensemble des valeurs prises par une grandeur physique en tout point de l'espace
  - Champ orienté : vecteur
    - ▶ Champ magnétique



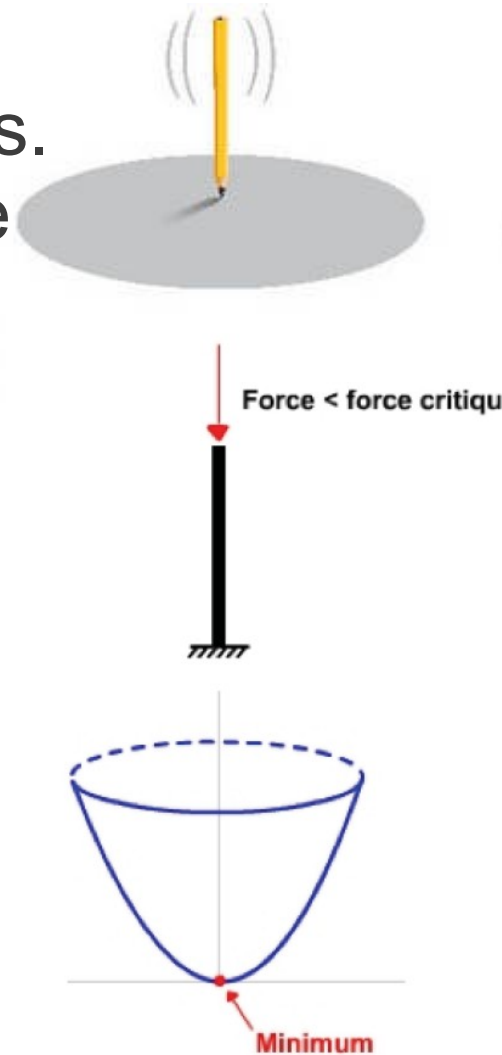
- Champ non-orienté : scalaire
  - ▶ Carte des températures
  - ▶ Champ de Higgs !

Bonus en théorie quantique des champs :  
particule associée (excitation du champ)

# Brisure spontanée de symétrie

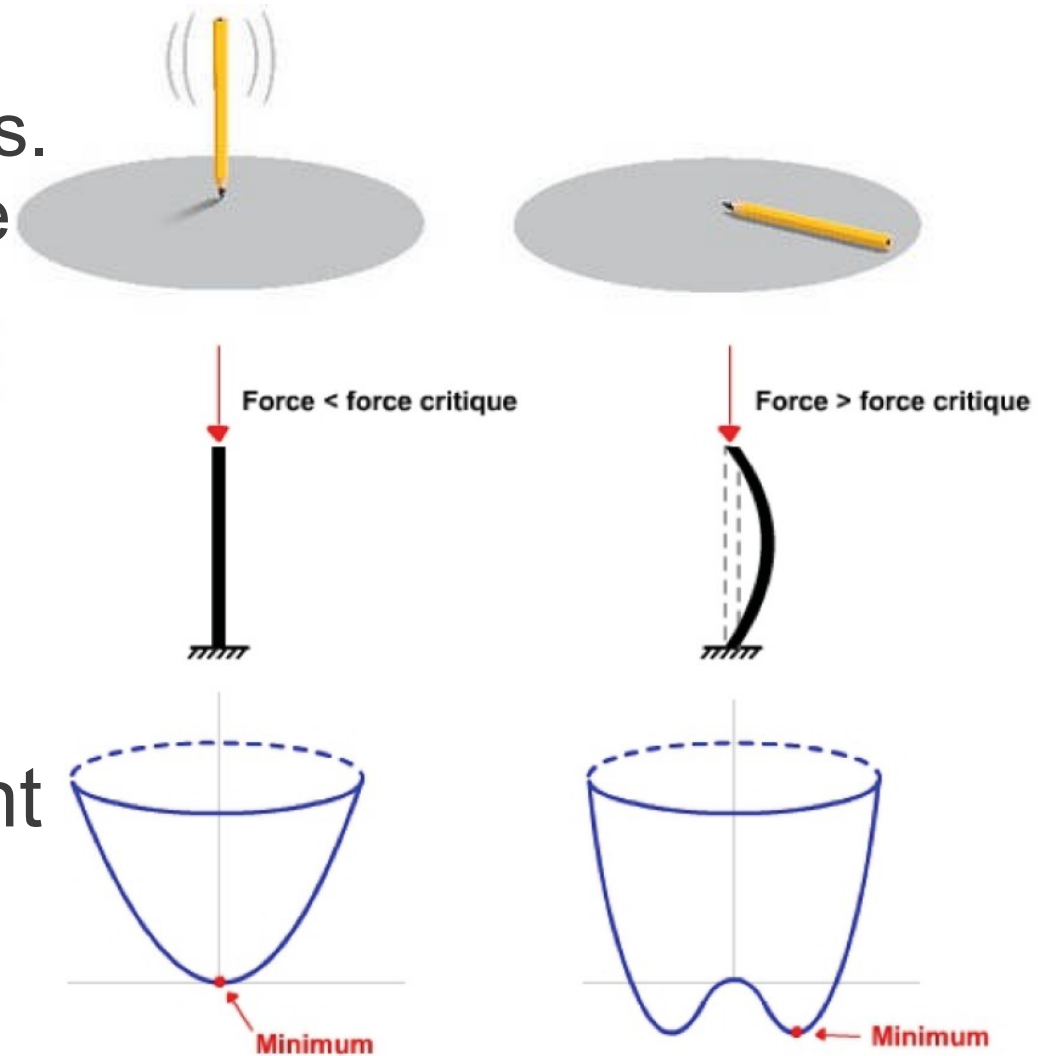
- Certains phénomènes physiques sont symétriques. Par exemple la symétrie de rotation :

- ▶ du crayon qui tourne sur lui-même
- ▶ d'une barre en compression



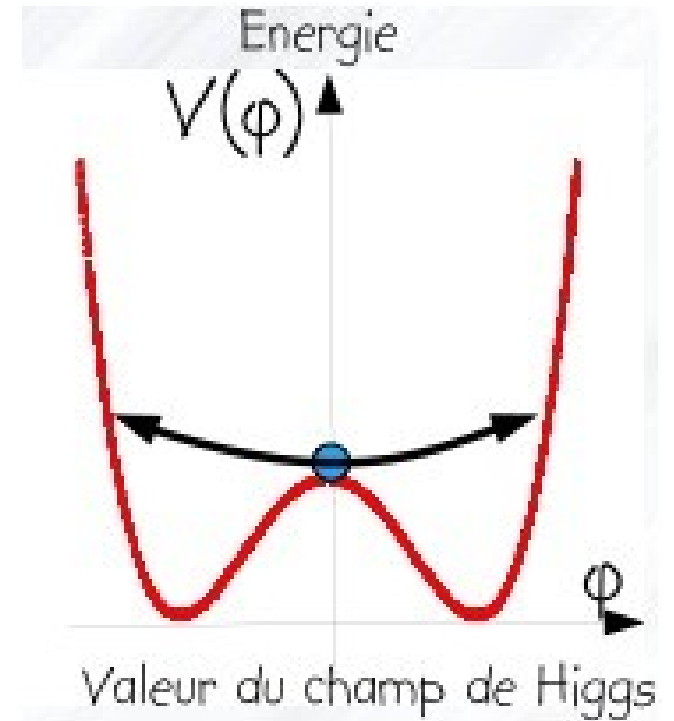
# Brisure spontanée de symétrie

- Certains phénomènes physiques sont symétriques. Par exemple la symétrie de rotation :
  - ▶ du crayon qui tourne sur lui-même
  - ▶ d'une barre en compression
- Les solutions ne respectent pas forcément les mêmes symétries :
  - ▶ chute du crayon
  - ▶ flambage de la barre dans une direction donnée



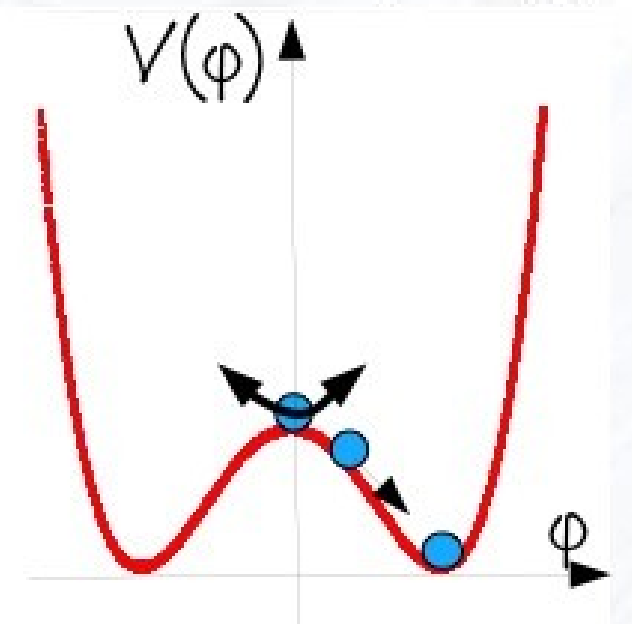
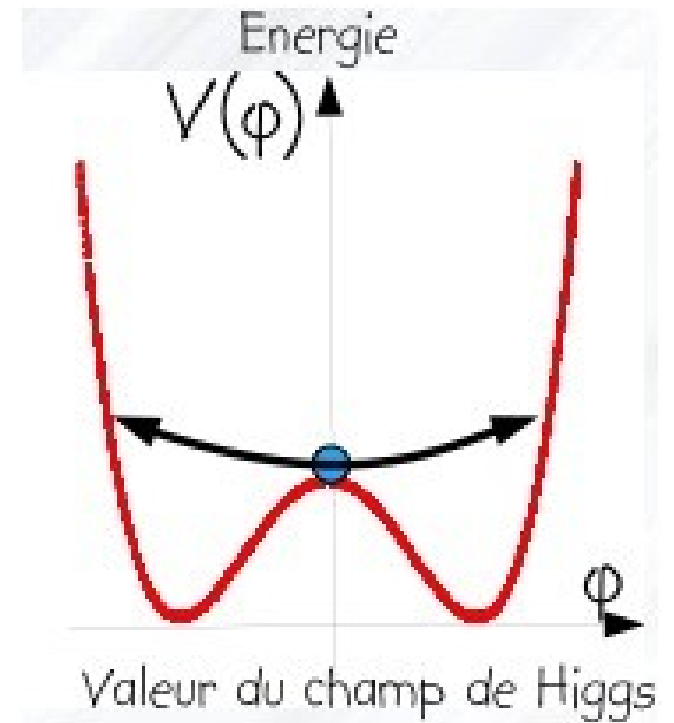
# Brisure de la symétrie électrofaible

- A haute température, juste après le Big Bang :
  - ▶ champ de Higgs nul dans l'état fondamental
  - ▶ les particules restent sans masse

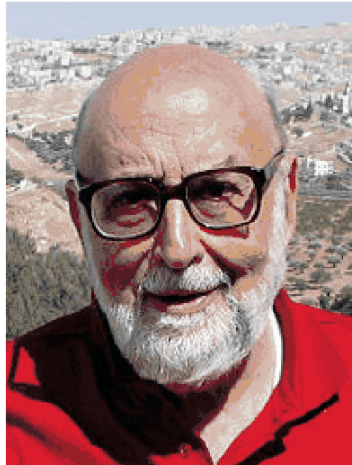


# Brisure de la symétrie électrofaible

- A haute température, juste après le Big Bang :
  - ▶ champ de Higgs nul dans l'état fondamental
  - ▶ les particules restent sans masse
- Réduction de la température ( $10^{-12}$  s après le Big Bang) :
  - ▶ brisure de symétrie
  - ▶ champ non nul
  - ▶ les particules élémentaires acquièrent une masse non nulle en interagissant avec le champ de Higgs



# 1964 : Le mécanisme de Higgs



## BROKEN SYMMETRY AND THE MASS OF GAUGE VECTOR MESONS\*

F. Englert and R. Brout

Faculté des Sciences, Université Libre de Bruxelles, Bruxelles, Belgium

(Received 26 June 1964)

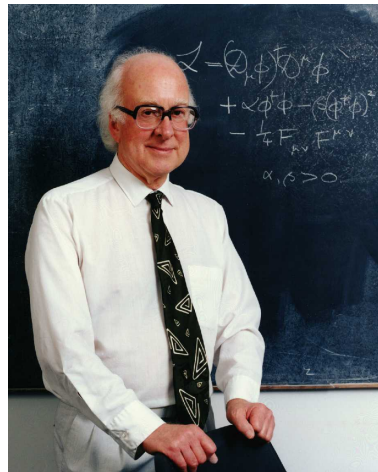
It is of interest to inquire whether gauge vector mesons acquire mass through interaction<sup>1</sup>; by a gauge vector meson we mean a Yang-Mills field<sup>2</sup> associated with the extension of a Lie group from global to local symmetry. The importance of this problem resides in the possibility that strong-interaction physics originates from massive gauge fields related to a system of conserved currents.<sup>3</sup> In this note, we shall show that in certain cases vector mesons do indeed acquire mass when the vacuum is degenerate with respect to a compact Lie group.

Theories with degenerate vacuum (broken symmetry) have been the subject of intensive study since their inception by Nambu.<sup>4-6</sup> A

those vector mesons which are coupled to currents that "rotate" the original vacuum are the ones which acquire mass [see Eq. (6)].

We shall then examine a particular model based on chirality invariance which may have a more fundamental significance. Here we begin with a chirality-invariant Lagrangian and introduce both vector and pseudovector gauge fields, thereby guaranteeing invariance under both local phase and local  $\gamma_5$ -phase transformations. In this model the gauge fields themselves may break the  $\gamma_5$  invariance leading to a mass for the original Fermi field. We shall show in this case that the pseudovector field acquires mass.

In the last paragraph we sketch a simple argument which renders these results reason-



VOLUME 13, NUMBER 16

PHYSICAL REVIEW LETTERS

19 OCTOBER 1964

## BROKEN SYMMETRIES AND THE MASSES OF GAUGE BOSONS

Peter W. Higgs

Tait Institute of Mathematical Physics, University of Edinburgh, Edinburgh, Scotland

(Received 31 August 1964)

In a recent note<sup>1</sup> it was shown that the Goldstone theorem,<sup>2</sup> that Lorentz-covariant field theories in which spontaneous breakdown of symmetry under an internal Lie group occurs contain zero-mass particles, fails if and only if the conserved currents associated with the internal group are coupled to gauge fields. The purpose of the present note is to report that, as a consequence of this coupling, the spin-one quanta of some of the gauge fields acquire mass; the longitudinal degrees of freedom of these particles (which would be absent if their mass were zero) go over into the Goldstone bosons when the coupling tends to zero. This phenomenon is just the relativistic analog of the plasmon phe-

about the "vacuum" solution  $\varphi_1(x) = 0$ ,  $\varphi_2(x) = \varphi_0$ :

$$\partial^\mu \{ \partial_\mu (\Delta\varphi_1) - e\varphi_0 A_\mu \} = 0, \quad (2a)$$

$$\{ \partial^2 - 4\varphi_0^2 V''(\varphi_0^2) \} (\Delta\varphi_2) = 0, \quad (2b)$$

$$\partial_\nu F^{\mu\nu} = e\varphi_0 \{ \partial^\mu (\Delta\varphi_1) - e\varphi_0 A_\mu \}. \quad (2c)$$

Equation (2b) describes waves whose quanta have (bare) mass  $2\varphi_0 \{ V''(\varphi_0^2) \}^{1/2}$ ; Eqs. (2a) and (2c) may be transformed, by the introduction of new variables

$$B_\mu = A_\mu - (e\varphi_0)^{-1} \partial_\mu (\Delta\varphi_1),$$

- Englert, Brout, Higgs, Guralnik, Hagen, Kibble publient à quelques mois d'intervalle
- Prédiction : existence du **champ de Higgs**, manifestation sous forme d'une nouvelle particule, le **boson de Higgs**

# Mécanisme de Higgs en images



Imaginons qu'une salle pleine de physiciens conversant calmement est comme l'espace occupé seulement par le champ de Higgs...

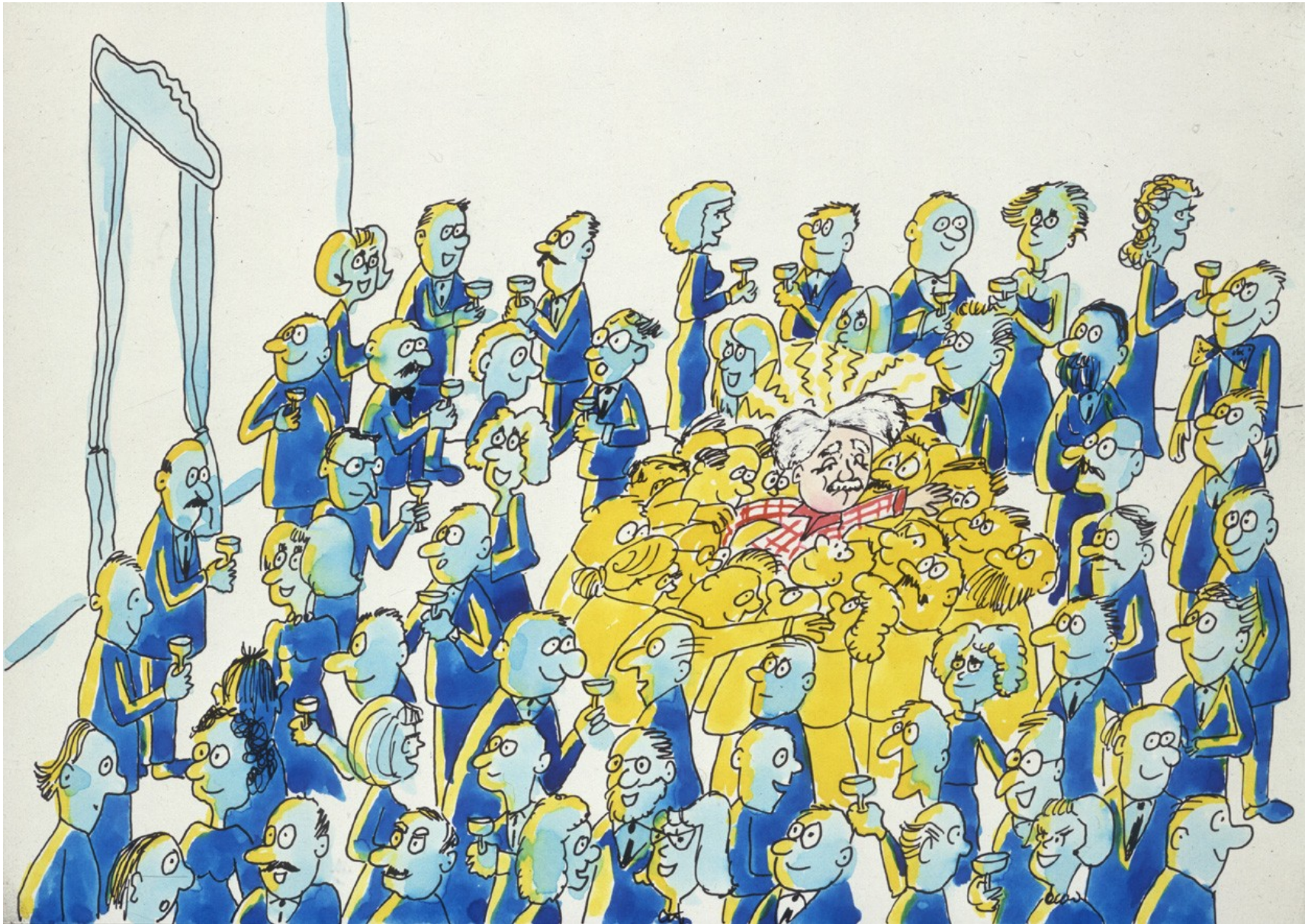
# Mécanisme de Higgs en images



... Albert Einstein entre, créant une perturbation sur son passage et attirant un essaim d'admirateurs à chaque pas ...



# Mécanisme de Higgs en images



ce qui accroît la résistance à son déplacement : il acquiert une masse, comme une particule se déplaçant dans un champ de Higgs

# Mécanisme de Higgs en images



... si une rumeur traverse la salle ...

# Mécanisme de Higgs en images



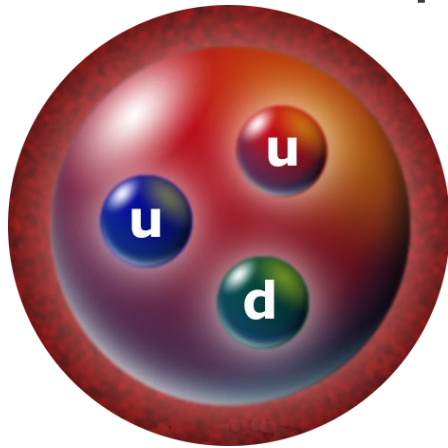
... elle donne naissance à un essaim de même type, composé cette fois des seuls physiciens. Cet essaim représente la particule de Higgs.

# Interactions avec le boson de Higgs



# La masse

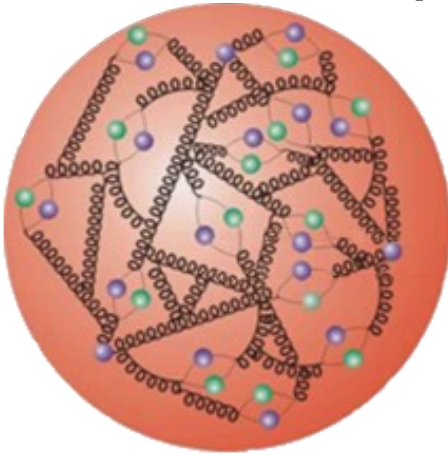
- Notre masse : celle de nos atomes
- Masse des atomes : presque uniquement celle des noyaux, faits de protons et neutrons de masse  $\sim 1$  GeV



- Proton, neutron : 3 quarks, masse  $\sim 10$  MeV

# La masse

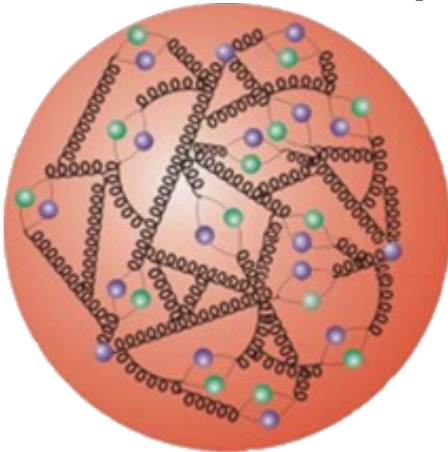
- Notre masse : celle de nos atomes
- Masse des atomes : presque uniquement celle des noyaux, faits de protons et neutrons de masse  $\sim 1$  GeV



- En réalité, plein de gluons, dont l'énergie donne 99% de leur masse au proton et au neutron ( $E=mc^2$ )

# La masse

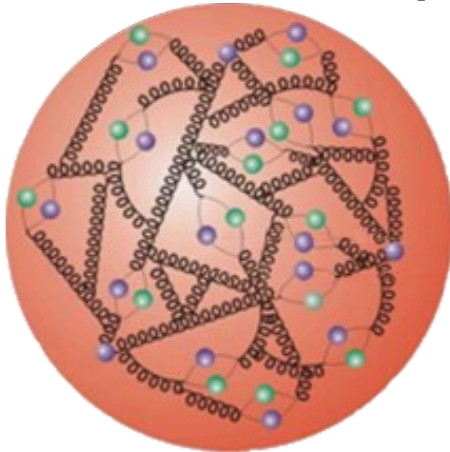
- Notre masse : celle de nos atomes
- Masse des atomes : presque uniquement celle des noyaux, faits de protons et neutrons de masse  $\sim 1$  GeV



- En réalité, plein de gluons, dont l'énergie donne 99% de leur masse au proton et au neutron ( $E=mc^2$ )
- Boson de Higgs : explique « seulement » la masse des particules élémentaires (quarks, électron [leptons], bosons Z et  $W^\pm$ ) et la sienne

# La masse

- Notre masse : celle de nos atomes
- Masse des atomes : presque uniquement celle des noyaux, faits de protons et neutrons de masse  $\sim 1$  GeV

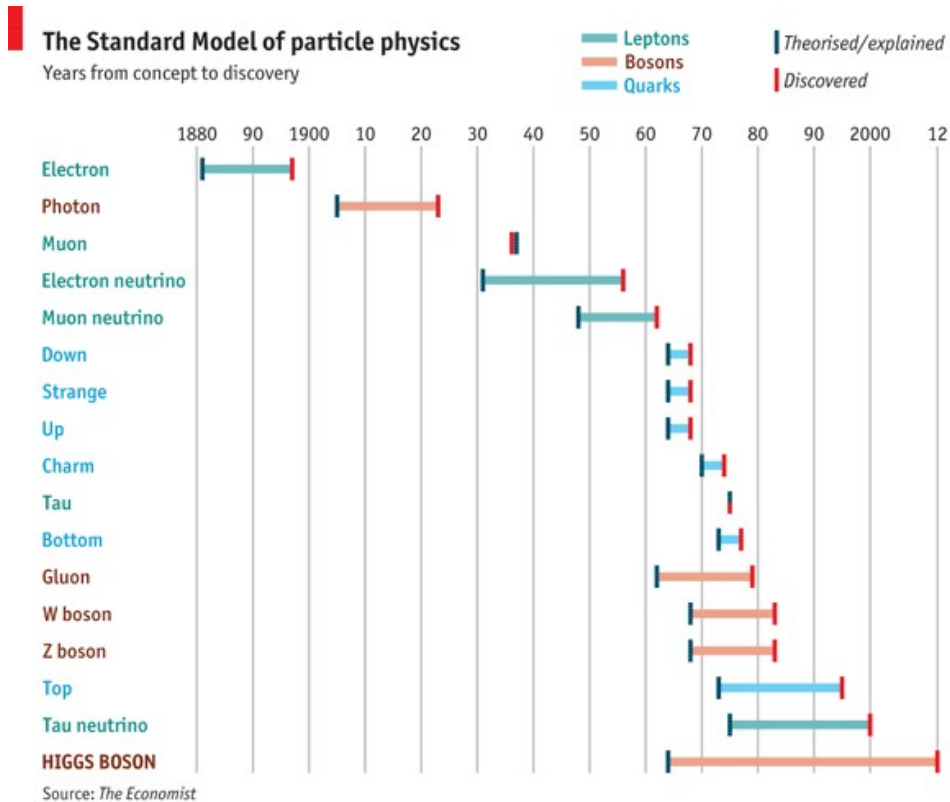


- En réalité, plein de gluons, dont l'énergie donne 99% de leur masse au proton et au neutron ( $E=mc^2$ )
- Boson de Higgs : explique « seulement » la masse des particules élémentaires (quarks, électron [leptons], bosons Z et  $W^\pm$ ) et la sienne
- Pas grand chose ? Sans lui, pas d'atomes, pas de chimie, pas de vie ou d'Univers tels que nous les connaissons...





# Une longue quête

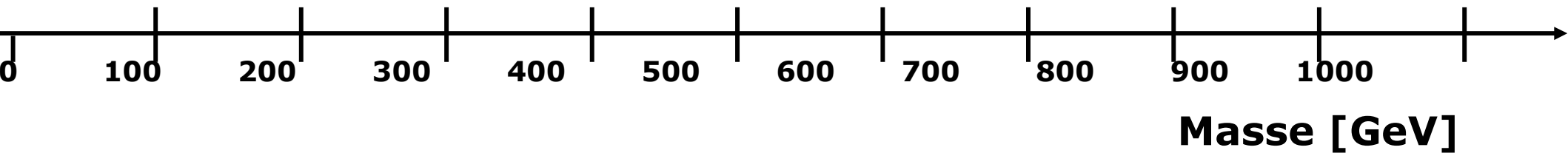


© The Economist

- Modèle standard : énorme succès, sauf que les particules n'ont pas de masse...
- Boson de Higgs : pièce essentielle pour accorder théorie et expérience
- 48 ans entre la prédiction théorique et la découverte expérimentale !
- Pourquoi ? La théorie prédit tout sur le boson de Higgs, sauf sa masse ! Il faut donc chercher partout...

# La chasse au boson de Higgs

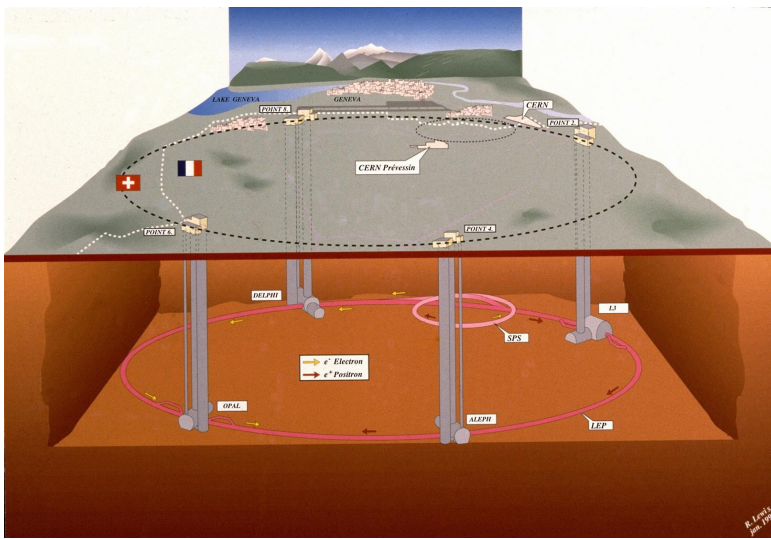
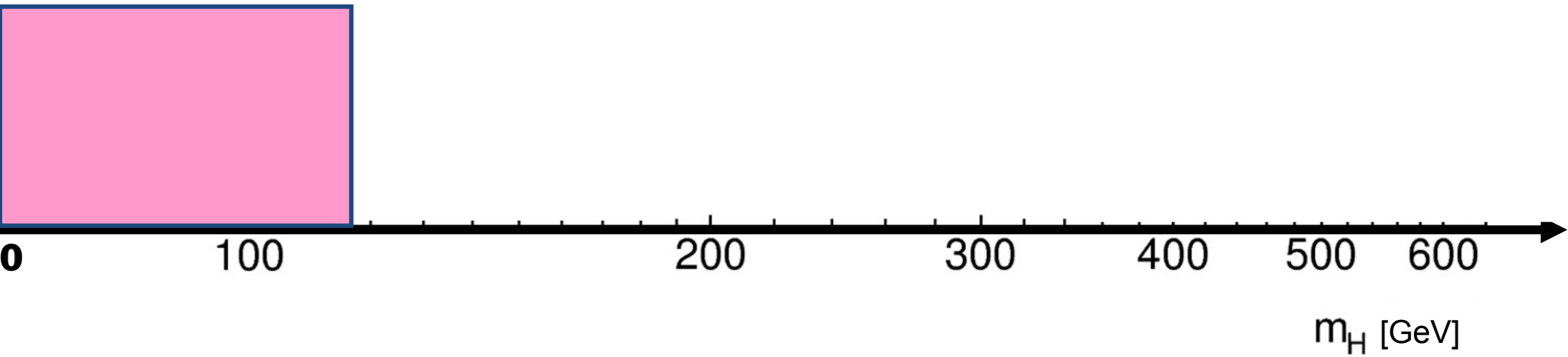
?



- Seule contrainte théorique : masse  $< 1000$  GeV

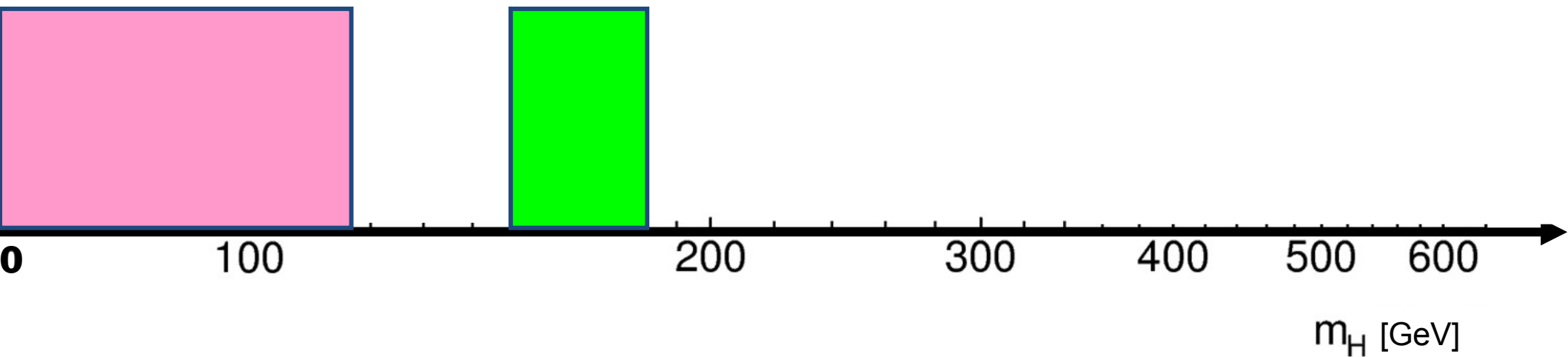
# La chasse au boson de Higgs

LEP  
1989-2000



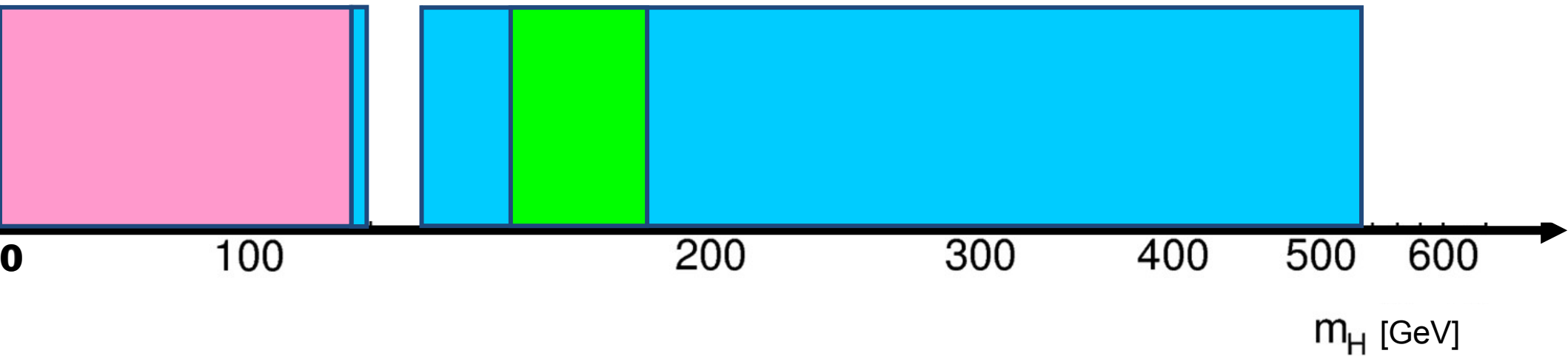
# La chasse au boson de Higgs

Tevatron  
1983-2011

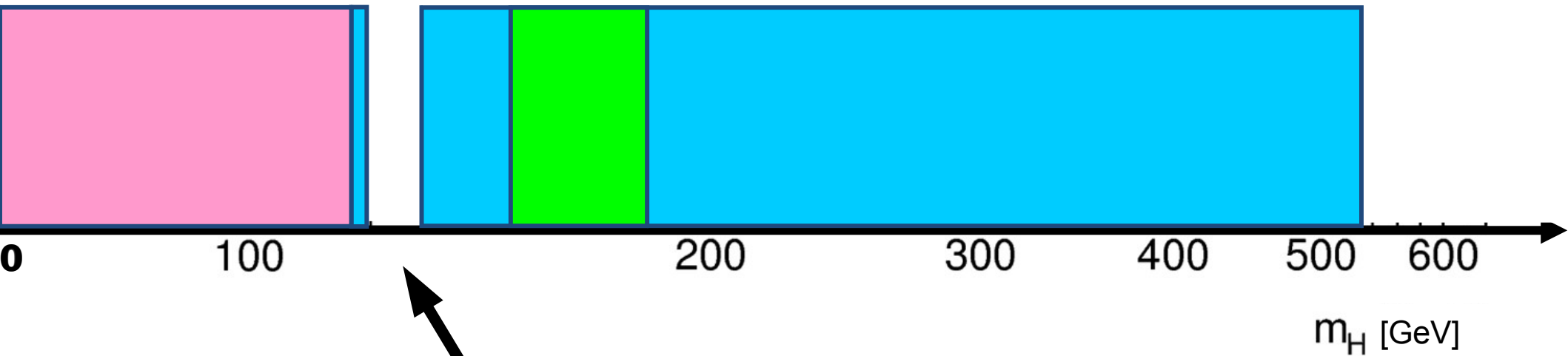


# La chasse au boson de Higgs

LHC  
2009-2011



# La chasse au boson de Higgs



?

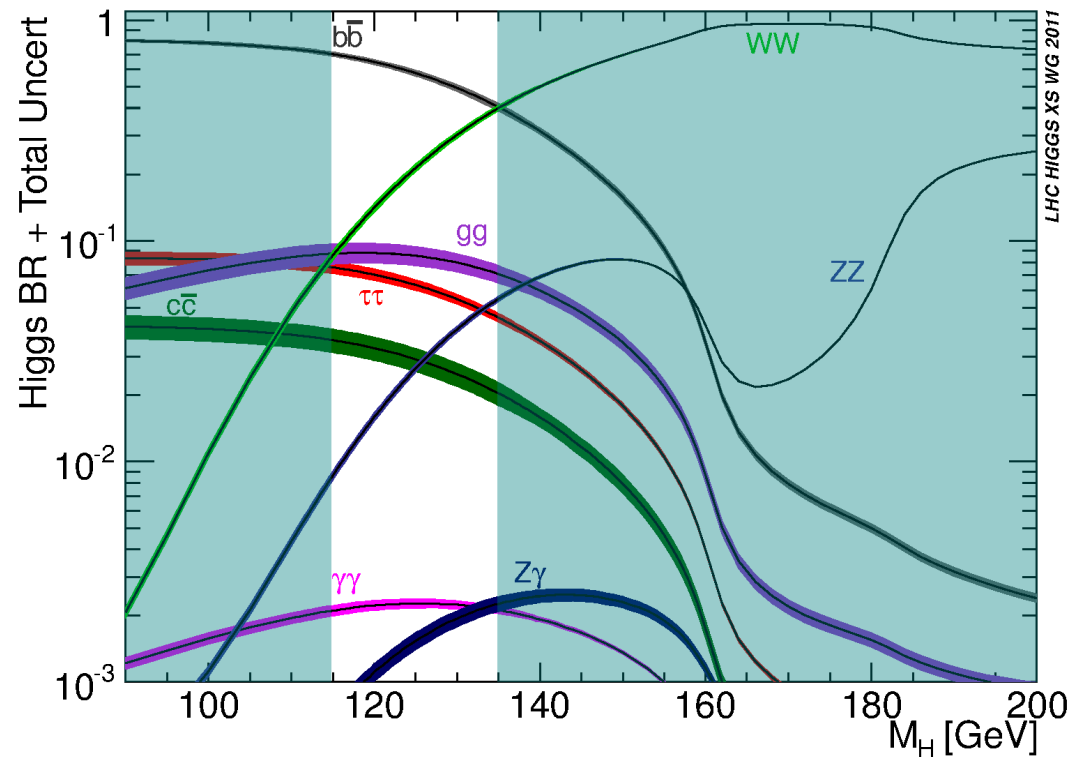


# Comment s'y prend-on ?

- Collision de protons  $\rightarrow (E = mc^2) \rightarrow$  création d'un boson de Higgs, une fois sur 10 milliards

- Ensuite il se désintègre, différemment suivant sa masse. Exemple à 126 GeV :

- ▶ 56 fois sur 100 en  $b\bar{b}$
- ▶ 3 fois sur 100 en  $ZZ$
- ▶ 2 fois sur 1000 en  $\gamma\gamma$



- Note : le plus fréquent n'est pas forcément le plus facile à observer



# Encore plus dur qu'une aiguille dans une botte de foin

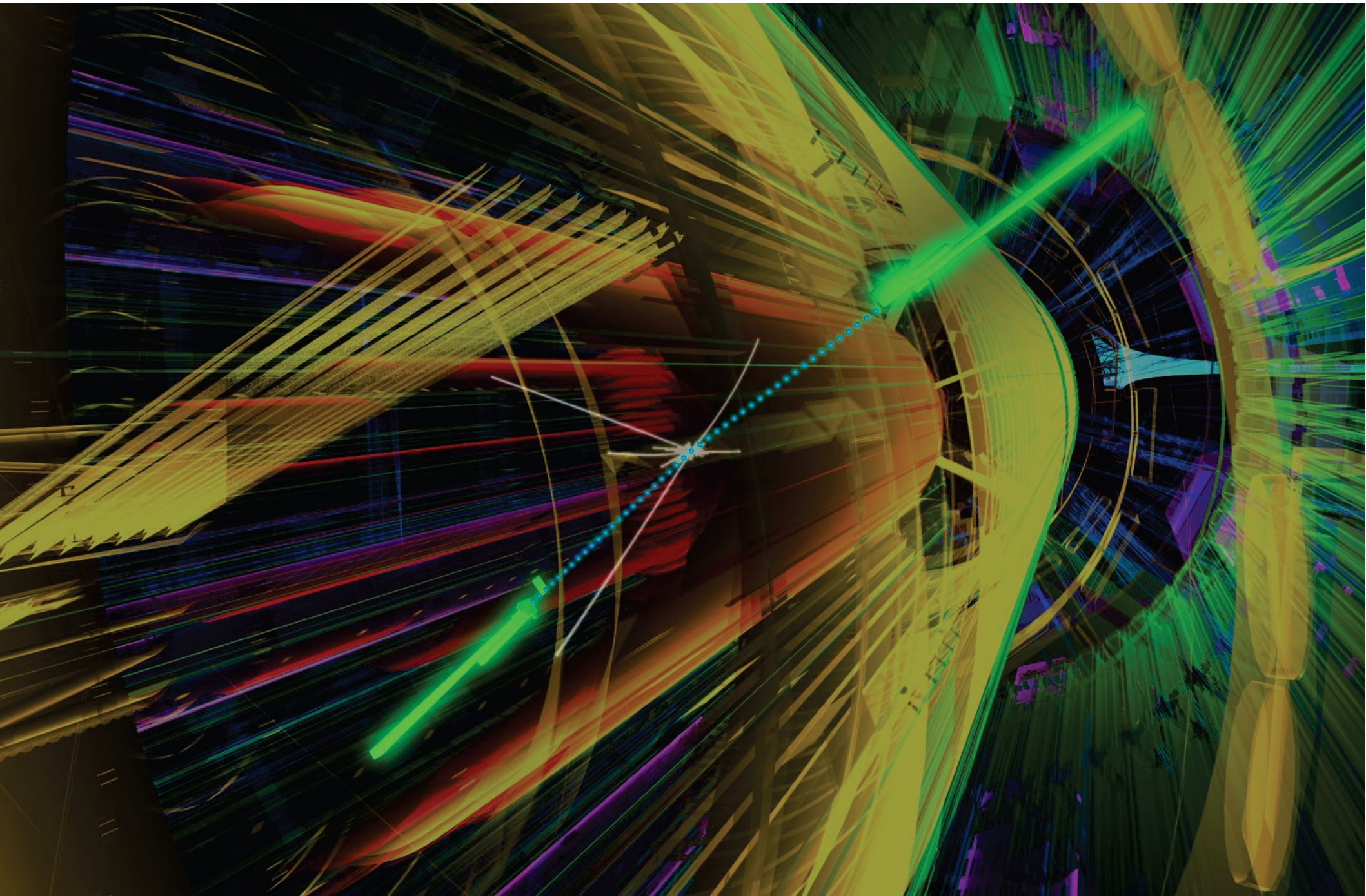
- Le boson de Higgs n'est pas produit très souvent, il faut donc analyser énormément de collisions
- La trace de sa désintégration dans le détecteur peut être imitée par d'autres processus, c'est le bruit de fond



# Boson de Higgs dans ATLAS



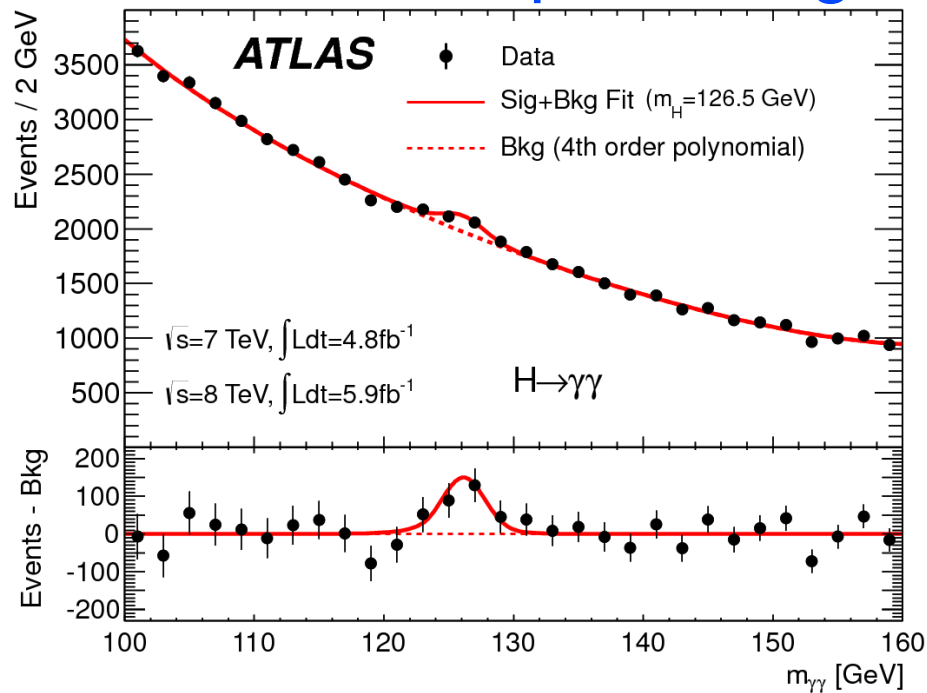
# Candidat $H \rightarrow \gamma\gamma$



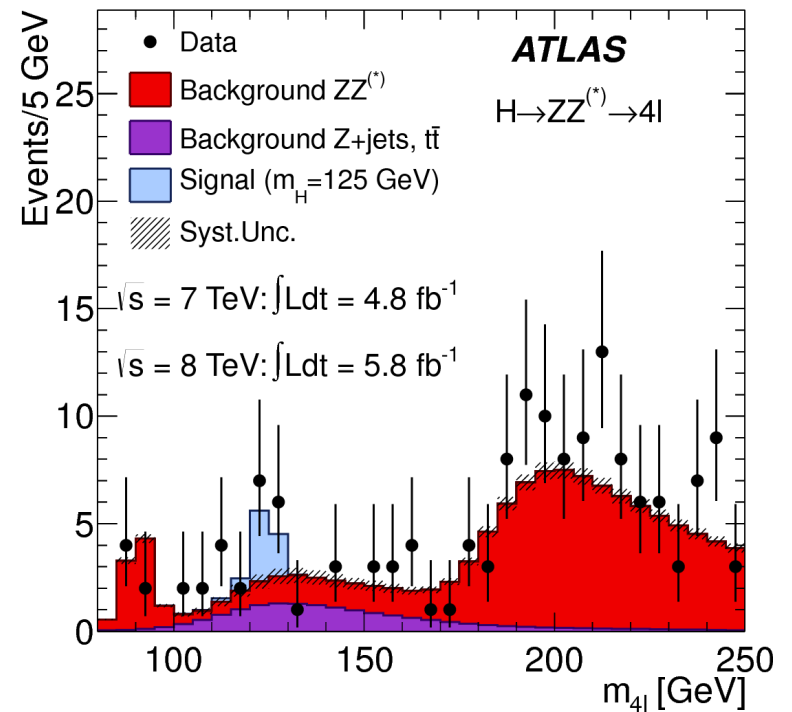


# Mesure

- Higgs en 2 photons
  - ▶ Bruit de fond important
  - ▶ Petit pic avec « beaucoup » de signal

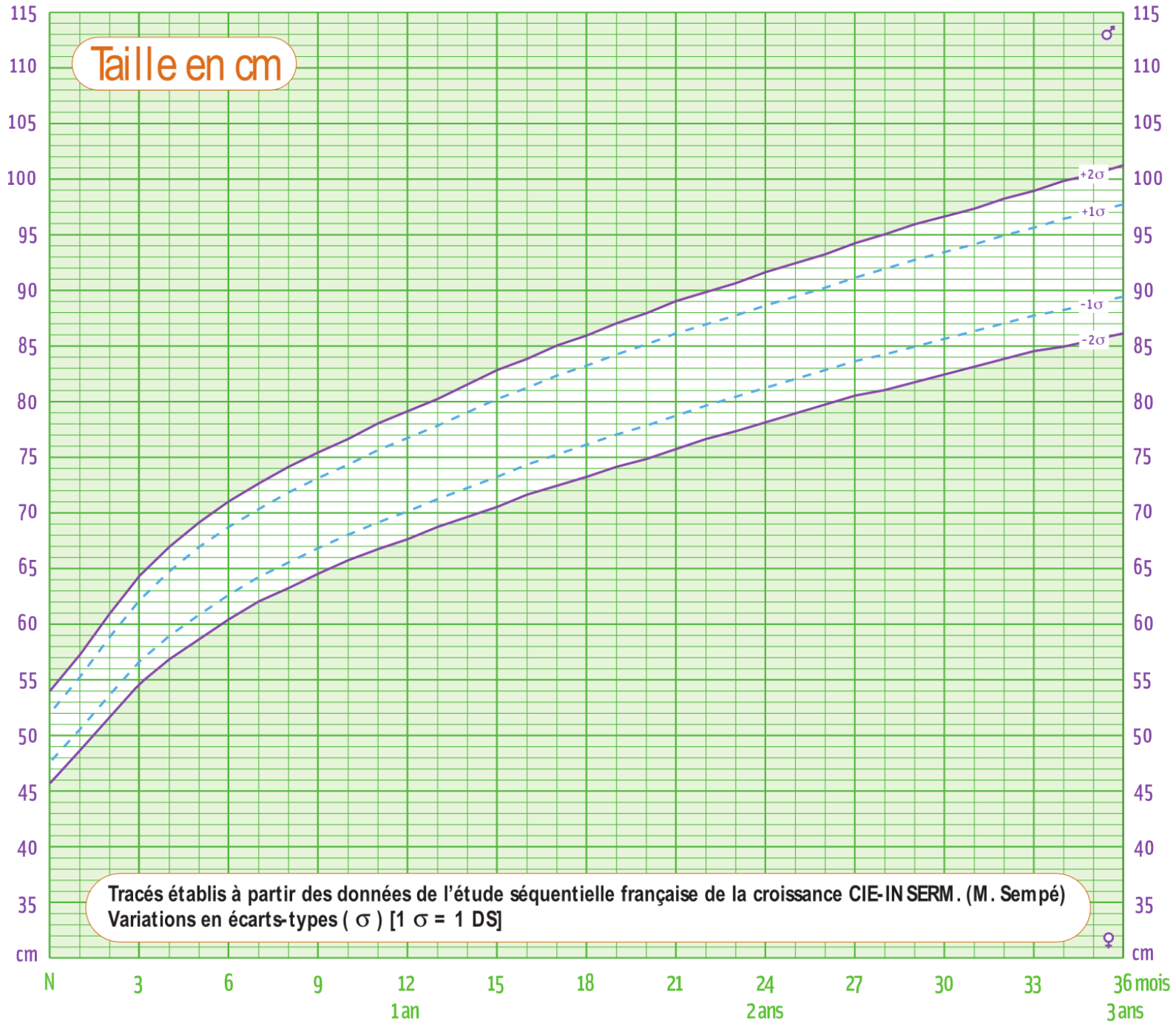


- Higgs en ZZ
  - ▶ Très peu de bruit de fond
  - ▶ Très peu d'événements

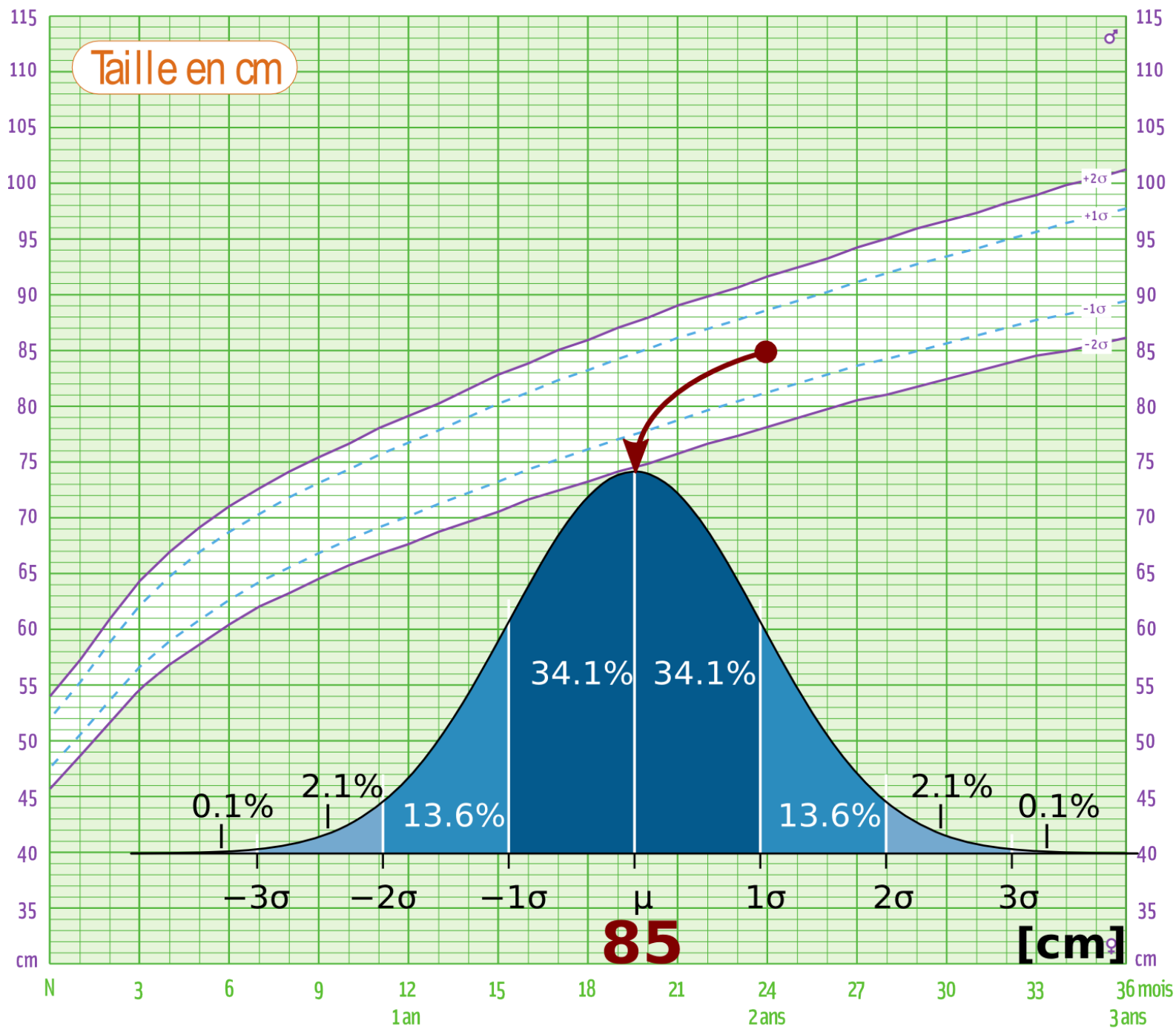


- Est-ce que cela est significatif ?
- Outils statistiques pour répondre

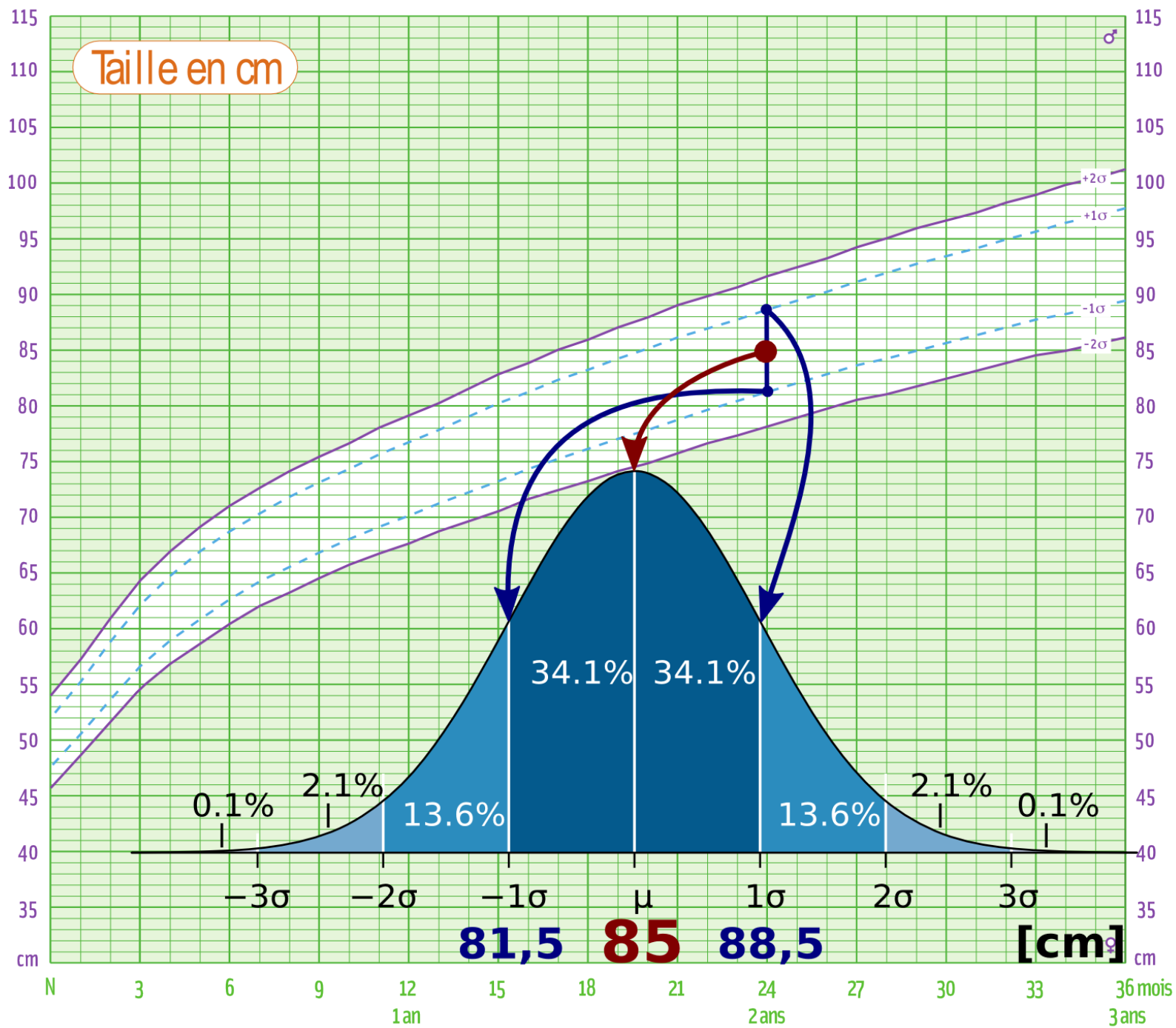
# La Gaussienne



# La Gaussienne

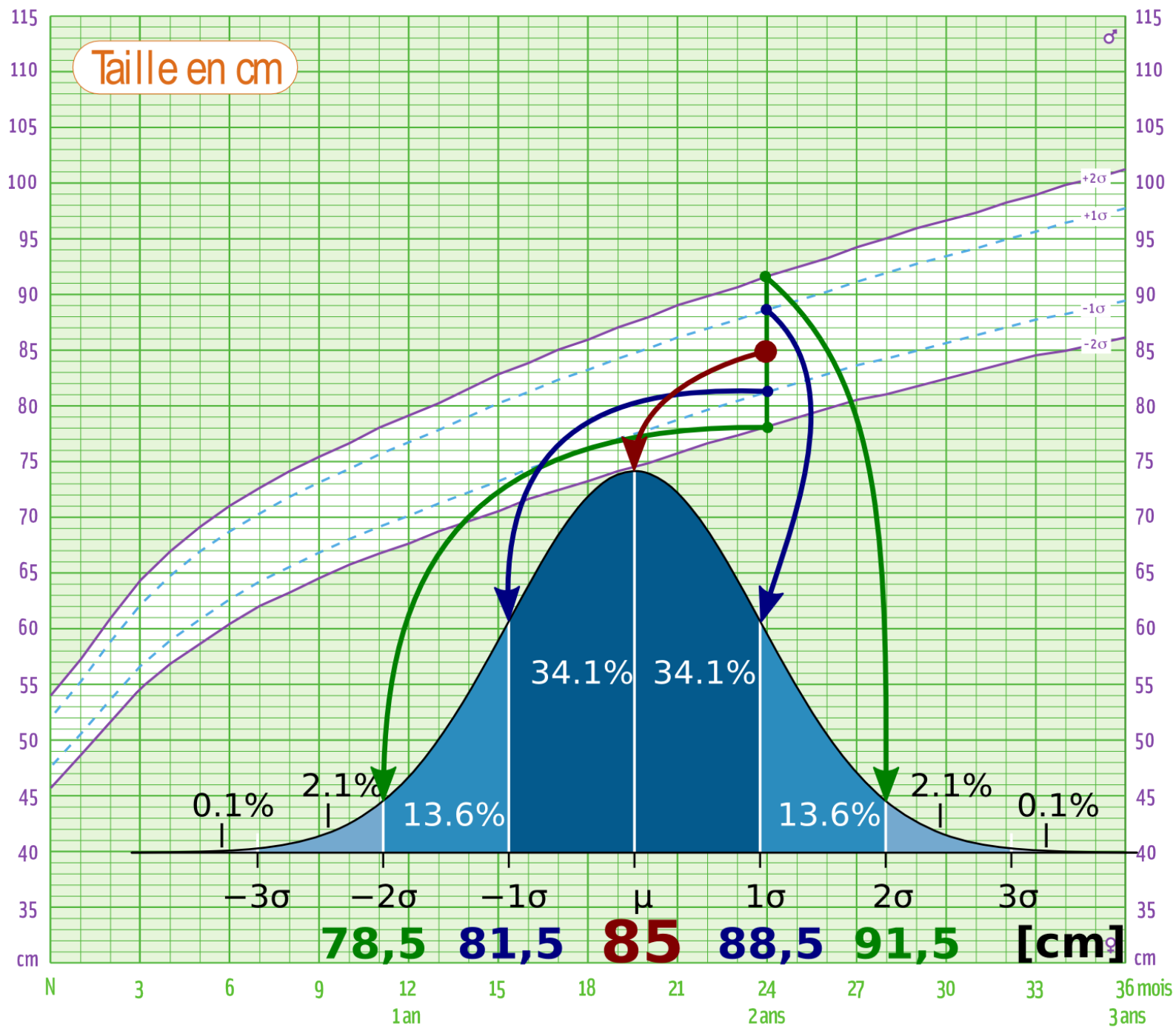


# La Gaussienne





# La Gaussienne

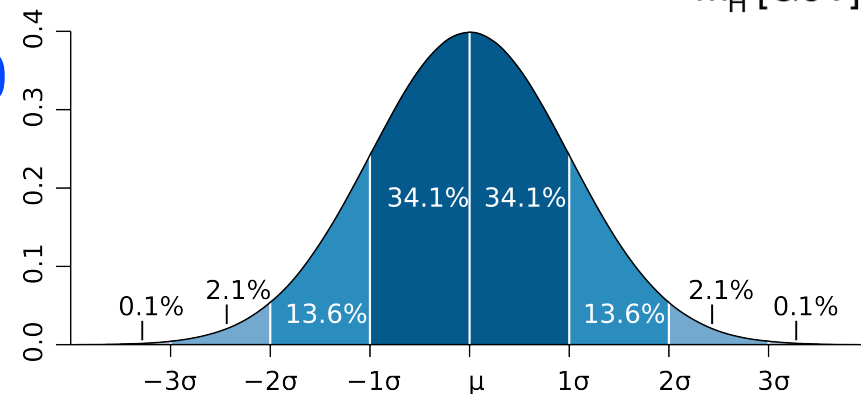
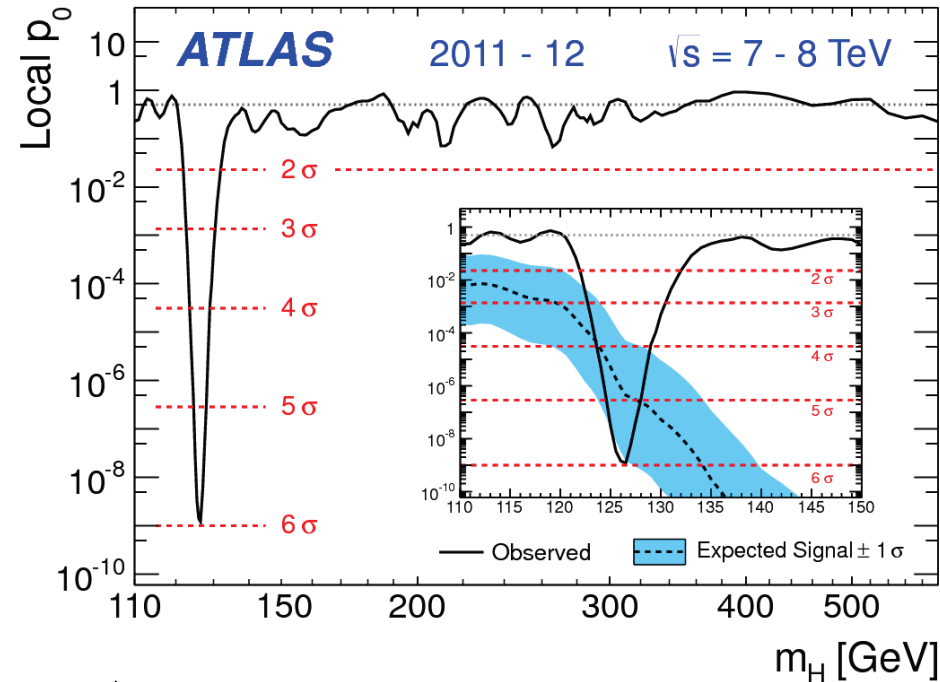


# Significance statistique

- $p_0$  : mesure la probabilité que des événements du bruit de fond produisent quelque chose qui ressemble autant au signal recherché
- Quantifié en nombre de déviations standard :

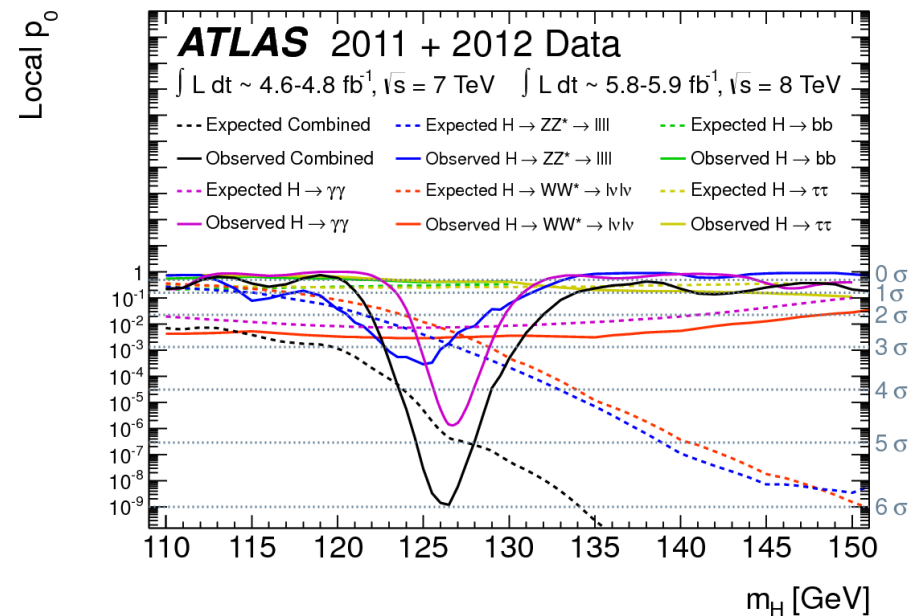
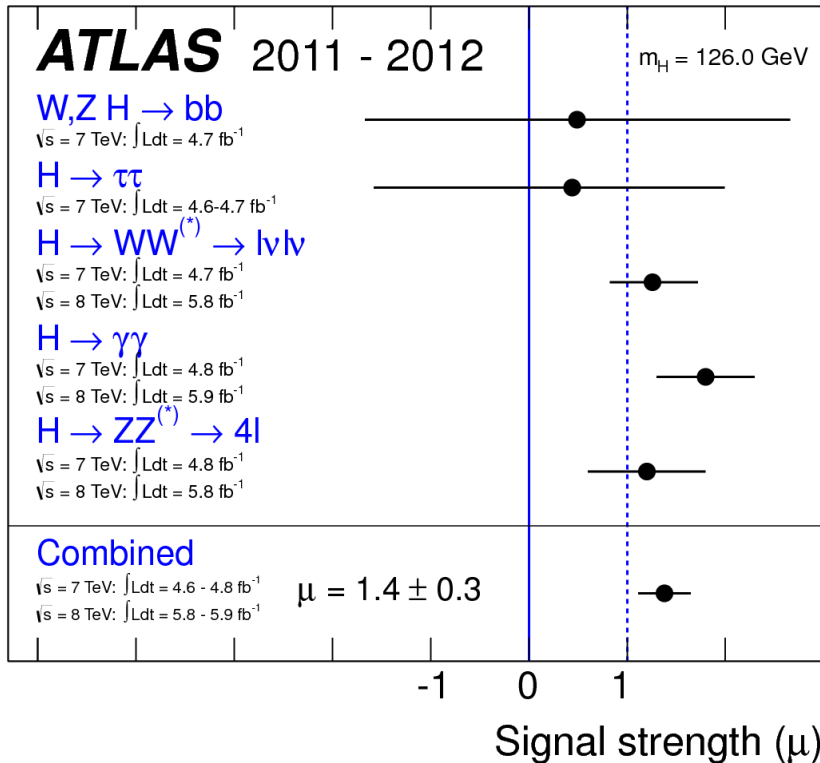
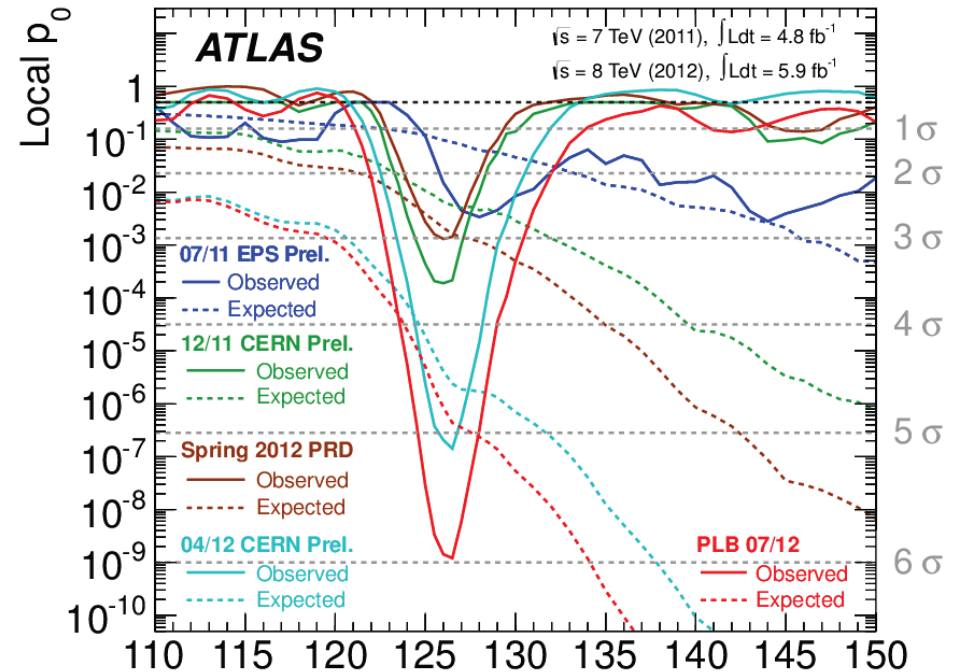
- ▶  $1\sigma$  : 1 chance sur 3
- ▶  $3\sigma$  (évidence) : 3 chances sur 1000
- ▶  $5\sigma$  (observation) : 1 chance sur 2 millions
- ▶  $5,9\sigma$  : 3 chances sur 1 milliard

- Donc nous sommes sûrs d'avoir trouvé quelque chose



# Est-ce consistant ?

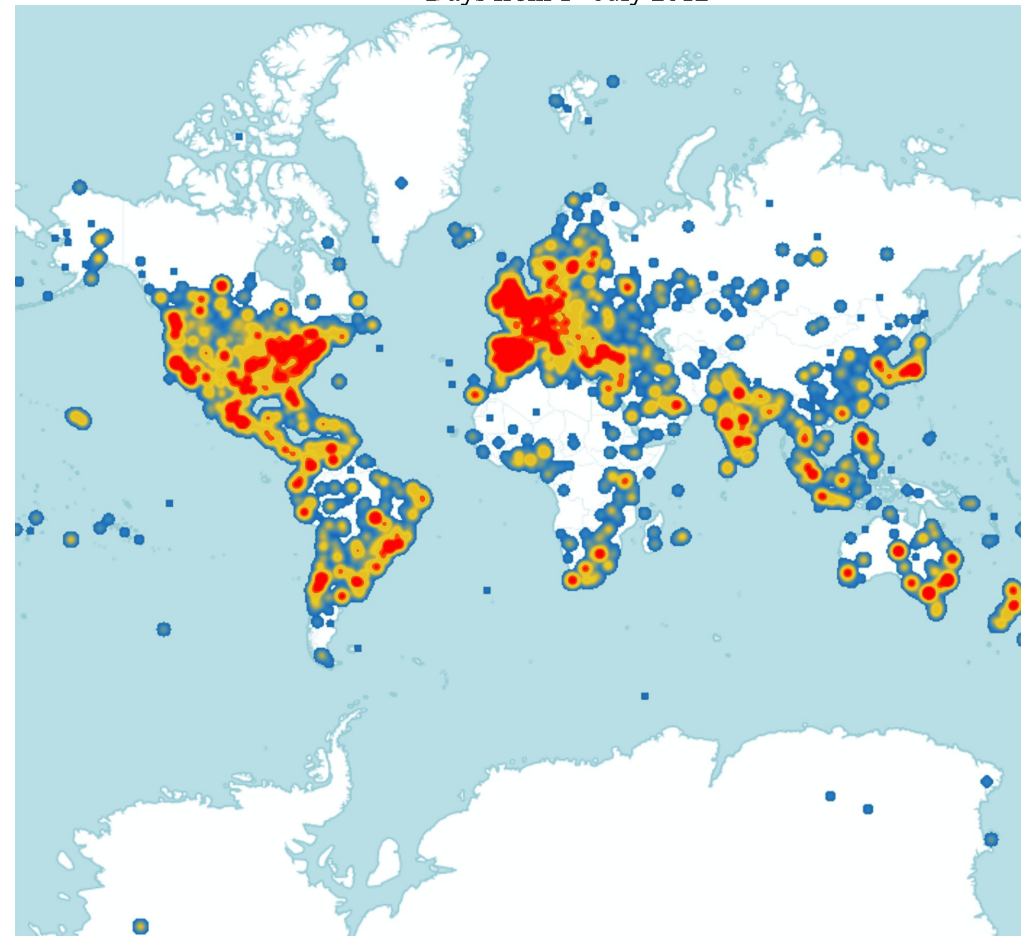
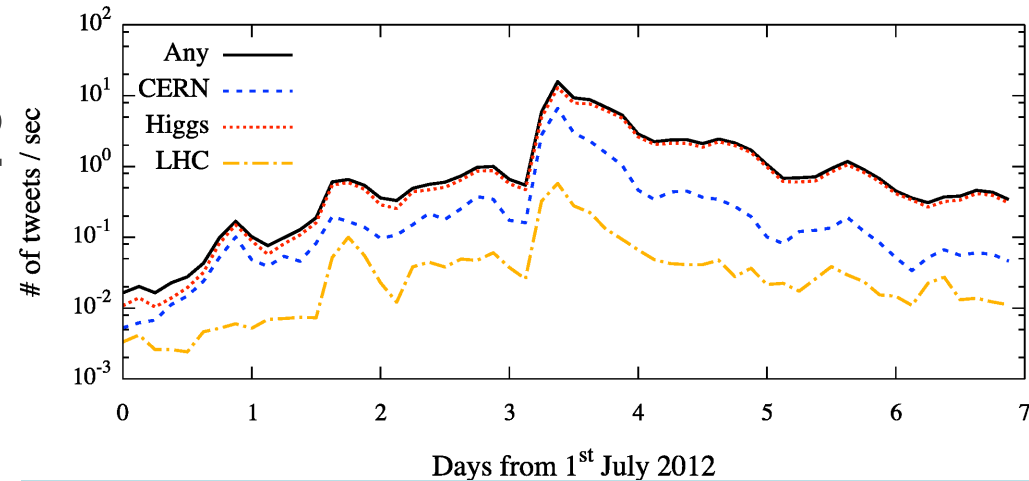
- Evolution dans le temps
- Mesure dans les différents canaux de désintégration, qui dépendent de différentes parties du détecteur
- ATLAS et CMS voient la même chose



# Résultats

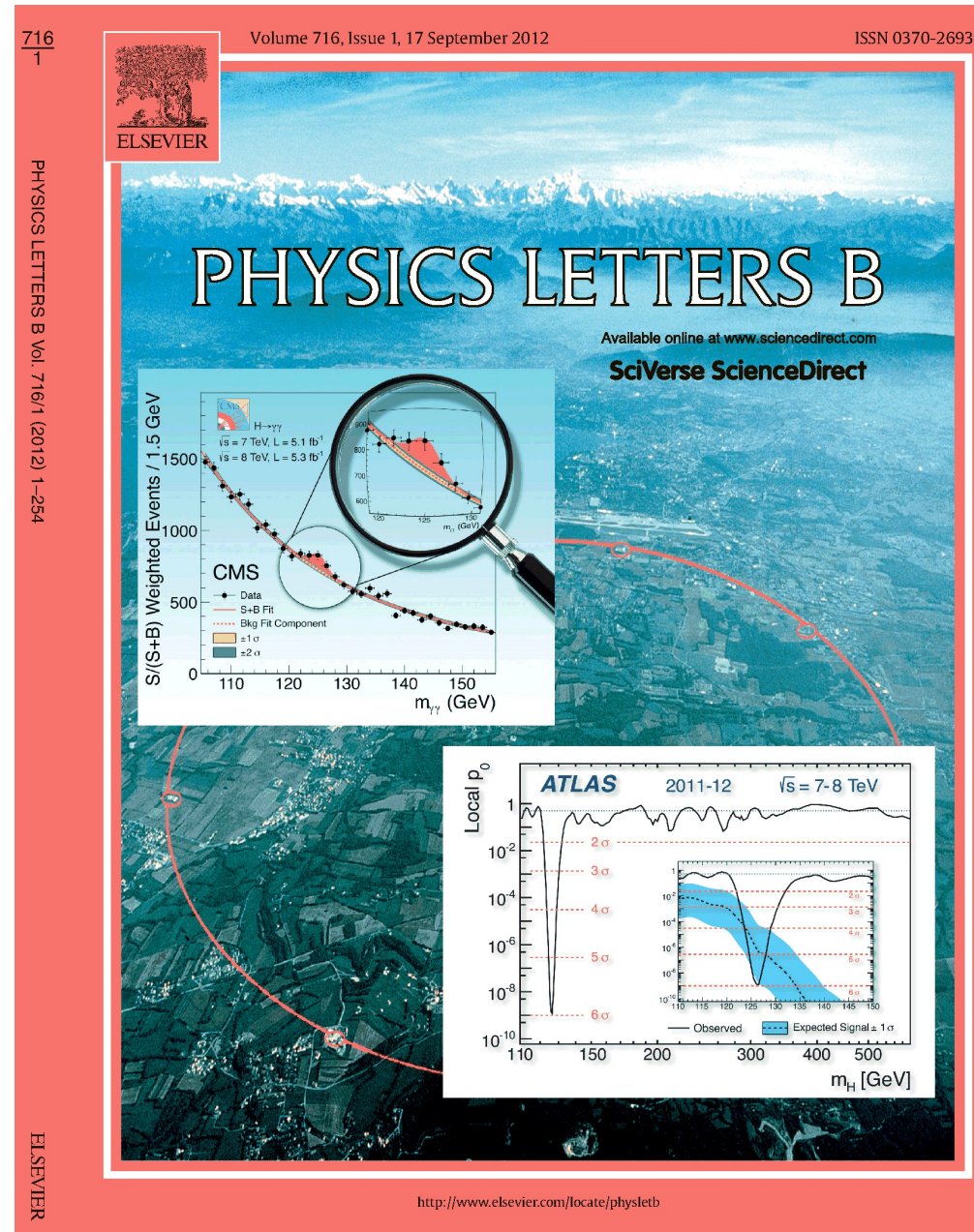
- Annoncés le 4 juillet 2012 lors d'un séminaire au CERN

- ▶ 55 médias sur place
- ▶ 500 000 connexions webcast
- ▶ Vu sur >1000 chaînes de télévision
- ▶ Plus d'un million de tweets (gazouillis)



# Résultats

- Annoncés le 4 juillet 2012 lors d'un séminaire au CERN
  - ▶ 55 médias sur place
  - ▶ 500 000 connexions webcast
  - ▶ Vu sur >1000 chaînes de télévision
  - ▶ Plus d'un million de tweets (gazouillis)
- Publiés fin juillet
- Et depuis ?



# Est-ce le Higgs du modèle standard ?

- Masse compatible avec les autres mesures du modèle standard,  **$\sim 126 \text{ GeV}$**  (134 fois la masse du proton)
- Maintenant quatre fois plus de données collectées (premiers résultats présentés au mois de mars 2013)
- La signification statistique continue d'augmenter
- Mesures dans d'autres canaux de désintégration
- Mesure de propriétés comme le spin
- Nouveaux résultats d'ATLAS et CMS toujours consistants
- Pas de signe d'autres phénomènes au-delà du modèle standard (Higgs composite, autres bosons de Higgs, autres particules, etc.)

# Évolution dans le temps



film

$$H \rightarrow \gamma\gamma$$



film

$$H \rightarrow ZZ^* \rightarrow 4l$$

# Est-ce le Higgs du modèle standard ?

- Masse compatible avec les autres mesures du modèle standard,  **$\sim 126 \text{ GeV}$**  (134 fois la masse du proton)
- Maintenant quatre fois plus de données collectées (premiers résultats présentés au mois de mars 2013)
- La signification statistique continue d'augmenter
- Mesures dans d'autres canaux de désintégration
- Mesure de propriétés comme le spin
- Nouveaux résultats d'ATLAS et CMS toujours consistants
- Pas de signe d'autres phénomènes au-delà du modèle standard (Higgs composite, autres bosons de Higgs, autres particules, etc.)



# Est-ce le Higgs du modèle standard ?

- Masse compatible avec les autres mesures du modèle standard,  $\sim 126 \text{ GeV}$  (134 fois la masse du proton)
- Maintenant quatre fois plus de données collectées (premiers résultats présentés au mois de mars 2013)
- La signification statistique continue d'augmenter
- Mesures dans d'autres canaux de désintégration
- Mesure de propriétés comme le spin
- Nouveaux résultats d'ATLAS et CMS toujours consistants
- Pas de signe d'autres phénomènes au-delà du modèle standard (Higgs composite, autres bosons de Higgs, autres particules, etc.)

**Pour le moment, cette particule ressemble beaucoup au boson de Higgs du modèle standard.**

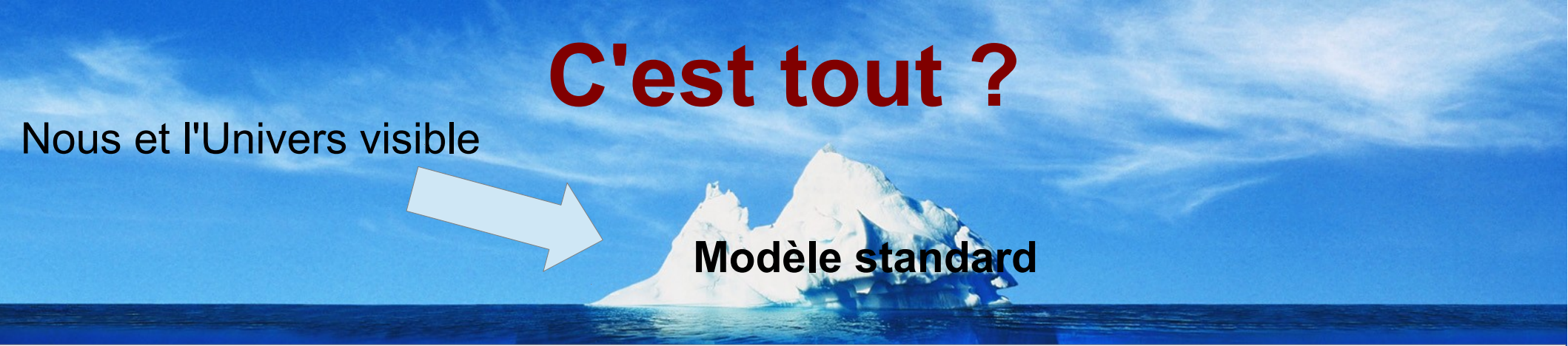
**Les nouvelles données à partir de 2015 devraient permettre de tout mesurer avec une bien meilleure précision, modèle standard ou au-delà**

# C'est tout ?

Nous et l'Univers visible

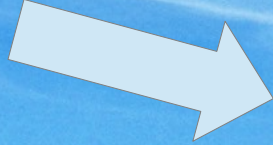


**Modèle standard**

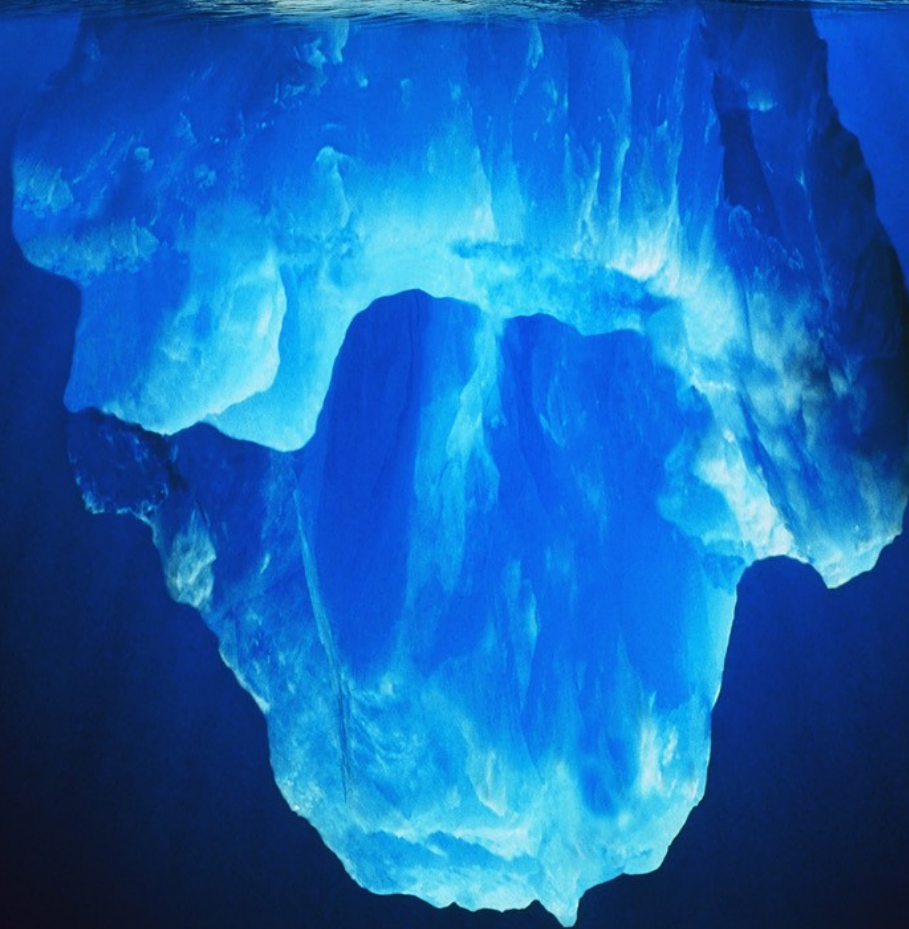


# C'est tout ?

Nous et l'Univers visible



**5% Modèle standard**



# C'est tout ?

Nous et l'Univers visible

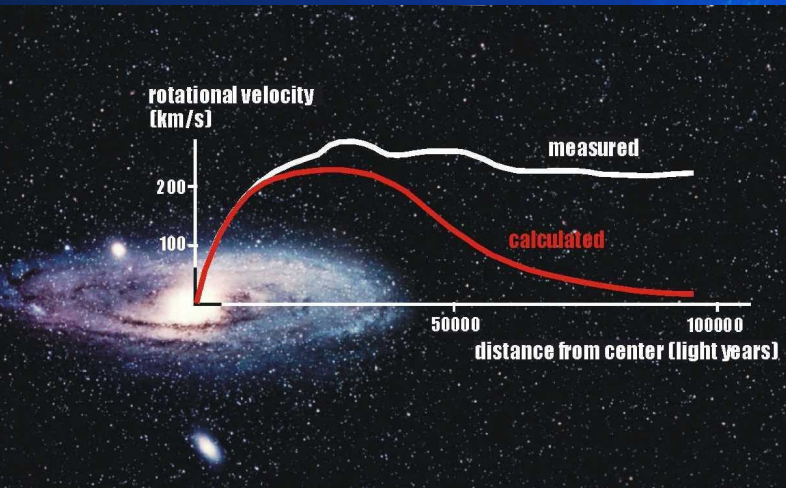


5% Modèle standard

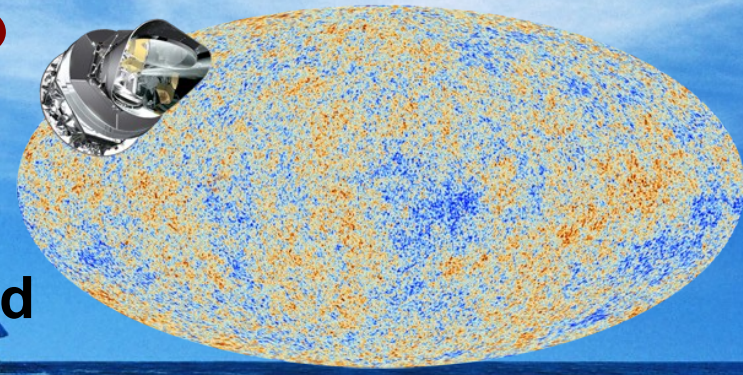
27% Matière noire



- On ne sait pas ce que c'est mais on croit savoir que c'est là
- Candidats observables au LHC (supersymétrie, ...) ?



# C'est tout ?



Nous et l'Univers visible

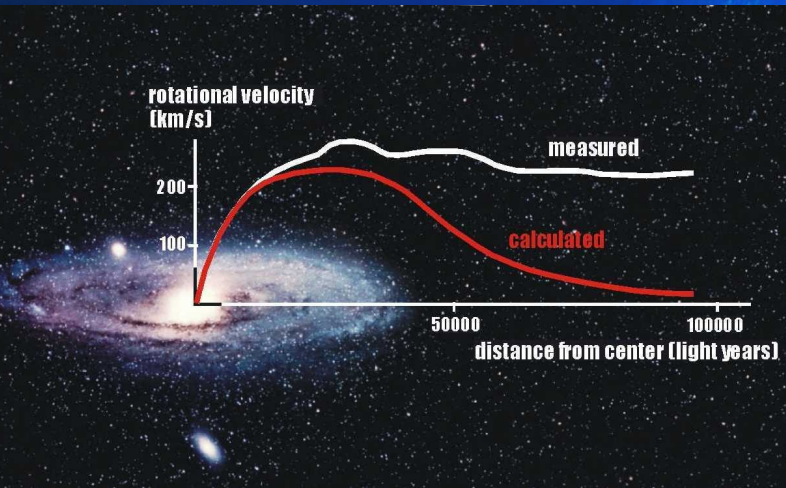


5% Modèle standard

27% Matière noire



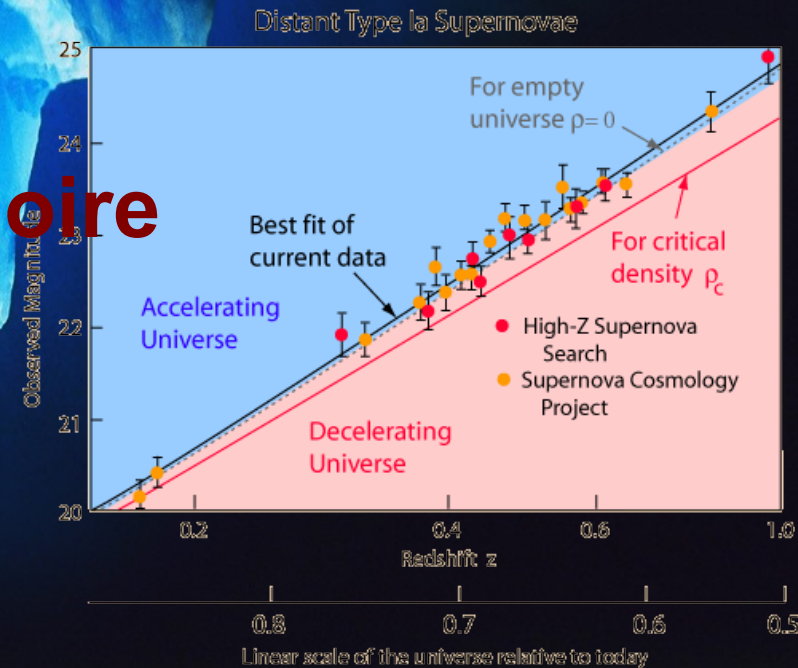
- On ne sait pas ce que c'est mais on croit savoir que c'est là
- Candidats observables au LHC (supersymétrie, ... ) ?



68% Énergie noire



Pas la moindre idée de son origine !



# Lien entre l'infiniment grand et l'infiniment petit

A Cosmic Microwave Background (CMB) fluctuation map showing temperature variations across the sky. The map is overlaid with a complex network of lines representing particle tracks or paths. A prominent red line curves across the upper left, while a dense web of orange and yellow lines radiates from a central point. The background is a dark blue field of stars and galaxies, with a grid of white squares visible in the corners.

Lien entre le boson de Higgs et l'inflation de l'Univers ?

# Lien entre l'infiniment grand et l'infiniment petit



Au LHC :

- Recherche de candidats pour expliquer la matière noire
- Asymétrie matière-antimatière
- Des surprises ? On l'espère !

# Liens

ATLAS grand public



[atlas.ch](http://atlas.ch)

ATLAS en direct

[atlas-live.cern.ch](http://atlas-live.cern.ch)

ATLAS sur 

[twitter.com/ATLASexperiment](https://twitter.com/ATLASexperiment)

ATLAS sur 

[www.facebook.com/ATLASexperiment](https://www.facebook.com/ATLASexperiment)

ATLAS sur 

[www.google.com/+ATLASexperiment](https://www.google.com/+ATLASexperiment)

ATLAS sur 

[www.youtube.com/theATLASExperiment](https://www.youtube.com/theATLASExperiment)

Site français du 

[www.lhc-france.fr](http://www.lhc-france.fr)

Le CPPM 

[marwww.in2p3.fr](http://marwww.in2p3.fr)

Le CERN 

[cern.ch](http://cern.ch)

Le CERN sur 

[twitter.com/cern](https://twitter.com/cern)